



อินเวอร์เตอร์ควบคุมความเร็วแบบคงที่ของ  
มอเตอร์เหนี่ยววนักระถลับแบบอุณหภูมิ  
**INVERTER FOR CONSTANT-SPEED CONTROL OF  
AC INDUCTION MOTORS VARYING WITH TEMPERATURE**



นายโสภณ แท้วพีชร รหัส 49362352  
นายอมร ปิตตะฝ่าย รหัส 49362420

ห้องสมุดคณะวิศวกรรมศาสตร์	วันที่รับ.....	ก ๙ ม.ค. ๒๕๕๕
เลขทะเบียน.....	15740344	
เลขเรียกหนังสือ.....	2/5	
หมายเหตุ (ถ้ามี)		ก ๗๗๙ ผ 2552

ปริญญาในพนธ์นี้เป็นส่วนหนึ่งของการศึกษาหลักสูตรปริญญาวิศวกรรมศาสตรบัณฑิต  
สาขาวิชาบริหารไฟฟ้า ภาควิชาบริหารไฟฟ้าและคอมพิวเตอร์  
คณะวิศวกรรมศาสตร์ มหาวิทยาลัยนเรศวร  
ปีการศึกษา 2552



## ใบรับรองปริญญาบัณฑ์

ชื่อหัวข้อโครงการ	อินเวอร์เตอร์ควบคุมความเร็วแบบคงที่ของมอเตอร์เห็นได้ชัดและเสียง แปรตามอุณหภูมิ	
ผู้ดำเนินโครงการ	นายไสว พลavecชร	รหัส 49362352
ที่ปรึกษาโครงการ	ผู้ช่วยศาสตราจารย์ ดร. ยงยุทธ ชนบดีเฉลิมรุ่ง	
สาขาวิชา	วิศวกรรมไฟฟ้า	
ภาควิชา	วิศวกรรมไฟฟ้าและคอมพิวเตอร์	
ปีการศึกษา	2552	

คณะกรรมการค่าสตร์ มหาวิทยาลัยนเรศวร อนุมัติให้ปริญญานิพนธ์ฉบับนี้เป็นส่วนหนึ่ง  
ของการศึกษาตามหลักสูตรวิศวกรรมค่าสตรบัณฑิต สาขาวิชาวิศวกรรมไฟฟ้า

.....ที่ปรึกษาโครงการ

(ผู้ช่วยศาสตราจารย์ ดร. ยงยุทธ ชนบดีเฉลิมรุ่ง)

.....กรรมการ

(คร. อัครพันธ์ วงศ์กังແນ)

.....กรรมการ

(คร. พรพิชัย วรจิรันตน์)

ชื่อหัวข้อโครงการ	อินเวอร์เตอร์ควบคุมความเร็วแบบคงที่ของมอเตอร์เหนี่ยววนั่กระระยะสั้น แปร์ตามอุณหภูมิ		
ผู้ดำเนินโครงการ	นายโภกณ แท้วิเชียร	รหัส	49362352
	นายอมร ปิตตะฝ่าย	รหัส	49362420
ที่ปรึกษาโครงการ	ผู้ช่วยศาสตราจารย์ ดร. ชงยุทธ ชนบดีเฉลิมรุ่ง		
สาขาวิชา	วิศวกรรมไฟฟ้า		
ภาควิชา	วิศวกรรมไฟฟ้าและคอมพิวเตอร์		
ปีการศึกษา	2552		

---

### บทคัดย่อ

ปริญญา呢นนี้เป็นการสร้างชุดอินเวอร์เตอร์ควบคุมความเร็วแบบคงที่ของมอเตอร์แบบ  
เหนี่ยววนั่น 3 เฟสที่สามารถเปลี่ยนแปลงความเร็วตามอุณหภูมิ สามารถขับมอเตอร์เหนี่ยววนั่น 3 เฟส  
ที่มีขนาดไม่เกิน 3 กิโลวัตต์โดยใช้อุปกรณ์ไอจีบีที่เป็นตัวสวิตช์ในภาคกำลังของอินเวอร์เตอร์  
หลักการควบคุมสวิตช์ เป็นแบบ PWM แบบไขน์ ซึ่งใช้ไอซี MC3PHAC เป็นตัวสร้างสัญญาณ  
PWM และใช้ TLP250 เป็นตัวขับนำเกต ของไอจีบีที่ ผลการทดสอบอินเวอร์เตอร์ สามารถปรับ  
ความเร็วรอบ 589 rpm - 1500 rpm ที่อุณหภูมิ 20-50 °C

<b>Project title</b>	Inverter for Constant-speed Control of AC Induction Motors Varying with Temperature		
<b>Name</b>	Mr. Sopon Haewpech	ID. 49362352	
	Mr. Amon Pittafai	ID. 49362420	
<b>Project advisor</b>	Asst. Prof. Dr. Yongyut Chonbodeechalermroong		
<b>Major</b>	Electrical Engineering		
<b>Department</b>	Electrical and Computer Engineering		
<b>Academic year</b>	2009		

---

### Abstract

This dissertation is to create an inverter for constant-speed control of 3-phase AC induction motors varying with temperature. It can drive a 3-phase AC induction motor with the size of less than 3 kW by means of IGBT devices as power switching. The principle of switching control is sinusoidal pulse width modulation (PWM) by the use of MC3PHAC together with TLP250 for driving IGBT gates. The result of the experiment shows that the inverter can vary speed of 589 – 1500 rpm when the temperature varies between 20 and 50 °C.

## กิตติกรรมประกาศ

โครงการสร้างอินเวอร์เตอร์ความคุณมอเตอร์หนึ่งชั่วโมงสำหรับลับน้ำในกระถางต้นไม้ ได้ดำเนินการสำเร็จลุล่วงไปได้ด้วยความช่วยเหลือของ ผู้ช่วยศาสตราจารย์ ดร. ยงบุตร ชนบต์เพลินรุ่ง อาจารย์ที่ปรึกษาโครงการ ใน การให้ความรู้ คำปรึกษาและข้อแนะนำเกี่ยวกับการขันหาข้อมูล และแนวทางการวิเคราะห์ต่างๆ ตลอดจนระยะเวลาให้คำแนะนำทั้งภาคทฤษฎีและภาคปฏิบัติ ผู้จัดทำรู้สักขาดชื่นในความ อนุเคราะห์ที่ดีเยี่ยม และขอกราบขอบพระคุณอย่างสูง

ดร. อัครพันธ์ วงศ์กังແນ ดร. พฤพิศุทธิ์ วรจิรันตน์ ที่กรุณาสละเวลา เป็นอาจารย์สอน โครงการ ครุช่างมนต์ พิกเอม ครุช่างกุญดา สมจิตชอบ ครุช่างสุภัทร มัทย์พงษ์ถาวร ที่ คอยเอื้อเฟื้อสถานที่และอุปกรณ์ในการทำโครงการ อีกทั้งยังเคยให้คำแนะนำการใช้อุปกรณ์และ เครื่องมือวัสดุอย่างถูกต้องอีกด้วย

ขอขอบคุณภาควิชาศึกษาฯ ไฟฟ้าและคอมพิวเตอร์ คณะวิศวกรรมศาสตร์ มหาวิทยาลัย นเรศวร ที่ประทิษฐิ์ประสานทางความรู้ และอบรมสั่งสอนให้ผู้จัดทำเป็นคนดีของสังคม

คุณค่า และประโยชน์อันพิเศษจากโครงการนี้ ทางผู้จัดทำขอขอบคุณอย่างมากและขอเชิญชวนทุกท่าน ให้ ณ โอกาสสานติ์

นาย索กณ

แห้วเพชร

นายอมร

ปิตะฝ่าย

## สารบัญ

	หน้า
ใบรับรองปริญญาบัตร.....	ก
บทคัดย่อภาษาไทย.....	ข
บทคัดย่อภาษาอังกฤษ.....	ค
กิตติกรรมประกาศ.....	ง
<b>สารบัญ.....</b>	<b>ง</b>
<b>สารบัญตาราง.....</b>	<b>ช</b>
<b>สารบัญรูป.....</b>	<b>ช</b>
<b>บทที่ 1 บทนำ.....</b>	<b>1</b>
1.1 ความเป็นมาและความสำคัญของโครงการ.....	1
1.2 วัตถุประสงค์ของโครงการ.....	1
1.3 สมมติฐานของการศึกษา.....	1
1.4 ขอบเขตการทำการวิจัย.....	1
1.5 ขั้นตอนการดำเนินงาน.....	2
1.6 รายละเอียดงบประมาณตลอดโครงการ.....	3
<b>บทที่ 2 หลักการและทฤษฎี.....</b>	<b>4</b>
2.1 ส่วนประกอบของมอเตอร์เหนี่ยวนำ (Induction motor).....	5
2.2 การควบคุมอินเวอร์เตอร์แบบ PWM (Pulse Width Modulate).....	7
2.3 วงจรอินเวอร์เตอร์ (Inverter).....	10
2.4 อินเวอร์เตอร์และการควบคุม.....	13
<b>บทที่ 3 วิธีดำเนินโครงการ.....</b>	<b>16</b>
3.1 การออกแบบวงจรภาคขั้นสวิตซ์ IGBT.....	17

## สารบัญ(ต่อ)

	หน้า
3.2 วงจรกำลัง.....	19
3.3 การออกแบบสร้างสัญญาณควบคุม SVM PWM.....	19
3.4 การออกแบบ MC3PHAC.....	19
3.5 วงจรการทำงาน.....	21
3.6 คำนวณค่าอุปกรณ์.....	22
 <b>บทที่ 4 ผลการทดลองและวิเคราะห์.....</b>	 26
4.1 จุดประสงค์การทดลอง.....	26
4.2 ขั้นตอนการทดลอง.....	26
4.3 ผลการทดลอง.....	50
 <b>บทที่ 5 บทสรุป.....</b>	 63
5.1 สรุปผลการทดลอง.....	63
5.2 ประเมินผล.....	64
5.2 แนวทางสำหรับการพัฒนา.....	64
 <b>เอกสารอ้างอิง.....</b>	 65
<b>ภาคผนวก.....</b>	66
<b>ประวัติผู้ดำเนินโครงการ.....</b>	102

## สารบัญตาราง

ตารางที่	หน้า
3.1 คุณลักษณะของกระแส.....	21
3.2 กำหนดความถี่ PWM.....	22
3.3 การเลือกค่าความต้านทาน VBOOT.....	23
3.4 ค่าความต้านทานเพื่อเลือกช่วง DATE TIME.....	24
3.5 การเลือกความต้านทาน Fault retry time.....	24
4.1 อุปกรณ์ที่ใช้ในวงจร Power.....	28
4.2 อุปกรณ์ที่ใช้ในวงจรไฟเลี้ยง วงจร Opto-Couple.....	30
4.3 อุปกรณ์ที่ใช้ในวงจรไฟเลี้ยง วงจร Sensor และวงจร Control.....	33
4.4 อุปกรณ์ที่ใช้ในวงจร Opto-Couple.....	37
4.5 อุปกรณ์ที่ใช้ในวงจร IGBT.....	38
4.6 อุปกรณ์ที่ใช้ในวงจรไฟเลี้ยง วงจร Sensor.....	43
4.7 อุปกรณ์ที่ใช้ในวงจรไฟเลี้ยง วงจร Control.....	49
4.8 แสดงค่าที่วัดได้จากมอเตอร์เหนี่ยวนำ 3 เฟสขณะต่ออินเวอร์เตอร์ ที่ No Load.....	59
4.9 แสดงค่าที่วัดได้จากมอเตอร์เหนี่ยวนำ 3 เฟสขณะต่อต่ออินเวอร์เตอร์ ที่ Load 20%, Tq 0.5 NM.....	59
4.10 แสดงค่าที่วัดได้จากมอเตอร์เหนี่ยวนำ 3 เฟสขณะต่อต่ออินเวอร์เตอร์ ที่ Load 40%, Tq 1 NM.....	60
4.11 ไม่ต่ออินเวอร์เตอร์ Tq 0.5 NM, Tq 1 NM.....	60

# สารบัญรูป

รูปที่	หน้า
2.1 แสดงส่วนประกอบของเตอร์เหนี่ยวนำ.....	4
2.2 โครงสร้างของเตอร์เหนี่ยวนำ.....	5
2.3 แสดงการจ่ายแรงดันไฟฟ้า 3 เฟสให้กับมอเตอร์เหนี่ยวนำ 3 เฟส.....	6
2.4 แสดงรูปคลื่นไอน์ของสนามแม่เหล็กที่เกิดขึ้นโดยกระแสไฟฟ้า 3 เฟส.....	6
2.5 แสดงการเกิดสนามแม่เหล็กหมุนของเตอร์ 3 เฟส 2 ชั้ว.....	7
2.6 วงจรอินเวอร์เตอร์.....	7
2.7 รูปคลื่น $V = V_0(\text{ถ้า } T \ll L/R \ll 2\pi/\omega_a)$ .....	8
2.8 การต่อวงจรตอนระดับ 2 วงจร เพื่อกำหนดองค์ประกอบไฟฟาร์จ.....	8
2.9 วงจรอินเวอร์เตอร์ 3 เฟส.....	8
2.10 ไอน์ตัดสามเหลี่ยม.....	9
2.11 รูปคลื่นสัญญาณของอินเวอร์เตอร์ 3 เฟสแบบ PWM.....	9
2.12 สเปกตรัม.....	9
2.13 หลักการเบื้องต้นของอินเวอร์เตอร์.....	10
2.14 วงจรอินเวอร์เตอร์แบบรูปคลื่นสี่เหลี่ยม (Square wave inverter).....	10
2.15 สัญญาณรูปคลื่นสี่เหลี่ยม (Square wave inverter).....	11
2.16 วงจรแบบมอคุเลตความกว้างพัลส์ (Pulse-width modulation inverter).....	11
2.17 หลักการ PWMเบื้องต้น.....	12
2.18 สัญญาณที่ปรับเปลี่ยนได้.....	13
2.19 แสดงลักษณะของอินเวอร์เตอร์ 3 เฟส.....	14
2.20 แสดงลักษณะของสัญญาณ PWM.....	15
3.1 บล็อกไซโคะแกรมของอินเวอร์เตอร์ SVPWM.....	16
3.2 โครงสร้างของชุดขับสวิตซ์ IGBT สำหรับมอเตอร์เหนี่ยวนำ 3 เฟส.....	17
3.3 วงจรภาคขับสวิตซ์ IGBT.....	18
3.4 บล็อกไซโคะแกรมส่วนรับ-ส่งพารามิเตอร์เพื่อส่งให้ ICMC3PHAC.....	19
3.5 แสดงขาของ MC3PHAC.....	20
3.6 วงจรใช้งานปกติ.....	22
4.1 วงจร Power.....	26

## สารบัญรูป (ต่อ)

รูปที่	หน้า
4.2 ลักษณะ PCB วงจร Power .....	27
4.3 การลงอุปกรณ์บนลายวงจร PCB วงจร Power.....	27
4.4 วงจรPowerที่ลงอุปกรณ์เรียบร้อย.....	28
4.5 ผลการทดสอบวัดแรงดันวงจรPower output ได้317.6Vdc.....	28
4.6 วงจรไฟเลี้ยงวงจร Opto-Couple, (15 Vdc).....	29
4.7 ลายวงจร PCB วงจรไฟเลี้ยง วงจร Opto-Couple.....	29
4.8 การลงอุปกรณ์บนลายวงจร PCB วงจรไฟเลี้ยง วงจร Opto-Couple.....	30
4.9 วงจรไฟเลี้ยง วงจร Opto-Couple, (15 Vdc) ที่ลงอุปกรณ์เรียบร้อย.....	30
4.10 ผลการทดสอบ วงจรไฟเลี้ยง Opto-Couple.....	31
4.11 วงจรไฟเลี้ยง Sensor และวงจร Control.....	32
4.12 ลายวงจร PCB วงจรไฟเลี้ยง Sensor และวงจร Control.....	32
4.13 การลงอุปกรณ์บนลายวงจร PCB วงจรไฟเลี้ยง วงจร Sensor และวงจร Control.....	33
4.14 ลายวงจรไฟเลี้ยง วงจร Sensor และวงจร Control ที่ลงอุปกรณ์เรียบร้อย.....	34
4.15 ผลการทดสอบ วงจรไฟเลี้ยงวงจร Sensor และวงจร Control 11.77 V, 4.995 V ตามลำดับ.....	33
4.16 วงจร Opto-Couple เพลส U.....	35
4.17 ลายวงจร PCB วงจร Opto-Couple ทั้ง 3 เพลส.....	35
4.18 การลงอุปกรณ์บนลายวงจร PCB วงจร Opto-Couple ทั้ง 3 เพลส.....	36
4.19 วงจร Opto-Couple ที่ลงอุปกรณ์เรียบร้อยแล้ว.....	37
4.20 ลายวงจร PCB วงจร IGBT.....	38
4.21 การลงอุปกรณ์บนลายวงจร PCB ของวงจร IGBT.....	39
4.22 วงจรสวิตซ์IGBTที่ลงอุปกรณ์เรียบร้อยแล้ว.....	40
4.23 วงจร Sensor.....	41
4.24 ลายวงจร PCB วงจร Sensor.....	42
4.25 การลงอุปกรณ์บนลายวงจร PCB ของวงจร Sensor.....	42
4.26 วงจร Sensor ที่ลงอุปกรณ์เรียบร้อย.....	44
4.27 วงจร Control .....	45
4.28 ลายวงจร PCB วงจร Control .....	47

## สารบัญรูป (ต่อ)

รูปที่	หน้า
4.29 วงจร Control ที่ลงอุปกรณ์เรียบร้อยแล้ว.....	50
4.30 รูปสัญญาณ PWM ที่ U_TOP และ U_BOT.....	50
4.31 แสดงความถี่การสวิตช์สัญญาณ PWM ที่ U_TOP และ U_BOT.....	51
4.32 รูปสัญญาณ PWM ที่ U_TOP และ U_BOT ค่า Dead Time กำหนดที่ 5.2 $\mu$ s.....	51
4.33 รูปสัญญาณ PWM ที่ V_TOP และ V_BOT.....	52
4.34 แสดงความถี่การสวิตช์สัญญาณ PWM ที่ V_TOP และ V_BOT.....	52
4.35 รูปสัญญาณ PWM ที่ V_TOP และ V_BOT ค่า Dead Time กำหนดที่ 5.2 $\mu$ s.....	53
4.36 รูปสัญญาณ PWM ที่ W_TOP และ W_BOT.....	53
4.37 แสดงความถี่การสวิตช์สัญญาณ PWM ที่ W_TOP และ W_BOT.....	54
4.38 รูปสัญญาณ PWM ที่ W_TOP และ W_BOT ค่า Dead Time กำหนดที่ 5.2 $\mu$ s.....	54
4.39 เปรียบเทียบรูปสัญญาณ PWM ที่ U_TOP และ V_BOT.....	55
4.40 เปรียบเทียบรูปสัญญาณ PWM ที่ U_TOP และ W_BOT.....	55
4.41 เปรียบเทียบรูปสัญญาณ PWM ที่ V_TOP และ W_BOT.....	56
4.42 สัญญาณ Out put แรงดันสาบที่ไฟสี U กับไฟสี V ที่อุณหภูมิ 20°C.....	56
4.43 สัญญาณ Out put แรงดันสาบที่ไฟสี U กับไฟสี V ที่อุณหภูมิ 30°C.....	57
4.44 สัญญาณ Out put แรงดันสาบที่ไฟสี U กับไฟสี V ที่อุณหภูมิ 40°C.....	57
4.45 สัญญาณ Out put แรงดันสาบที่ไฟสี U กับไฟสี V ที่อุณหภูมิ 50°C.....	58
4.46 รูปต่อวงจรทั้งหมดเข้าด้วยกันเพื่อทำการทดลอง Drive motors และเก็บผลการทดลอง.....	58
4.47 ความสัมพันธ์ของความเร็วโรเตอร์กับอุณหภูมิ ที่ไฟสี U และไฟสี V.....	61
4.48 ความสัมพันธ์ของแรงดันกับอุณหภูมิที่ไฟสี U และไฟสี V.....	61
4.49 ความสัมพันธ์ของพลังงานที่จ่ายให้กับมอเตอร์กับอุณหภูมิที่ไฟสี U และไฟสี V.....	62

## บทที่ 1

### บทนำ

#### 1.1 ความเป็นมาและความสำคัญของโครงงาน

ในปัจจุบัน โรงงานอุตสาหกรรม สถานประกอบการ ลักษณะผลิตหรือระบบปรับอากาศ ขนาดใหญ่ โดยทั่วไปจะใช้มอเตอร์หนึ่งชิ้นเป็นส่วนขั้นเบื้องต้นของการทำงานของระบบต่างๆซึ่งทำให้สนใจที่จะศึกษาการทำงานของมอเตอร์หนึ่งชิ้น เพื่อหาแนวทางการพัฒนาการนำมอเตอร์หนึ่งชิ้นมาใช้ให้มีประสิทธิภาพและคุ้มค่ามากที่สุด

จากที่ได้กล่าวมาทำให้วิทยานิพนธ์ฉบับนี้ได้นำเสนอการศึกษา ที่เกี่ยวข้องกับการออกแบบ ชุดขั้นบันมอเตอร์เพื่อควบคุมมอเตอร์หนึ่งชิ้นสำหรับสลับ 3 เฟส ให้มีการปรับความเร็วตามอุณหภูมิที่เปลี่ยนแปลง

#### 1.2 วัตถุประสงค์ของโครงงาน

การวิจัยนี้ศึกษาการควบคุมมอเตอร์หนึ่งชิ้นสำหรับสลับ 3 เฟส โดยการอินเวอร์เตอร์ ด้วยวิธี การเปลี่ยนแปลงความถี่ของแรงดันไฟสลับที่จำเพาะกับมอเตอร์หนึ่งชิ้นสำหรับสลับ 3 เฟส

#### 1.3 สมมติฐานของการศึกษา

การปรับความเร็วมอเตอร์หนึ่งชิ้นสำหรับสลับ 3 เฟส ให้เป็นไปตามการเปลี่ยนแปลงของอุณหภูมิโดยใช้ Sensor เพื่อควบคุมค่าความถี่แรงดันไฟสลับ以便ให้มอเตอร์

#### 1.4 ขอบเขตการทำการศึกษา

1.4.1 ศึกษามอเตอร์หนึ่งชิ้นสำหรับสลับ 3 เฟส โครงสร้างของมอเตอร์หนึ่งชิ้น 3 เฟส สามารถแม่เหล็กหมุนของมอเตอร์หนึ่งชิ้น 3 เฟส ทฤษฎีสนามแม่เหล็ก

1.4.2 ศึกษาการใช้อินเวอร์เตอร์โดยการใช้อุณหภูมิเป็นตัวตรวจจับ

1.4.3 ศึกษาการออกแบบสัญญาณควบคุมการสวิตชิ้ง การออกแบบส่วนวงจรกำลัง การเชื่อมต่อระหว่างชุดรับค่าจากวงจรสร้างสัญญาณควบคุม การสวิตชิ้ง

## 1.5 ขั้นตอนการดำเนินงาน

### 1.6 รายละเอียดงบประมาณตลอดโครงการ

1. ค่าอุปกรณ์อิเล็กทรอนิกส์	7000 บาท
2. ค่ารูปเด่นรายงาน	500 บาท
3. อื่นๆ	500 บาท
รวมเป็นเงิน	8000 บาท (แปดพันบาทถ้วน)



## บทที่ 2

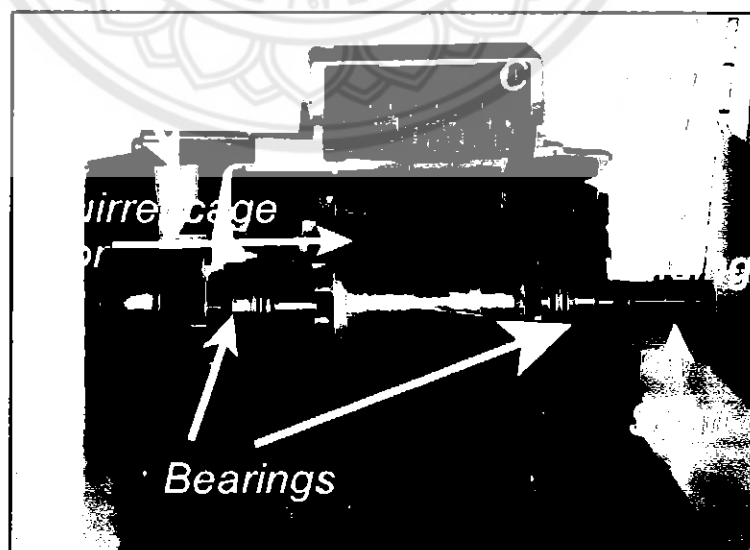
### หลักการและทฤษฎีเบื้องต้น

ขอเหอเร่เหนี่ยวนำ 3 เฟส ความเร็วอบซึ่งอยู่กับความถี่ (Frequency) ของแหล่งกำเนิดไฟฟ้ากระแสสลับ จึงมีความเร็วคงที่ แต่จะเปลี่ยนตามโหลด แรงบิดเริ่มหมุนค่าโครงสร้างไม่ซับซ้อน สะดวกในการบำรุงรักษา เพราะไม่มีคอมมิวเตอร์ ราคาถูก ขนาดตั้งแต่ 1/2 แรงม้า ถึง 400 แรงม้า ใช้กับงานโรงงานอุตสาหกรรม ขับเคลื่อนลิฟต์ สายพานลำเลียง เครื่องไส เครื่องกลึง พัดลม เป็นต้น

#### 2.1 ส่วนประกอบของมอเตอร์เหนี่ยวนำ (Induction motor)

##### 2.1.1 สเตเตอร์ (Stator)

สเตเตอร์ จะมีขดลวดอาร์เมเจอร์พันที่ขึ้นแม่เหล็ก 3 ชุด อาจต่อเคลต้า หรือแบบวายกีได้ มีหน้าที่สร้างสนามแม่เหล็กหมุน ไปเหนี่ยวนำให้กระแสไฟ流และเกิดสนามแม่เหล็กที่rotate โดยทำมาจากการผ่านแม่เหล็กบางๆ อัตโนมัติเข้าด้วยกัน และทำเป็นช่องสลอดไว้บรรจุคลัวด และจำนวนขึ้นแม่เหล็กจะเป็นตัวกำหนดความเร็วอบของมอเตอร์ เมื่อเราจับไฟฟ้ากระแสสลับให้กับคลัวดที่สเตเตอร์ จะทำให้เกิดสนามแม่เหล็กที่คงที่ค่าหนึ่ง และสนามแม่เหล็กนี้จะหมุน (Revolve or Rotate) ด้วยความเร็วที่เรียกว่าความเร็วซิงโกรนัส (หาได้โดย  $N_s = 120f/P$ )



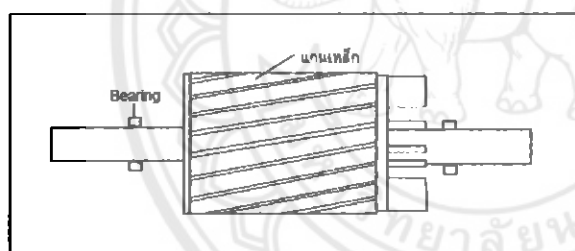
รูปที่ 2.1 แสดงส่วนประกอบมอเตอร์เหนี่ยวนำ

### 2.1.2 โรเตอร์ (Rotor)

Rotor ประกอบด้วยแผ่นเหล็กบางๆ อัดซ้อนกันเป็นรูปทรงกระบอก และถูกทำให้เป็นช่องสลotted ให้ขนานกันเพื่อสำหรับผังหรือ บรรจุตัวนำโรเตอร์ (Rotor Conductor) ลงในช่องสลotted นั้น ตัวนำที่ผังนี้จะมีลักษณะเป็นแท่งทองแดง หรืออลูมิnum หรืออัลลอย (Copper Bar or Aluminum Bar or Alloy) โดยในหนึ่งสลotted จะบรรจุแท่งทองแดง หรือ อลูมิnum เพียง 1 แท่งเท่านั้น และที่ปลายสุดของแท่งตัวนำทั้งสองด้านนั้นในแต่ละด้านจะถูกต่อปลายด้านตรงข้ามเข้าด้วยกันโดยการบัดกรี (Brazed) หรือเชื่อมด้วยไฟฟ้าซึ่ง โรเตอร์สามารถแบ่งได้เป็น 2 แบบคือ

2.1.2.1 โรเตอร์แบบกรงกระบอก (Squirrel Cage Induction Motor) จะมีแท่งเหนี่ยวนำที่หนาและฝังอยู่ในช่องที่ขนานกัน แท่งเหล่านี้จะถูกทำให้ลักษณะที่ปลายทั้งสองด้านโดยการใช้วาง เหวนลักษณะ นี้แรงบิดเริ่มสถาาร์ทต่า ความเร็วค่อนข้างคงที่

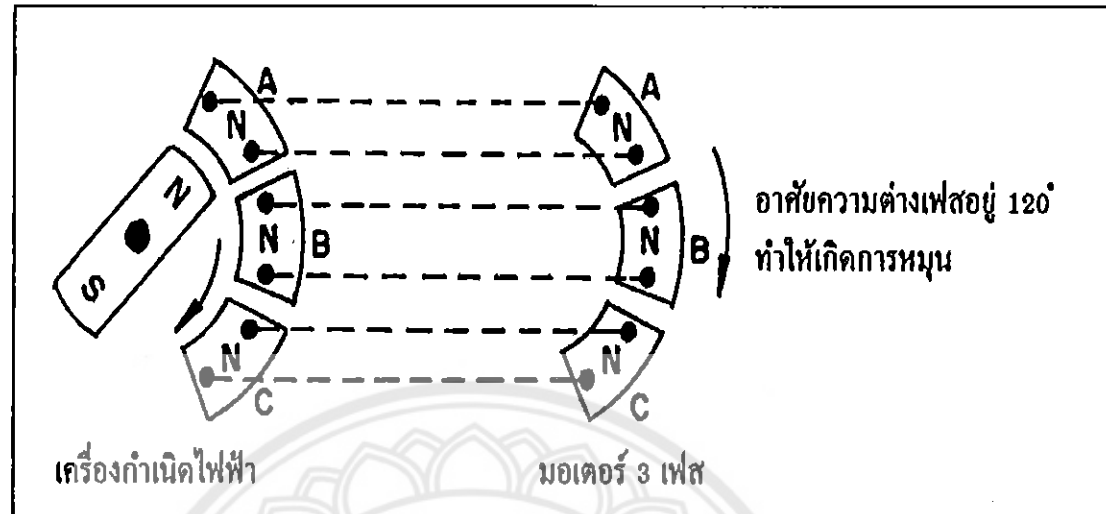
2.1.2.2 โรเตอร์แบบพันขดลวด (Wound Rotor Induction Motors) จะพันขดลวดเท่ากับขดลวดที่สเตเตอร์ ปลายขดลวดทั้ง 3 เฟสจะเชื่อมต่อผ่านวงเหวนลีน (Slip ring) ผ่านแปรรูปด้านไปขังอุปกรณ์ควบคุมภายนอก เพื่อเปลี่ยนคุณสมบัติของโรเตอร์ตามการใช้งานให้เหมาะสม



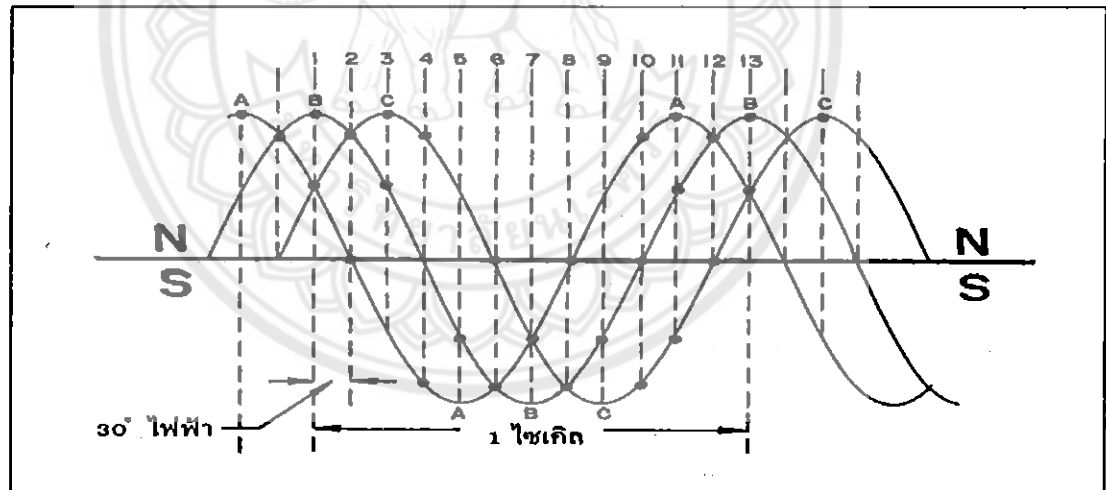
รูปที่ 2.2 โรเตอร์ร่มของโรเตอร์เหนี่ยวนำ

ถ้าจ่ายไฟฟ้ากระแสสลับ 3 เฟส ให้ขดลวดอาร์เมเนเจอร์ที่สเตเตอร์ จะเกิดสนามแม่เหล็กหมุน เมื่อฟลักก์แม่เหล็กของสนามแม่เหล็กหมุนเคลื่อนตัวด้วยตัวนำที่ฝังอยู่ในโรเตอร์ จะเกิดการเหนี่ยวนำ และเนื่องจากโรเตอร์ถูกกลั่นวงจรจึงเกิดแรงดันไฟฟ้าเหนี่ยวนำและแรงบิด เป็นผลให้โรเตอร์หมุน ไปในทิศทางเดียวกับสนามแม่เหล็กหมุน ซึ่งสนามแม่เหล็กหมุนดังกล่าวจะหมุนด้วยความเร็ว ซึ่งโครนัส  $N_s = 120f/P$  โดย  $f$  คือความถี่ของไฟฟ้า  $P$  คือจำนวนขั้วของมอเตอร์โรเตอร์หมุนไปได้ด้วยความเร็วต่ำกว่าความเร็วซึ่งโครนัส ถ้าความเร็วของโรเตอร์เท่ากับความเร็วซึ่งโครนัส ค่าแรงบิดจะเป็นศูนย์ โรเตอร์จึงหยุดหมุน การกลับทิศทางการหมุนของมอเตอร์เหนี่ยวนำทำได้ง่าย

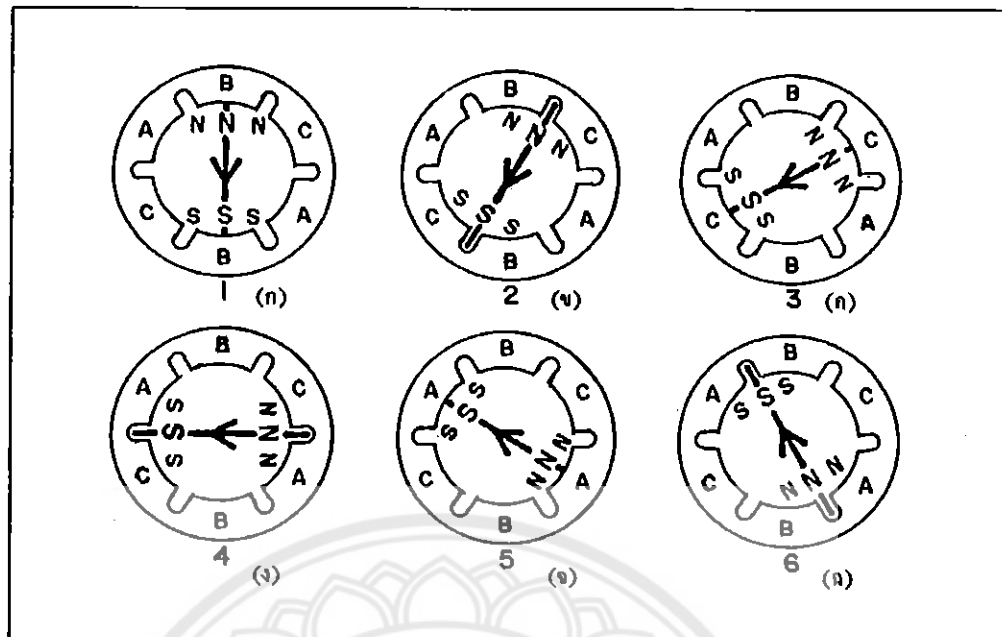
เพียงแค่สลับสายไฟคู่ใดคู่หนึ่งที่จ่ายให้ขดลวดที่สเตเตอร์เท่านั้นก็จะทำให้สามารถแม่เหล็กหมุนและโรเตอร์ หมุนกลับทิศทางได้



รูปที่ 2.3 แสดงการจ่ายแรงดันไฟฟ้า 3 เฟสให้กับมอเตอร์เหนือขวนำ 3 เฟส



รูปที่ 2.4 แสดงรูปคลื่นใช้น้ำของสนามแม่เหล็กที่เกิดขึ้นโดยกระแสไฟฟ้า 3 เฟส

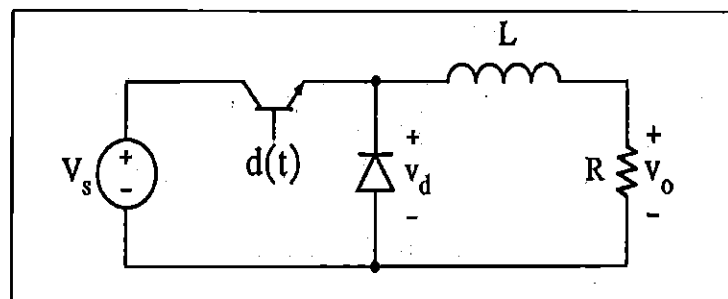


รูปที่ 2.5 แสดงการเกิดสนามแม่เหล็กหมุนของมอเตอร์ 3 เฟส 2 ขั้ว

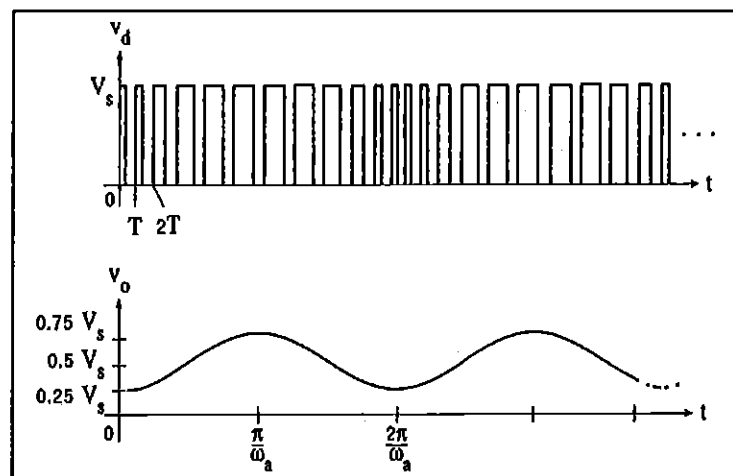
### 2.1.3 สลิป (Slip)

ความแตกต่างระหว่างความเร็วของสนามแม่เหล็กที่หมุนอยู่ที่สเตเตอร์ หรือความเร็วชิงโกรนัส ( $N_s$ ) และความเร็วรอบของโรเตอร์ขณะใช้งาน (Actual Speed,  $N$ ) ของโรเตอร์เรียกว่า สลิป  $S = ((N_s - N)/N_s)$ ,  $\% \text{Slip} = ((N_s - N)/N_s) \times 100$  แต่ในบางครั้ง  $N_s - N$  ก็เรียกว่าความเร็วสลิป (Slip Speed) ความเร็วของโรเตอร์ (มอเตอร์) คือ  $N = N_s (1 - S)$

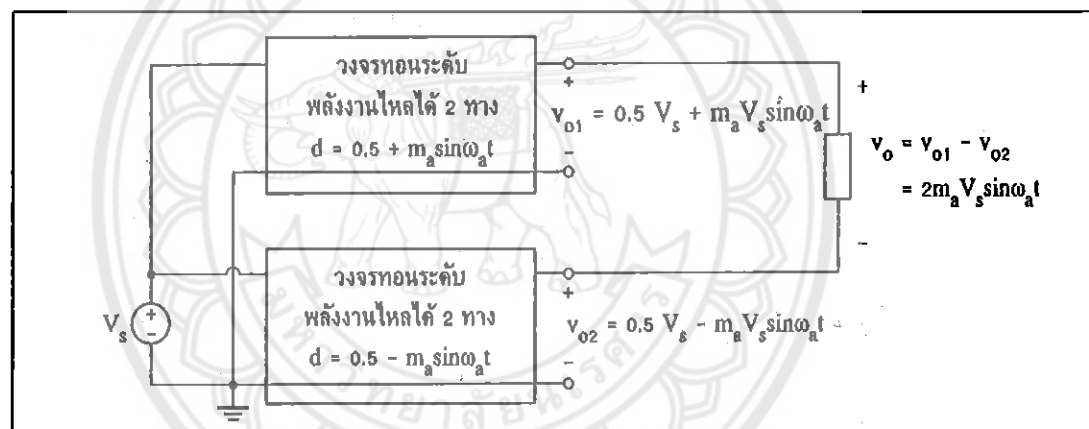
### 2.2 การควบคุมอินเวอร์เตอร์แบบ PWM (Pulse Width Modulate)



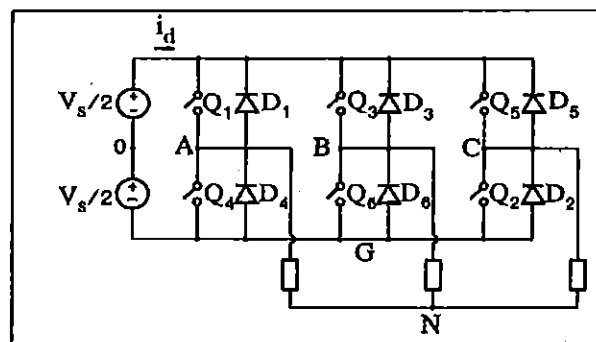
รูปที่ 2.6 วงจรอินเวอร์เตอร์



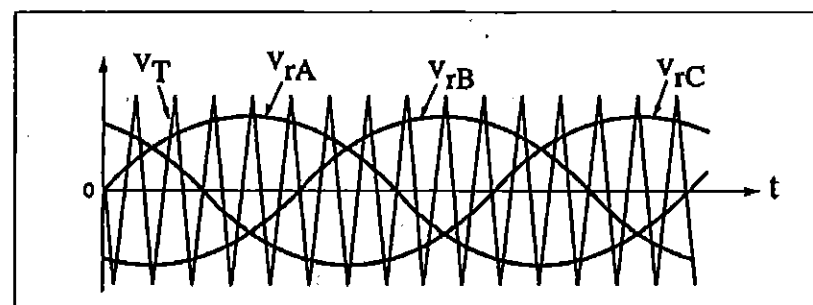
รูปที่ 2.7 รูปคลื่น:  $V = V_0$  (ต่อ  $T \ll L/R \ll 2\pi/\omega_a$ )



รูปที่ 2.8 การต่อวงจรทอนระดับ 2 วงจร เพื่อกำจัดองค์ประกอบไฟฟารง



รูปที่ 2.9 วงจรอินเวอร์เตอร์ 3 เฟส

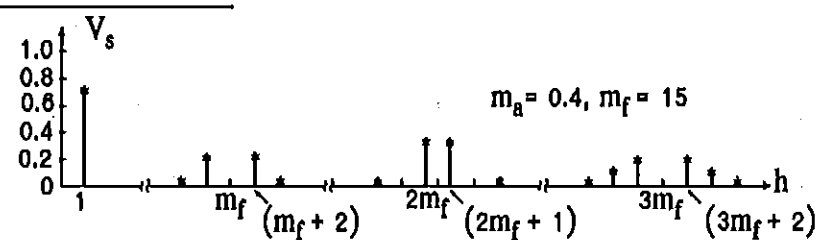


รูปที่ 2.10 ไชน์ตัดสามเหลี่ยม



รูปที่ 2.11 รูปคลื่นสัญญาณของอินเวอร์เตอร์ 3 เฟสแบบ PWM

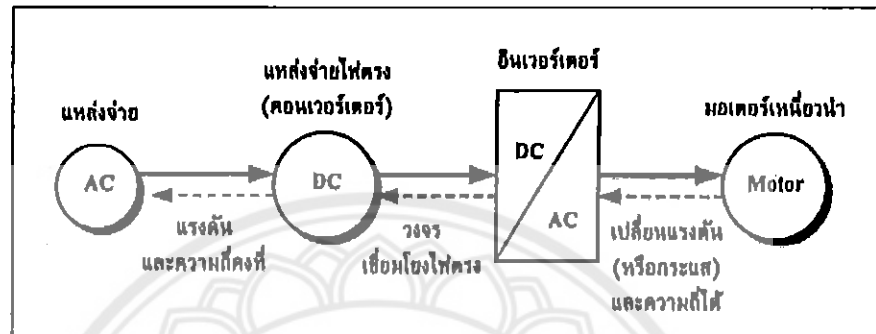
ตารางมอนิกของแรงดันสาย



รูปที่ 2.12 สเปกตรัม

### 2.3 วงจรอินเวอร์เตอร์ (Inverter)

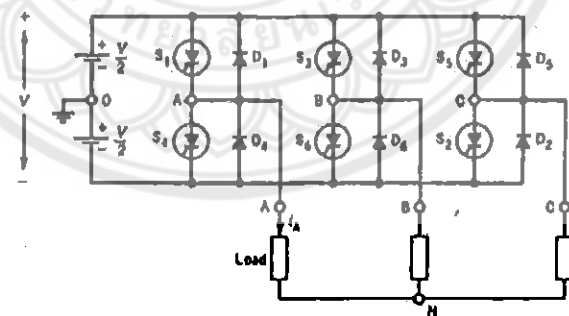
วงจรอินเวอร์เตอร์ ทำงานโดยอาศัยหลักการเบื้องต้นในการเปลี่ยนไฟกระแสสลับเป็นกระแสตรง แล้วเปลี่ยนไฟกระแสตรงให้เป็นไฟกระแสสลับ โดยปัจจุบันได้แบ่งอินเวอร์เตอร์เป็น 2 ประเภทคือ อินเวอร์เตอร์แบบแหล่งด้วยแรงดัน (Voltage source inverter) และ อินเวอร์เตอร์แบบแหล่งด้วยกระแส (Current source inverter)



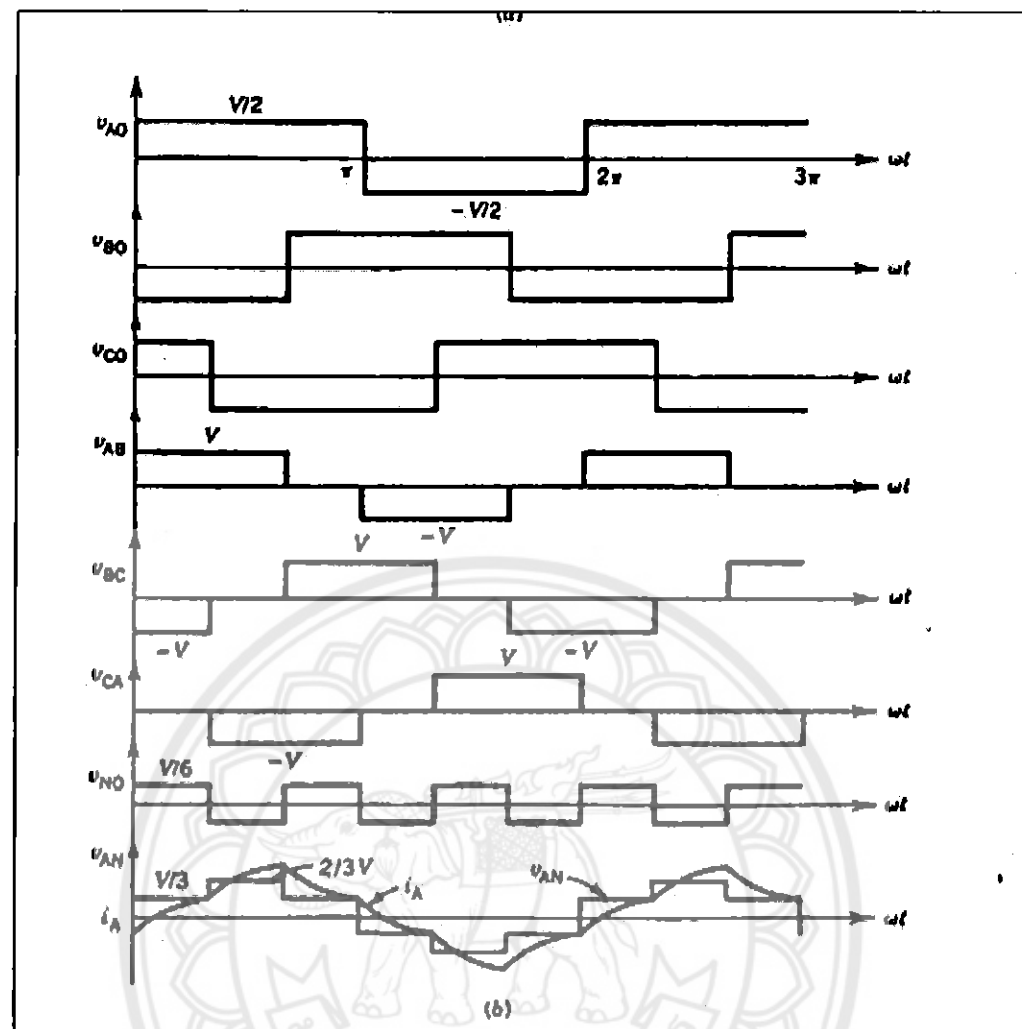
รูปที่ 2.13 หลักการเบื้องต้นของอินเวอร์เตอร์

#### 2.3.1 อินเวอร์เตอร์แบบแหล่งด้วยแรงดัน (Voltage source inverter) แบ่งเป็น 2 ชนิดคือ

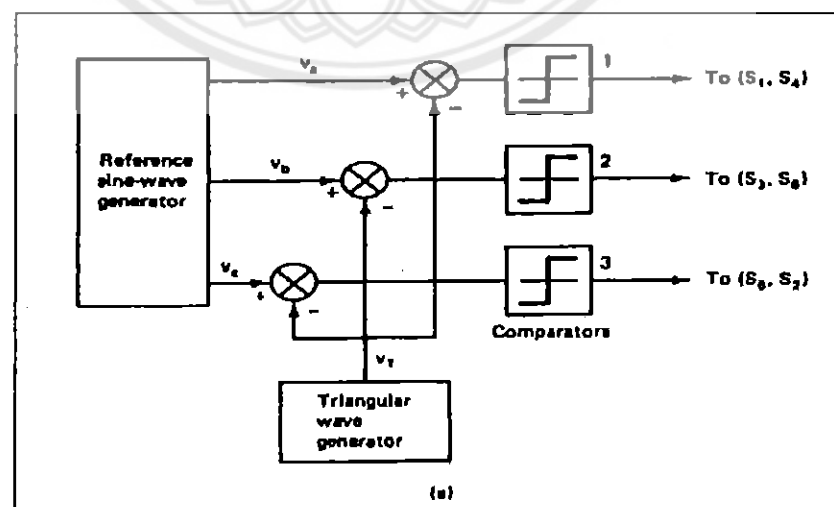
1. แบบรูปคลื่นสี่เหลี่ยม (Square wave inverter)
2. แบบมอคูลเดตความกว้างพัลส์ (Pulse-width modulation inverter)



รูปที่ 2.14 วงจรอินเวอร์เตอร์ แบบรูปคลื่นสี่เหลี่ยม (Square wave inverter)

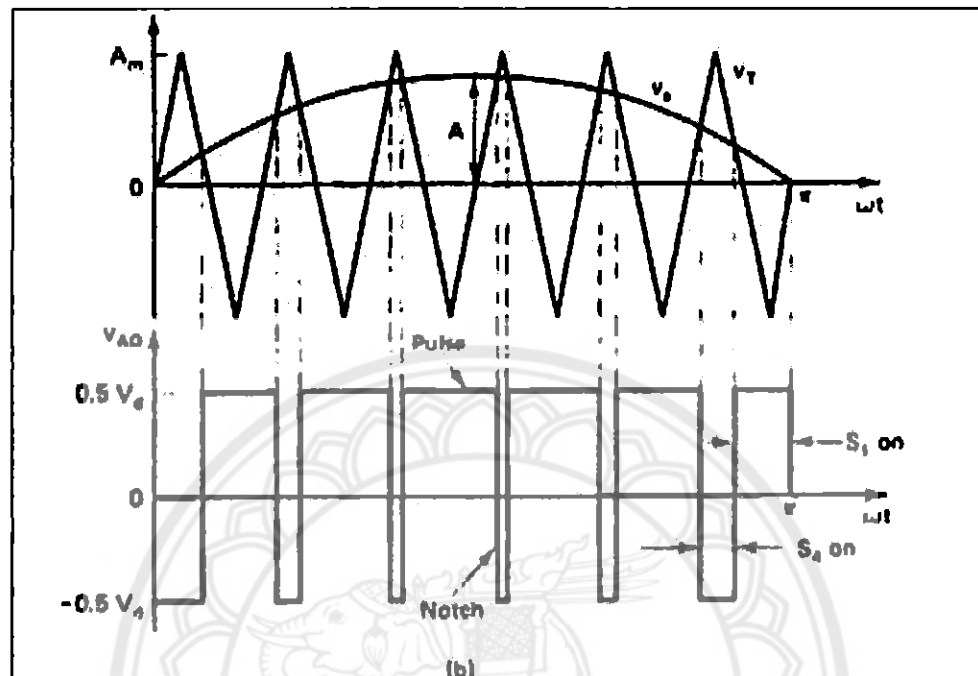


รูปที่ 2.15 สัญญาณแบบรูปคลื่นสี่เหลี่ยม (Square wave inverter)



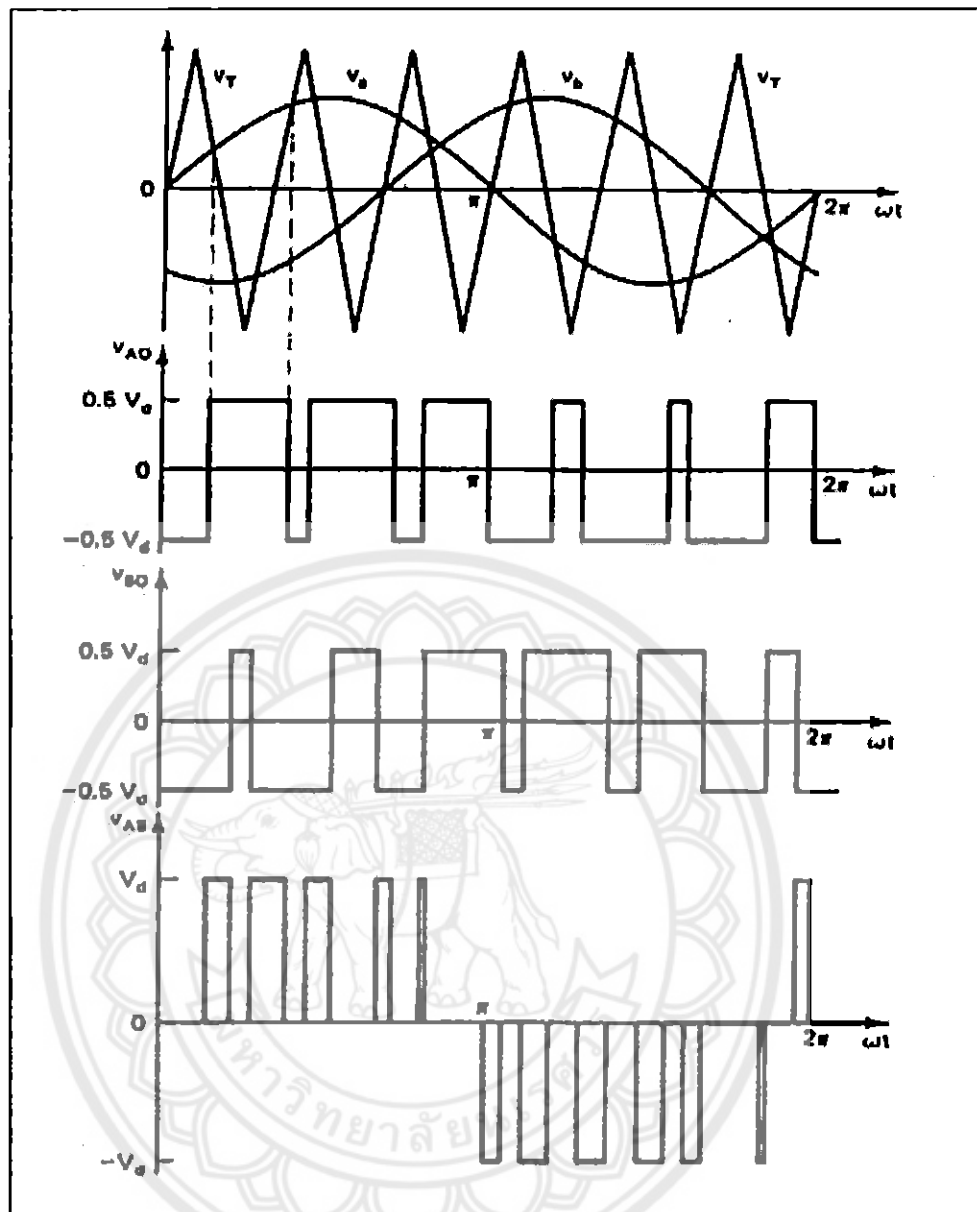
รูปที่ 2.16 วงจรแบบมอคุเดตความกว้างพัลซ์ (Pulse-width modulation inverter)

จากรูปที่ 2.15 เป็นอินเวอร์เตอร์แบบ PWM โดยการเปรียบเทียบกับสัญญาณอ้างอิง โดยเป็นคลื่นไอน์กับสัญญาณสามเหลี่ยม และผลที่ได้จะเป็นดังรูปที่ 2.18



รูปที่ 2.17 หลักการ PWM เบื้องต้น

สัญญาณที่เปรียบเทียบจะนำไปควบคุมคุณสมบัติ ซึ่งเป็นอุปกรณ์อิเล็กทรอนิกส์ เช่นทรานซิสเตอร์, เอสซีจี, มอเตอร์, ไอจีบีที เป็นต้น เป็นส่วนของวงจรขับ ให้ดู เมื่อมีการเปลี่ยนความถี่ ของสัญญาณอ้างอิงและสัญญาณเปรียบเทียบ สัญญาณที่ได้จะมีความถี่เปลี่ยนไปดังรูปที่ 2.18



รูปที่ 2.18 สัญญาณที่เปรียบเทียบได้

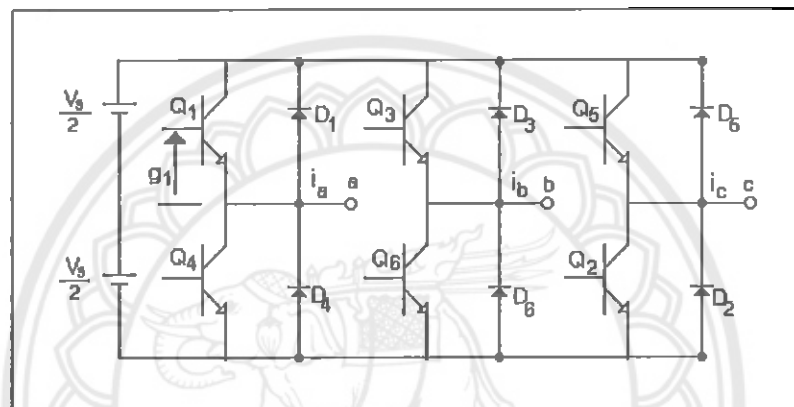
#### 2.4 อินเวอร์เตอร์และการควบคุม

อินเวอร์เตอร์เป็นอุปกรณ์ทำหน้าที่เปลี่ยนไฟฟ้ากระแสตรง DC เป็นไฟฟ้ากระแสสลับ AC ที่สามารถปรับเปลี่ยนขนาดแรงดัน และความถี่ทางไฟฟ้าได้ตามที่ต้องการ รูปคลื่นเอาต์พุตของอินเวอร์เตอร์ส่วนมากจะประกอบด้วยชาร์โนนิกส์ จึงไม่เป็นรูปคลื่นไอน์ที่สมบูรณ์ สำหรับการลดชาร์โนนิกส์หรือทำให้มีค่าต่ำที่สุดสามารถทำได้โดยใช้เทคนิคการสวิตซ์และวงจรฟิลเตอร์ที่เหมาะสม

การใช้ทรานซิสสเตอร์กำลัง ทำหน้าที่เป็นสวิตช์ของอินเวอร์เตอร์จะควบคุมการทำงานของ อินเวอร์เตอร์ได้ง่ายเพียงสามารถ เปิด – ปิด ทรานซิสสเตอร์โดยการหุบค่ากระแสที่ขึ้นบนสเท่านั้น ไม่จำเป็นต้องมีวงจรในการหุบกระแสเหมือนกับเอกสารี้

#### 2.4.1 การควบคุมความเร็วของมอเตอร์ไฟฟ้ากระแสสลับ

การควบคุมความเร็วของมอเตอร์ไฟฟ้ากระแสสลับทำได้โดยควบคุมความถี่ แรงดัน และกระแสไฟฟ้า ในการควบคุมส่วนต่างๆนี้จะใช้หลักการของอินเวอร์เตอร์ DC – AC และเรา จะต้องมีส่วนควบคุมการทำงานของอินเวอร์เตอร์ซึ่งก็คือการควบคุมการเปิด – ปิด ของ ทรานซิสสเตอร์

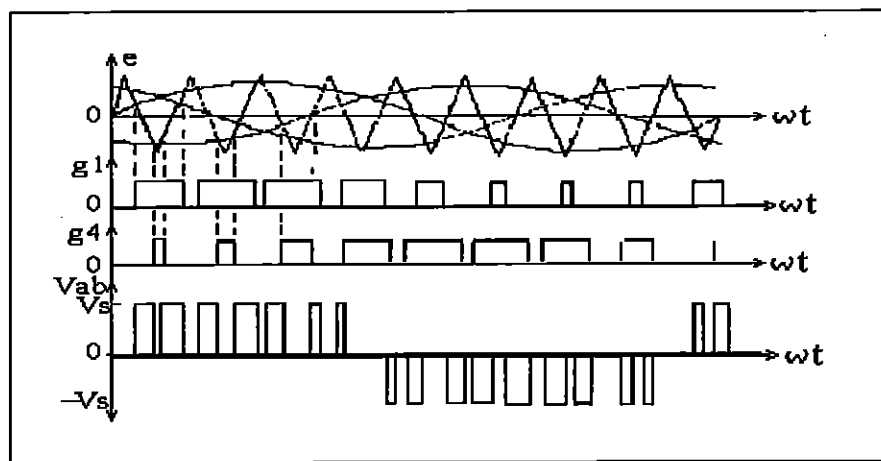


รูปที่ 2.19 แสดงลักษณะอินเวอร์เตอร์ 3 เฟส

การทำงานของอินเวอร์เตอร์นี้จะใช้สัญญาณมาควบคุมการเปิด-ปิด ของทรานซิสสเตอร์ โดยสัญญาณที่จะนำมาควบคุมคือสัญญาณ PWM ซึ่งได้จากการ modulateตามความกว้างของ พัลส์แบบ sinusoid ซึ่งการ modulateตามความกว้างของพัลส์เป็นเทคนิคที่ทำให้ควบคุมความกว้างของ พัลส์เอาต์พุตและลดcarrying loss นิกส์ในรูปคลื่นสัญญาณเอาต์พุตได้

#### 2.4.2 การmodulateตามความกว้างของพัลส์แบบ sinusoid (Sinusoidal Pulse Width Modulation; SPWM)

สัญญาณทริกเกอร์ที่เกทชี้งเกิดจากการเปลี่ยนเทียบของสัญญาณอ้างอิง (รูปคลื่นไอน์) กับ สัญญาณพาหะ (สามเหลี่ยม) ดังรูปที่ 2.20



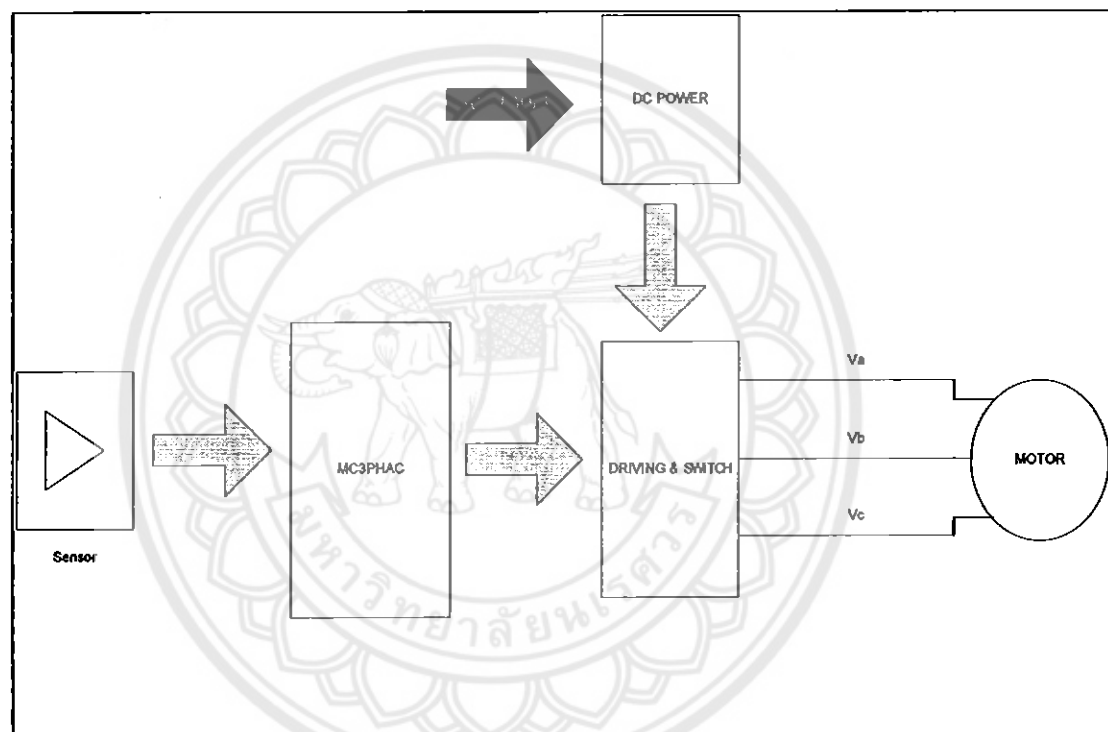
รูปที่ 2.20 แสดงลักษณะของสัญญาณ PWM

ดังนั้นจากความรู้เกี่ยวกับเครื่องอินเวอร์เตอร์นี้สามารถนำมาสร้างเครื่องอินเวอร์เตอร์ได้ นั้น จะต้องมีส่วนประกอบหลักๆ คือ ส่วนควบคุมการทำงานของ Trigger หรือเรียกว่าส่วนควบคุม การทำงานของขาเกทและส่วนของแหล่งจ่ายไฟฟ้ากระแสตรงให้แก่เครื่องอินเวอร์เตอร์

### บทที่ 3

## วิธีดำเนินprocrogan

ข้อมูลส่วนรายละเอียดทุกถี่และหลักการต่างๆ ที่เกี่ยวข้องกับการทำprocrogan ผู้จัดทำได้ชี้แจงในบทที่ผ่านมาแล้ว ดังนั้นในบทนี้ผู้จัดทำprocrogan จึงได้เริ่มการออกแบบสร้างวงจรควบคุมการทำงานของมอเตอร์ตามทุกถี่ ซึ่งprocrogan ของส่วนหาร็คแวร์ประกอบไปด้วย 2 ส่วนหลัก ได้แก่ 1. ส่วนวงจรขั้บมอเตอร์ และ 2. ส่วนวงจรควบคุมและสร้างสัญญาณ PWM



รูปที่ 3.1 บล็อกໄโคะแกรมของอินเวอร์เตอร์ SVPWM

การดำเนินงานแบ่งออกเป็น 2 ส่วน ได้แก่ ชุดควบคุมอินเวอร์เตอร์สำหรับมอเตอร์ เหนี่ยวนำ 3 เฟส ส่วนออกแบบ และพัฒนาซอฟต์แวร์ควบคุม

จากรูปที่ 3.1 ระบบของอินเวอร์เตอร์ SVPWM แบ่งออกเป็นสองส่วนหลักคือส่วนวงจรขั้บมอเตอร์ ประกอบไปด้วย วงจรภาคขั้บสวิตช์ IGBT และวงจรกำลังส่วนออกแบบ ส่วนควบคุมซึ่งจะประกอบไปด้วย ส่วนของ IC MC3PHAC ทำหน้าที่รับค่าที่ได้จากเซ็นเซอร์จากนั้นทำการคำนวณ และสร้างสัญญาณ PWM ส่งไปควบคุมวงจรสวิตช์ IGBT

### 3.1 การออกแบบวงจรขับสวิตช์ IGBT

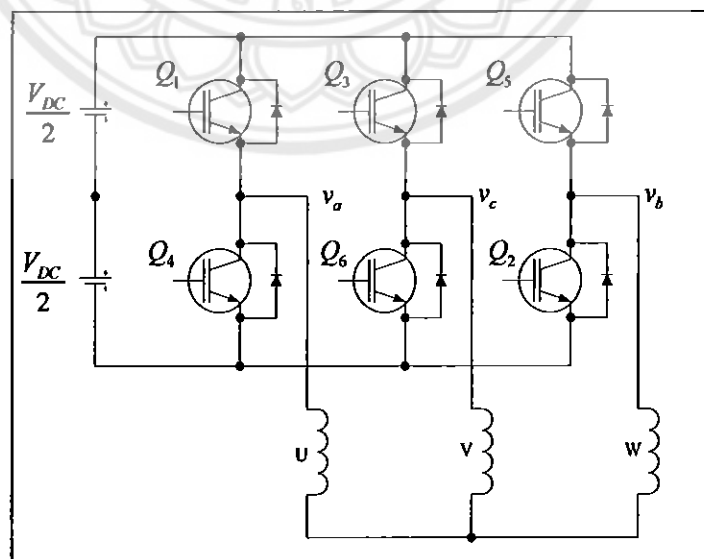
การออกแบบ วงจรขับสวิตช์ IGBT จะใช้ Opto Isolate เบอร์ TLP250 เพื่อแยกแรงดันไฟฟ้า กับแรงดันไฟฟ้าสูงออกจากกัน โดย R<sub>3U</sub> ในรูปที่ 3.3 จะใช้ค่าอยู่ระหว่าง 10 Ω ถึง 100 Ω เพื่อป้องกัน การเกิดการแกกวิ่งของสัญญาณที่ขาเกทของ IGBT ซึ่งในงานวิจัยนี้เลือกใช้ค่า R<sub>3U</sub> = 10 Ω ซึ่งการ แกกวิ่งของสัญญาณเกิดจากตัวเก็บประจุที่ขาเกทของ IGBT มีค่า 2800 pF หากเรามองจากเอาต์พุต ของ Opto Isolate จะประกอบไปด้วยตัวหนี่ยวนำไฟฟ้าที่เกิดจากลักษณะ แล้วตัวเก็บประจุที่ขาเกท ของ IGBT เป็นวงจร LC ซึ่งจะทำให้เกิดความถี่แกว่ง (Damping frequency) เนื่องจากสัญญาณที่ เอาต์พุตของ Opto Isolate เป็นสัญญาณพัลส์ PWM ที่ประกอบด้วย harmonic อนิจ ของสัญญาณ PWM ไฉน หลายความถี่ ซึ่งอาจทำให้เกิดการอสซิลเลเต ได้จึงจำเป็นต้องใส่ตัวด้านหาน R<sub>3U</sub> เพื่อควบคุม ไม่ให้เกิดการแกกวิ่งของสัญญาณโดยจะทำให้ผลของ L ในลักษณะลดลงจะมีผลของ R และ C เท่านั้น โดยการเพิ่มขึ้นของแรงดัน และลดลงของระดับแรงดันพัลส์ของสัญญาณ PWM จะขึ้นกับค่า เวลาคงตัวของ R<sub>3U</sub> และ C ที่ขาเกทของ IGBT โดยมีค่าที่  $\tau = 28 \text{ nS}$

$$\tau = R_{3U} \cdot C_{GATE}$$

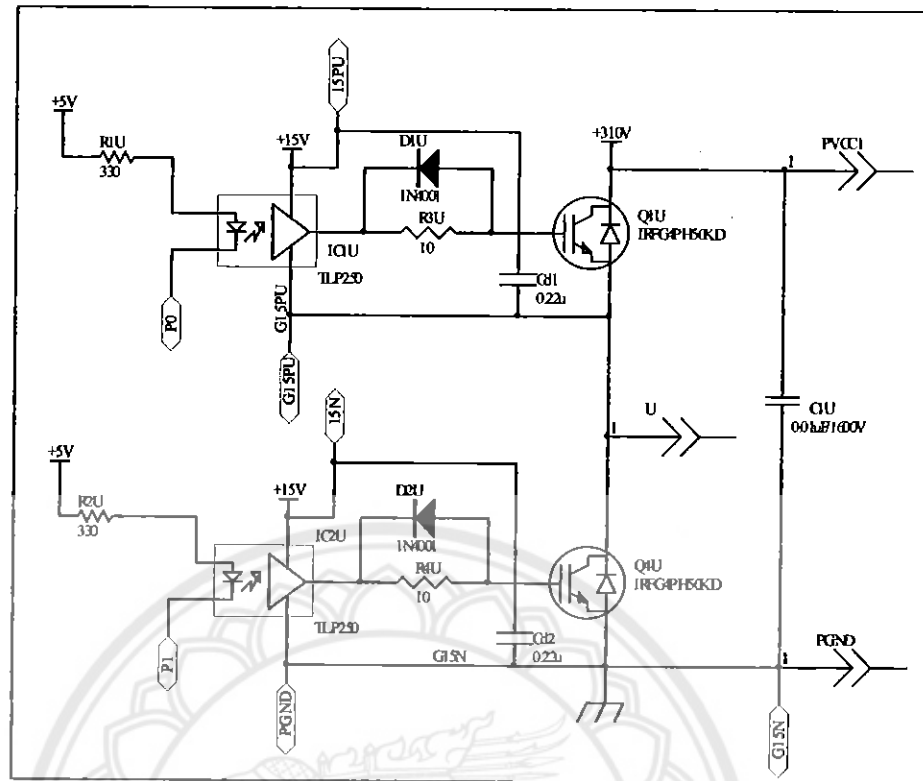
$\tau$  = ค่าเวลาคงตัว

R<sub>3U</sub> = ค่าตัวด้านหาน

C<sub>GATE</sub> = ค่าตัวเก็บประจุที่ขาเกทของ IGBT



รูปที่ 3.2 โครงสร้างของชุดขับสวิตช์ IGBT สำหรับมอเตอร์เนี่ยนานา 3 เฟส



รูปที่ 3.3 วงจรภาคขับสวิตช์ IGBT

ส่วนไคโอด D1U มีหน้าที่ช่วยในการขยายประจุของตัวเก็บประจุที่ขาเกตของ IGBT ขณะสั่งให้ IGBT เป็นสถานะ Turn off โดยดึงประจุผ่านไคโอดผ่าน Opto Isolate ลง Ground ของวงจร

การอ kok แบบ R1U กำหนดให้กระแสที่ไหลผ่าน  $I_D$  มีค่าเท่ากับ 10 mA,  $V_D = 1.6V$  ให้ที่

$$V_{cc} = 5V$$

จะได้ว่า

$$R_{1U} = (V_{cc} - V_D) / I_D$$

$$= (5V - 1.6V) / 10 \text{ mA}$$

$$= 340 \Omega$$

ในงานวิจัยนี้เลือกใช้ค่า  $330 \Omega$  ซึ่งจะได้กระแสประมาณ 10.3 mA วงจรข้างสามารถทำงาน

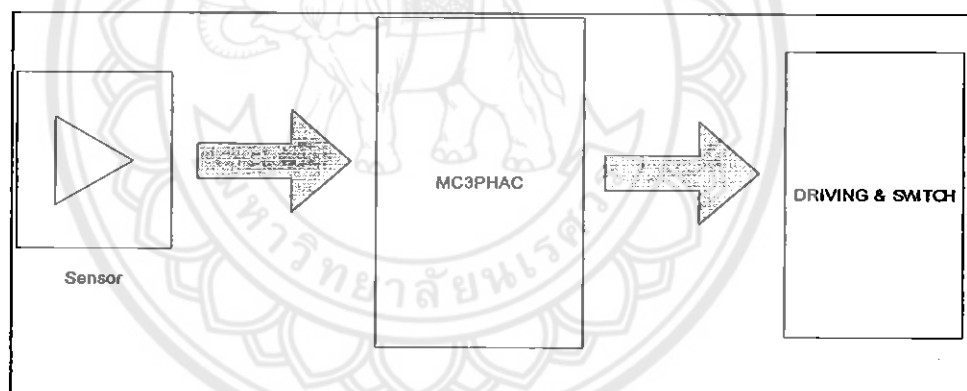
ได้

### 3.2 วงจรกำลัง

ในการทำงานเราจะใช้จ่ายเร็วๆไป เออร์คิวบ์ช ไอโอดิบิคซ์ จะใช้ค่าปั๊มเตอร์บานด์  $470\mu F$   $450V$  ขนาดกัน 4 ตัว แรงดันตกคร่อมค่าปั๊มเตอร์จะเป็นแรงดันอินพุทให้กับ ชุดวงจรสวิตซ์ IGBT โดยขี้ว่างจะต่อ กับข้อ P และข้อ L จะต่อ กับข้อ N

### 3.3 การออกแบบสร้างสัญญาณความคุณ SVM PWM

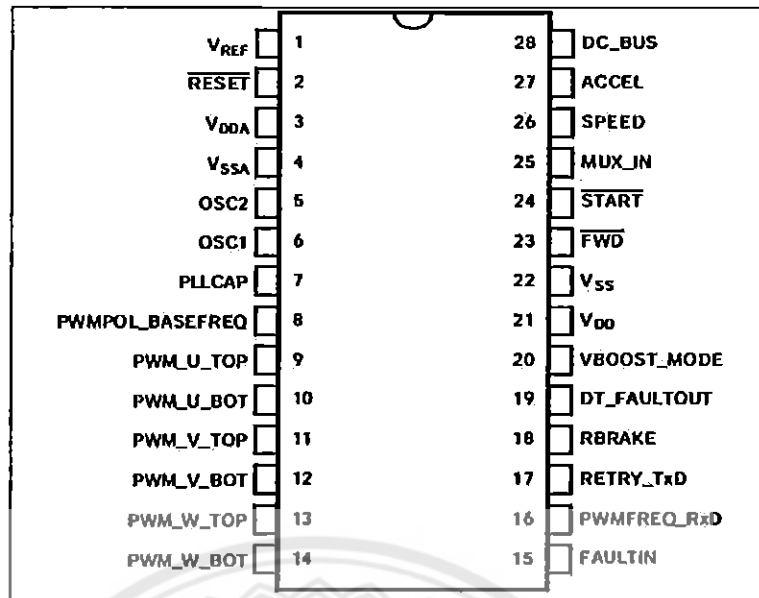
การออกแบบส่วนรับค่าจากเซ็นเซอร์เพื่อนำไปใช้ในการคำนวณและสร้างสัญญาณ SVM PWM เพื่อควบคุมการสวิตซ์และจะแสดงสถานะ การทำงานผ่านหลอด LED ในส่วนนี้จะเป็นการออกแบบ เพื่อสร้างสัญญาณ SVM PWM เพื่อใช้ควบคุมชุดขับ IGBT จะใช้ขาสัญญาณทั้งหมด 6 เส้น โดยสร้างสัญญาณ SVM PWM สำหรับขับมอเตอร์เนินี่ยวน้ำกระแสลับแบบ 3 เพสทีอ  $V_a, V_b, V_c, \bar{V}_a, \bar{V}_b, \bar{V}_c$  โดยมีมุม  $0^\circ, 120^\circ, 240^\circ$  ตามลำดับ โดย  $\bar{V}_a, \bar{V}_b, \bar{V}_c$  เป็นสัญญาณกลับสถานะ จาก  $V_a, V_b, V_c$  โดย  $V_a, V_b, V_c$  ใช้ขับ IGBT ชุดบน  $Q_1, Q_3, Q_5$  ทั้งหมด และ  $\bar{V}_a, \bar{V}_b, \bar{V}_c$  ใช้ขับ IGBT ชุดล่าง  $Q_4, Q_6, Q_2$  ทั้งหมด



รูปที่ 3.4 บล็อกไซเคิลограмส่วนรับ-ส่งค่าพารามิเตอร์เพื่อส่งให้ IC MC3PHAC

### 3.4 การออกแบบ MC3PHAC

พิจารณาตัว MC3PHAC มีคุณลักษณะในการใช้งานคือเป็น ICMC3PHAC ที่มีการโปรแกรมไว้แล้ว แต่จะต้องมีการปรับค่าพารามิเตอร์ VBOOT\_MODE, DT\_FAULTOUT, RETRY/TXD ให้เหมาะสมกับค่าการใช้งานและ ยังได้รวมความสามารถในการซัดเซย์การกระเพื่อมของแรงดันไฟ ตรงที่ไม่เรียบจากวงจรเรียงกระแสไฟตรง (DC Bus) และวงจรป้องกันสภาวะไม่ปกติของอินเวอร์เตอร์ไว้ในตัวอิเก็คช์บ



รูปที่ 3.5 แสดงขาของ MC3PHAC

### คุณลักษณะพิเศษของ MC3PHAC

1. ใช้การควบคุมความเร็วแบบ อัตราส่วนแรงดันต่อความถี่คงที่
2. มีตัวรองสัญญาณควบคุมความเร็วอ่อนแบบดิจิตอล ไปรษณีย์
3. ใช้การคำนวณในการสร้างสัญญาณควบคุมแบบ 32 บิต
4. ไม่ต้องยุ่งยากกับซอฟต์แวร์
5. มีสัญญาณ PWM ขาออกให้ 6 บิต
6. สร้างสัญญาณ 3 เฟส
7. ตัวแปลงสัญญาณอนาลอกเป็นดิจิตอล 4 ช่อง
8. สามารถทำงานใน Standalone mode หรือแบบ Hosted mode
9. สามารถทำการซัดเซยแรงดันกระแสเพื่อนของ DC Bus
10. เลือกขั้วและความถี่การสวิตซ์ของสัญญาณ PWM ได้
11. เลือกความถี่พื้นฐาน 50 Hz หรือ 60 Hz ได้
12. ผลิตความถี่พื้นฐานแบบ PLL(Phase Lock Loop)
13. เชื่อมต่อกับอุปกรณ์ภายนอกแบบอนุกรณ์
14. มีวงจรตรวจจับแรงดันแหล่งจ่าย

MC3PHAC จะสร้างสัญญาณ PWM จำนวน 6 สัญญาณที่จะปรับขนาดของแรงดันตามการปรับความถี่ เพื่อสร้างสัญญาณ 3 เฟสสำหรับมอเตอร์ โดยการบวกเพิ่มหารโดยนิกส์ที่ 3 เข้าไปด้วยทำให้แรงดันขาออกของสัญญาณ 3 เฟสนี้ขนาดได้เท่ากับแรงดันสูงสุดของแรงดันขาเข้าสูงสุด ซึ่งทำ

ให้ได้แรงดันขาออกของสัญญาณ 3 เฟสมีขนาดเพิ่มขึ้นอีกประมาณ 15% เมื่อเทียบกับการสร้างสัญญาณ PWM แบบ monocycle ไซน์เวฟ (Sine Wave Modulation) สัญญาณ PWM จะอัพเดตด้วยความถี่ 5.3 KHz โดยความถี่ในการสวิตช์จะสามารถเลือกได้ 4 ความถี่คือ 5.291 KHz, 10.582 KHz, 15.873 KHz และ 21.164 KHz เมื่อใช้ความถี่ของคริสตอลที่ 4 MHz

ตัวกรองสัญญาณควบคุมความเร็วรอบแบบดิจิตอล ไปรษณีย์ ขนาด 24 มิติ ทำให้สัญญาณอินพุตปลดปล่อยจากสัญญาณรบกวนได้เป็นอย่างดีในงานที่มีสัญญาณรบกวนสูง โดยเฉพาะในโรงงานอุตสาหกรรม ซึ่งจะมีความเวลาการสุ่มในการกรองสัญญาณที่ 3 ms ด้วยความละเอียดในการคำนวณในการสร้างสัญญาณ PWM ขนาด 32 มิติ ทำให้สามารถปรับความละเอียดของการควบคุมของตัวอ่อนตัวอ่อนได้ละเอียดถึง 4 mHz และทำให้การเปลี่ยนแปลงความถี่เป็นไปได้อย่างง่ายดาย ไม่มีการกระตุกของผลิตภัณฑ์

สัญญาณ PWM ทั้ง 6 สัญญาณจะถูกนำไปขับ IGBT จำนวน 6 ตัว และเพื่อป้องกันการทำงานพร้อมกันในไฟเดียว กัน (Shoot Through) เราเรียกว่าเวลาที่ IGBT ในไฟเดียว กันหยุดทำงานทั้งสองตัวว่า Dead Time ที่สามารถโปรแกรมให้เหมาะสมกับ IGBT แต่ละขนาดได้โดยการปรับตั้งที่ค่าตัวความต้านทานที่สามารถปรับได้ตั้งแต่ 0 ถึง 32  $\mu$ s

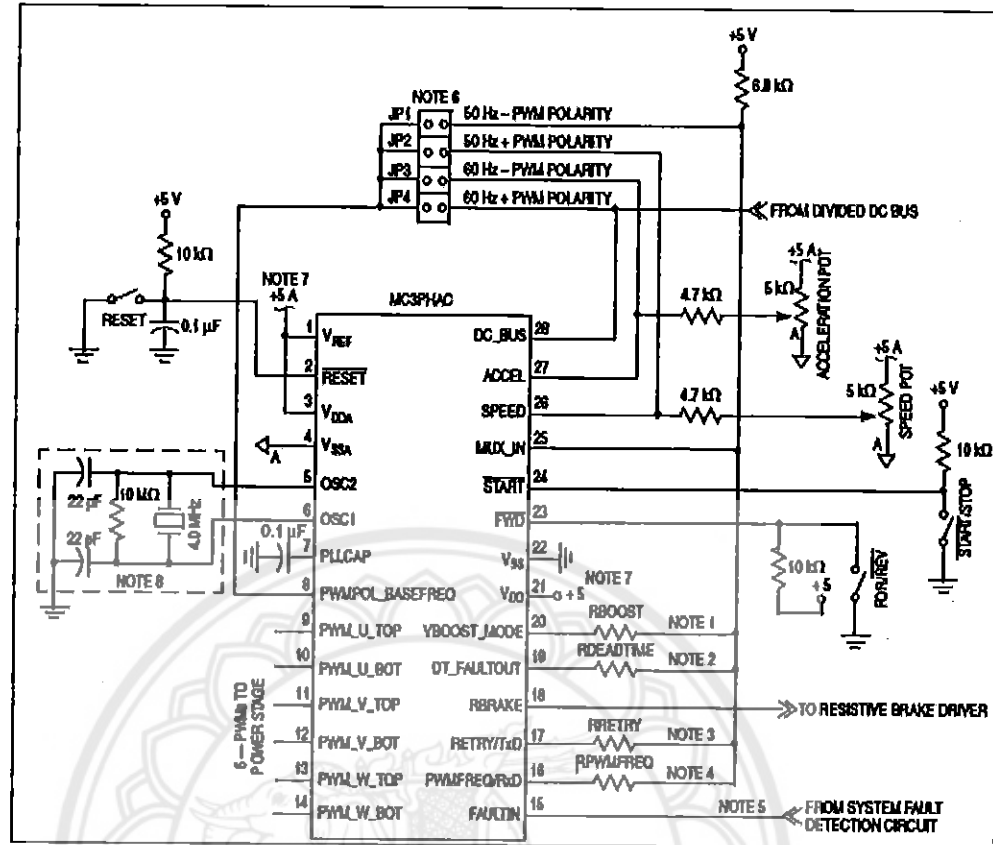
ความถี่ที่จ่ายให้กับบอร์ดสามารถปรับได้ตั้งแต่ 1 Hz ถึง 128 Hz โดยการปรับแรงดันที่ป้อนให้กับ MC3PHAC โดยมีอัตราส่วน 25.6 Hz ต่อ 1 โวลต์

### 3.5 วงจรการทำงาน

ตารางที่ 3.1 คุณลักษณะของกระแส

Characteristic <sup>(1)</sup>	Symbol	Value	Unit
Supply voltage	$V_{DD}$	-0.3 to +6.0	V
Input voltage	$V_{IN}$	-0.3 to $V_{DD} + 0.3$	V
Input high voltage	$V_H$	$V_{DD} + 0.3$	V
Maximum current per pin excluding $V_{DD}$ and $V_{SS}$	I	$\pm 25$	mA
Storage temperature	$T_{STG}$	-55 to +150	°C
Maximum current out of $V_{SS}$	$IMV_{SS}$	100	mA
Maximum current into $V_{DD}$	$IMV_{DD}$	100	mA

1. Voltages referenced to  $V_{SS}$



รูปที่ 3.6 วงจรการใช้งานปกติ

### 3.6 คำนวณค่าอุปกรณ์

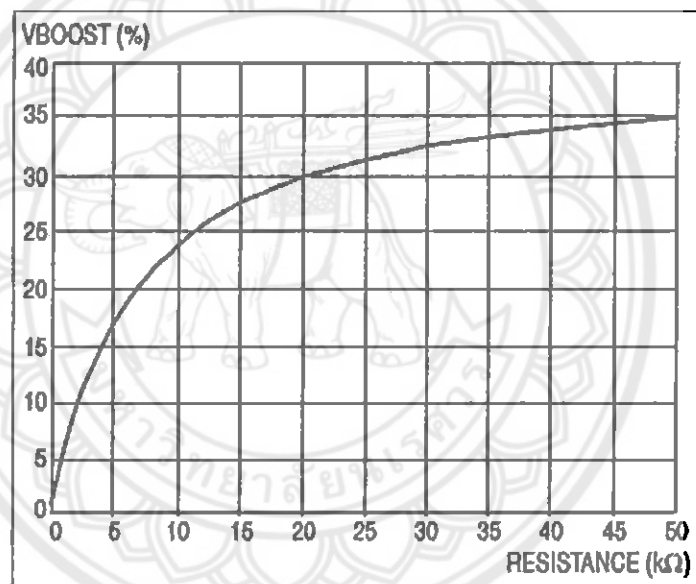
ค่าของ DC\_BUS ต้องใช้แรงดันที่ 3.85 V เนื่องจากการกำหนดจาก DATA SHEET การลดเพิ่มความเร็วและความเร่ง ใช้การปรับแรงดันที่ขา ACCEL เพื่อปรับความเร่ง และขา SPEED เพื่อการปรับความเร็ว โดยจะต้องต่อความต้านทาน อนุกรม ไว้ก่อนเข้าไปซึ่งด้วยเพื่อจำกัดกระแสที่จะเข้าไปซึ่ง ค่าของ MUX\_IN ใช้เลือกค่าความถี่ของ PWM ให้กำหนดแรงดันเข้าที่ขา MUX\_IN

ตารางที่ 3.2 กำหนดความถี่ PWM

Voltage Input	PWM Frequency
0 to 1 V	5.291 kHz
1.5 to 2.26 V	10.682 kHz
2.75 to 3.5 V	15.873 kHz
4 to 5 V	21.164 kHz

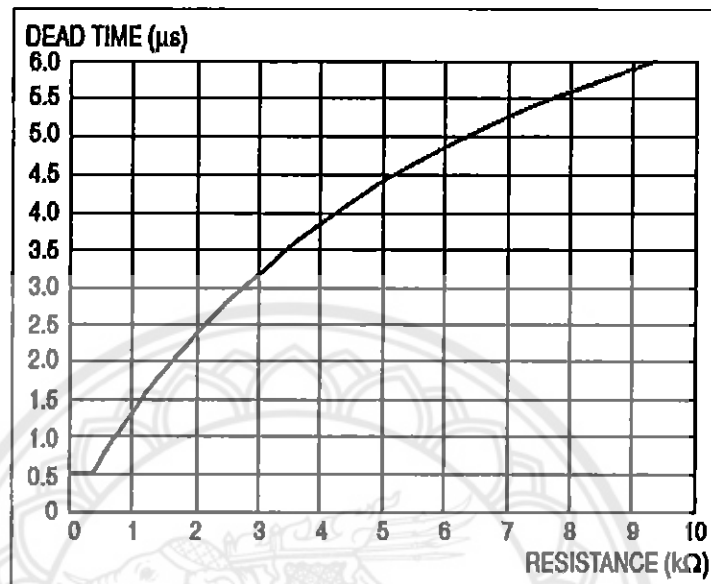
ขา START และ FWD เป็นขาที่ใช้ในการปีดปิด และขาควบคุมทิศทางตามลำดับ โดยการทำงานจะทำงานเมื่อเป็น 0 V และในตอนเริ่มการใช้งานจะจะต้อง Off switch ก่อนทุกครั้งที่จะป้อนไฟเข้าวงจร เมื่อป้อนไฟเข้าวงจรแล้วจึงค่อยทำการ On switch ส่วนขา FWD ก็จะใช้ในการเลือกทิศทางของมอเตอร์ในการผลีที่ใช้ในการควบคุมมอเตอร์ 3 เฟส ว่าต้องการที่จะให้มุนไปหน้าหรือมุนกลับหลัง การต่อวงจรก็จะให้ความต้านทานปรับค่าได้ เพื่อทำการปรับความเร็วและความเร่งจากนั้นก็ใช้ความต้านทานเพื่อจำกัดกระแสก่อนที่จะเข้าไปยัง MC3PHAC ขา VBOOT\_MODE เป็นขาที่ใช้เลือกความถี่ในการเริ่มต้นขับมอเตอร์ในขณะที่ไม่มีแรงดันตกค้างอยู่ภายในมอเตอร์ หรือในตอนที่ START มอเตอร์ สามารถเลือกได้ 0 – 40 % โดยใช้ความต้านทานดังตาราง

ตารางที่ 3.3 การเลือกค่าความต้านทาน VBOOT



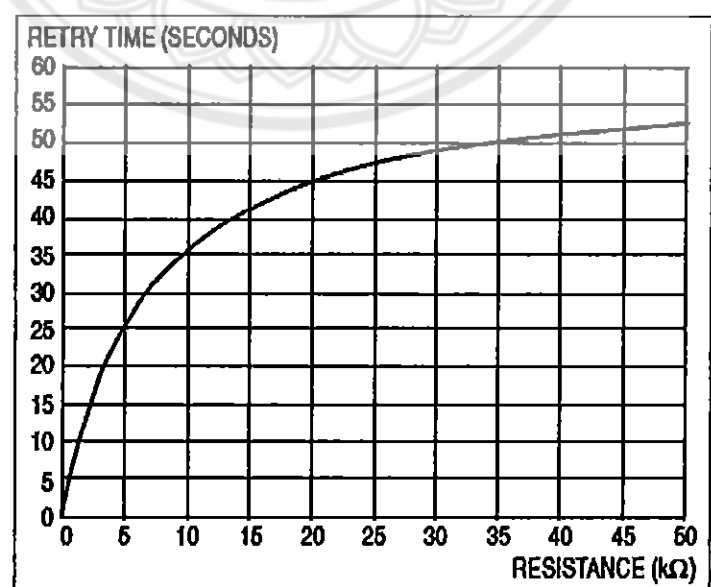
ขา DT\_FAULTOUT เป็นขาที่ใช้ในการเลือกค่า DATE TIME

ตารางที่ 3.4 ค่าความต้านทานเพื่อเลือกช่วง DEAD TIME



ขา RETRY/TXD ใช้ในการกำหนดเวลาในการเริ่มต้นใหม่เมื่อเกิดข้อผิดพลาด หรือ当ที่มีความขัดข้อง

ตารางที่ 3.5 การเลือกความต้านทาน Fault retry time



ในงานวิจัยได้กำหนดค่าดังกล่าวให้ได้ตาม พิกัดของ วงจรสวิตซ์ IGBT ดังนี้ ค่า PWM Polarity เป็นลบ และ Base Frequency เท่ากับ 50 Hz ค่า Voltage Boost กำหนดที่ 20% ค่า Dead Time กำหนดที่ 5.2μs ค่า Retry Time กำหนดที่ 52 Sec และค่า PWM Frequency กำหนดที่ 5.291 KHz โดยใช้ความถี่ของคริสตอลที่ 4 MHz ส่วนสวิตซ์ SW1 ทำหน้าที่เป็นคำสั่ง Start/Stop และ SW2 ทำหน้าที่กำหนดทิศทางการหมุนของมอเตอร์ สำหรับ VR1 กำหนดอัตราเร่งและลดความเร็ว รอบของมอเตอร์ และ Sensor เป็นตัวกำหนดความเร็วรอบของมอเตอร์ ที่ปรับได้ตั้งแต่ 15 รอบต่อนาทีถึง 1500 รอบต่อนาทีสำหรับมอเตอร์ 4 ขี้วะ และ ที่ให้แรงบิดคงที่ตลอดย่านความเร็วรอบ ความต้านทาน ค่า 560 Ω ทำหน้าที่เป็นตัวจำกัดกระแสของ Opto-Couple ให้ได้ตามพิกัด วงจรสวิตซ์ IGBT



15740344

ก/ก.  
๖๙๗๙๐  
2552

## บทที่ 4

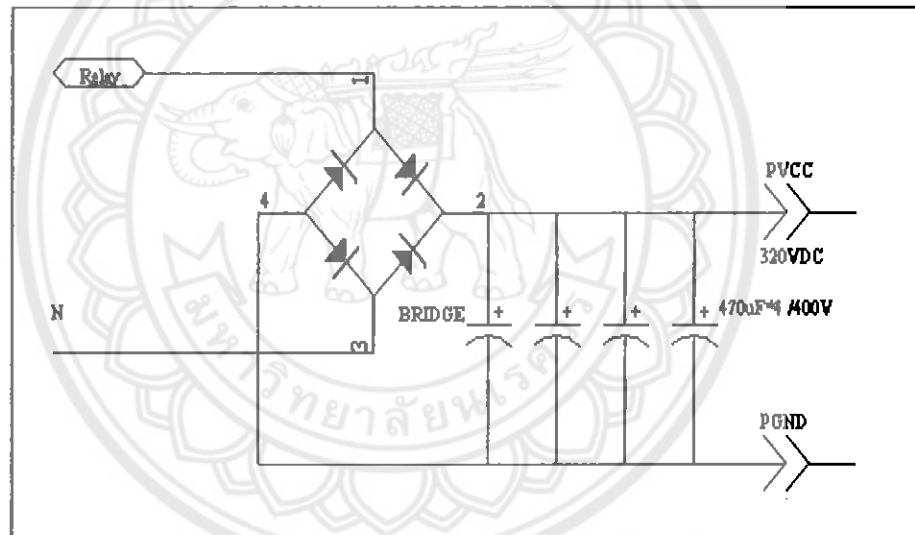
### ผลการทดสอบและวิเคราะห์

#### 4.1 จุดประสงค์การทดสอบ

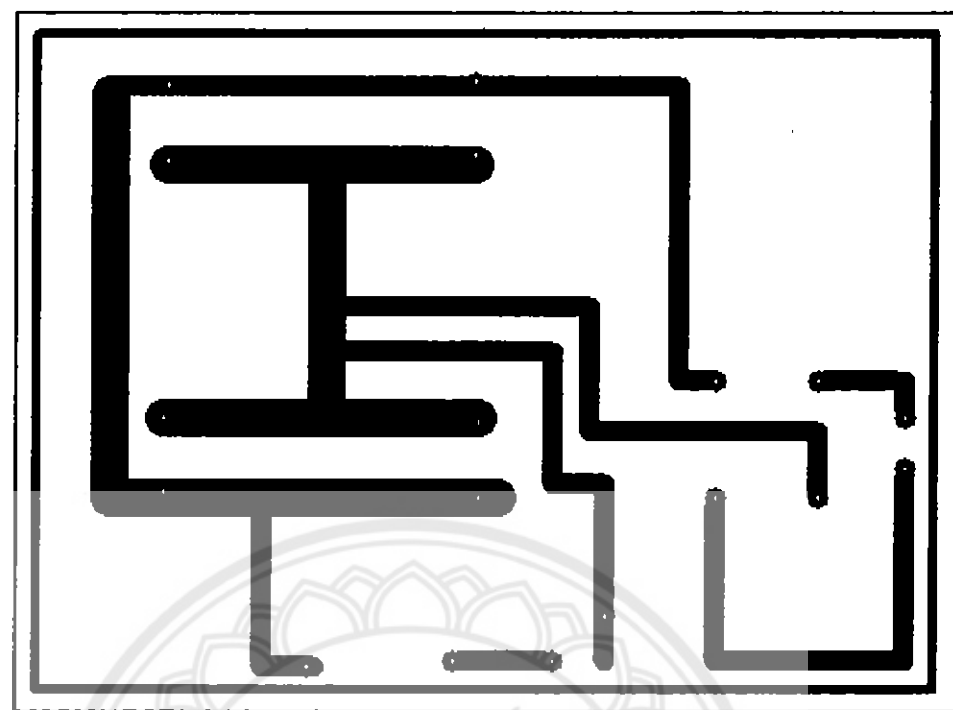
การวิจัยนี้ศึกษาการควบคุมมอเตอร์เหนี่ยวนำกระแสสลับ 3 เฟส โดยการอินเวอร์เตอร์ ด้วยวิธี การเปลี่ยนแปลงความถี่ของแรงดันไฟฟ้าที่จ่ายให้กับมอเตอร์เหนี่ยวนำกระแสสลับ โดยความเร็วมอเตอร์เปลี่ยนแปลงตามอุณหภูมิ

#### 4.2 ขั้นตอนการทดสอบ

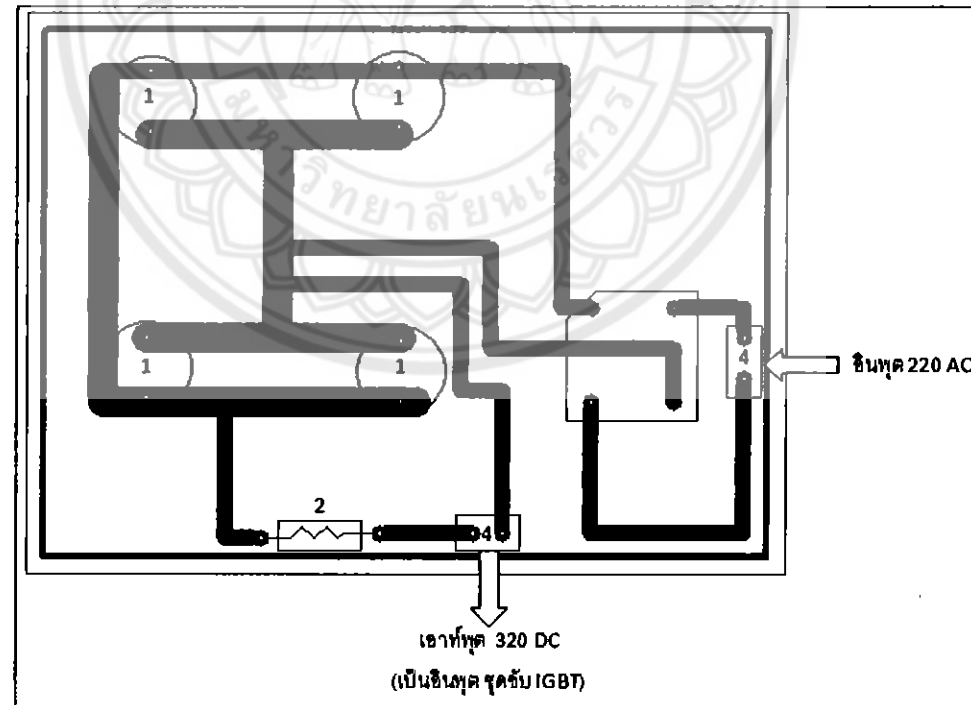
##### 4.2.1 สร้างวงจร Power 320 Volts DC



รูปที่ 4.1 วงจร Power



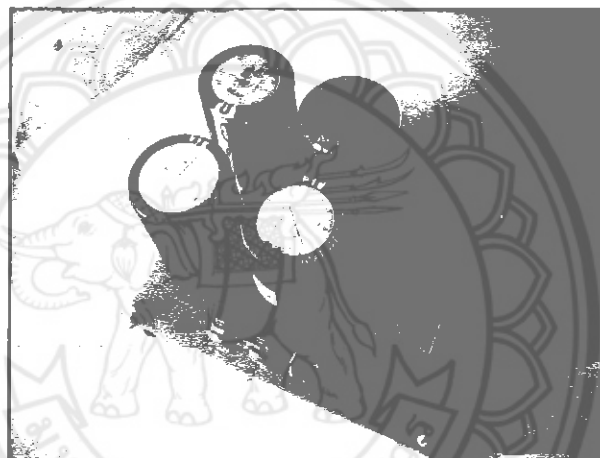
รูปที่ 4.2 ลายวงจร PCB วงจร Power



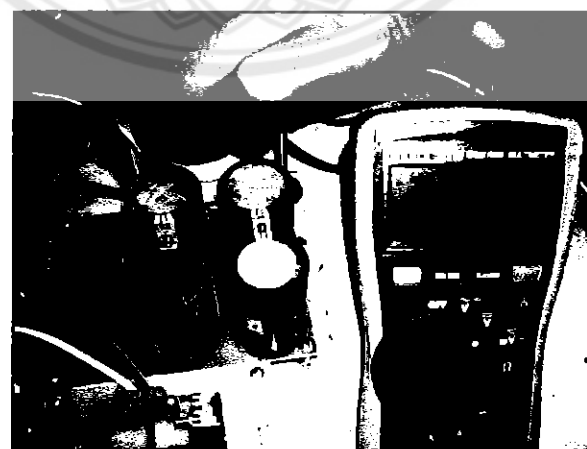
รูปที่ 4.3 การลงอุปกรณ์บนลายวงจร PCB วงจร Power

**ตารางที่ 4.1 อุปกรณ์ที่ใช้ในวงจร Power**

เมอร์อุปกรณ์บนวงจร PCB	รายการ	จำนวน
1	C5 – 470uF 400V Electrolyte	4 ตัว
2	พิวส์ 3A	1 ตัว
3	DIODE BRIDGE RECTIFIER 800V/35A	1 ตัว
4	เทอร์มินัลขัน 2 ขา	2 ตัว
	Print circuit board	1 แผ่น

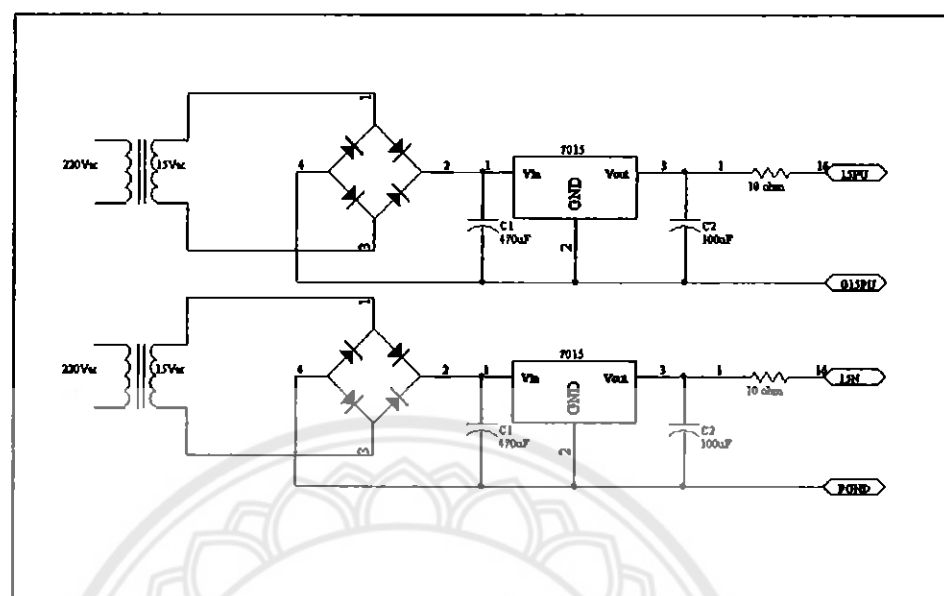


**รูปที่ 4.4 วงจร Power ที่ลงอุปกรณ์เรียบร้อย**

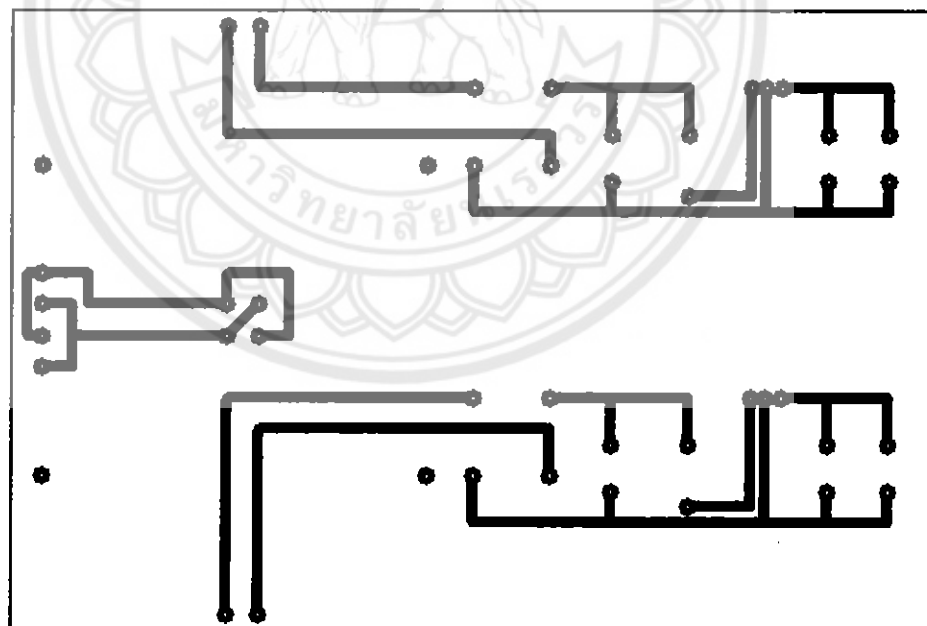


**รูปที่ 4.5 ผลการทดลองวัดแรงดันวงจร Power output ได้ 317.6 Vdc**

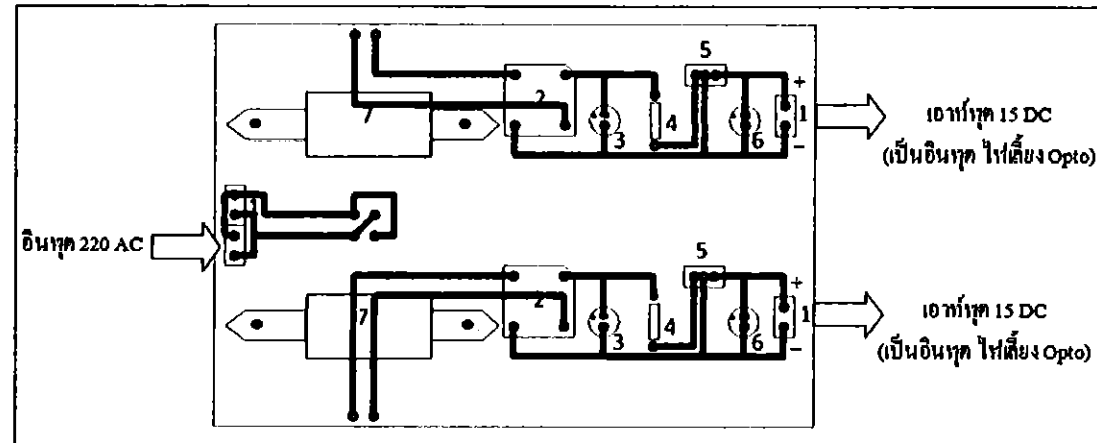
#### 4.2.2 วงจรไฟเลี้ยงวงจร Opto-Couple, (15 Vdc) ที่ 1 2 ชุด



รูปที่ 4.6 วงจรไฟเลี้ยงวงจร Opto-Couple, (15 Vdc)



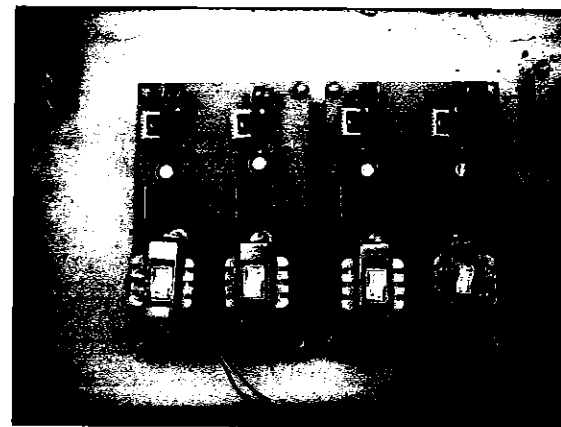
รูปที่ 4.7 ลายวงจร PCB วงจรไฟเลี้ยง วงจร Opto-Couple



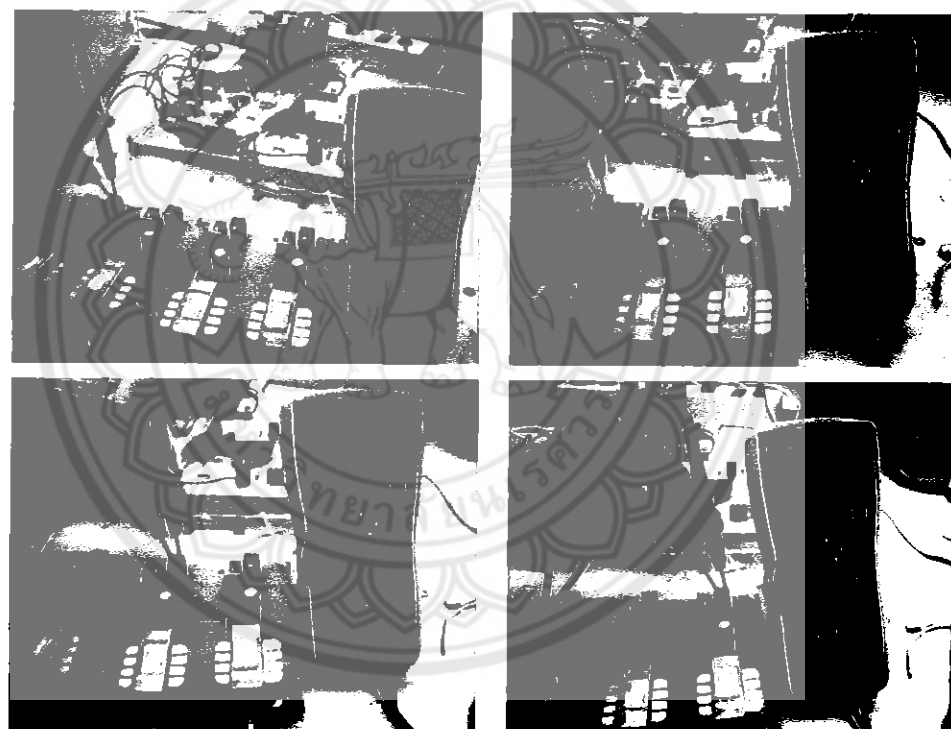
ຮູບທີ 4.8 ການລັງອຸປະກອບພົບນລາຍງານ PCB ວົງຈາໄຟເລື່ອງ ວົງຈາ Opto-Couple

ຕາງໆທີ 4.2 ອຸປະກອບທີ່ໃຊ້ໃນວົງຈາໄຟເລື່ອງ ວົງຈາ Opto-Couple

ເມອົງຄູບປະກົບພົບນວົງຈາ PCB	ຮາຍການ	ຈຳນວນ
1	ເຫຼືອມິນັກຂັ້ນ 2 ໜາ	7 ຕົວ
2	BRIDGE RECTIFIER 600V, 8A	4 ຕົວ
3	C 34 Volt 470 $\mu$ F	4 ຕົວ
4	R 10 $\Omega$	4 ຕົວ
5	IC regulator ເປົອ໌ 7815CV ຮັກຍາຮະດັບແຮງດັນທີ 15 Volt	4 ຕົວ
6	C 16 Volt 100 $\mu$ F	4 ຕົວ
7	ໜົມອແປລົງໄຟຟ້ານາດ 15 Volt ຈິງກໍຮະນາບຄວາມຮູ້ອນ	4 ຕົວ
	Print circuit board	2 ແຜ່ນ

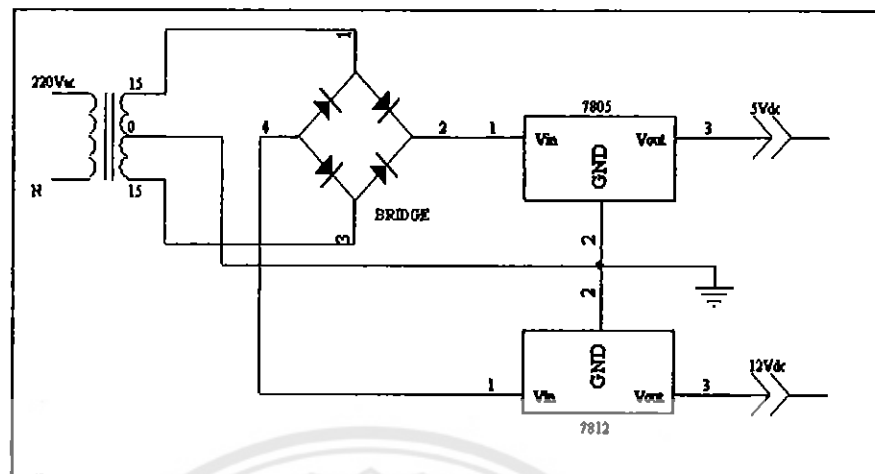


รูปที่ 4.9 วงจรไฟเลี้ยง วงจร Opto-Couple, (15 Vdc) ที่ลงอุปกรณ์เรียบร้อย

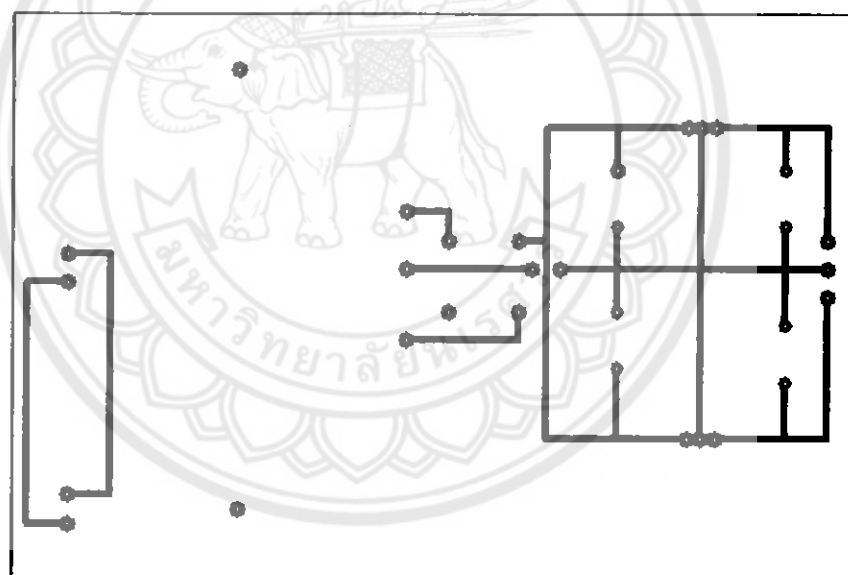


รูปที่ 4.10 ผลการทดลอง วงจรไฟเลี้ยง Opto-Couple

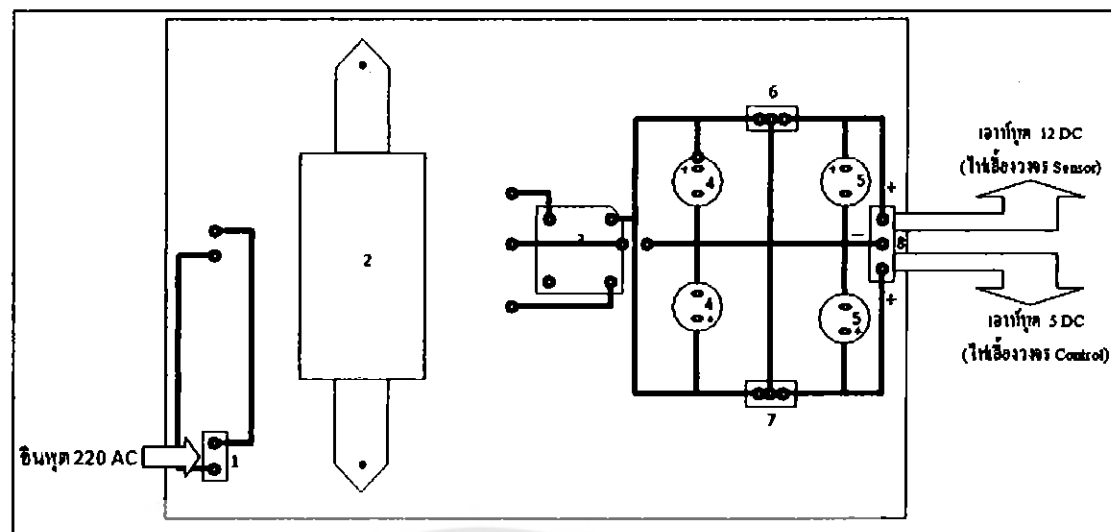
#### 4.2.3 วงจรไฟเลี้ยงวงจร Sensor และวงจร Control



รูปที่ 4.11 วงจรไฟเลี้ยง Sensor และวงจร Control



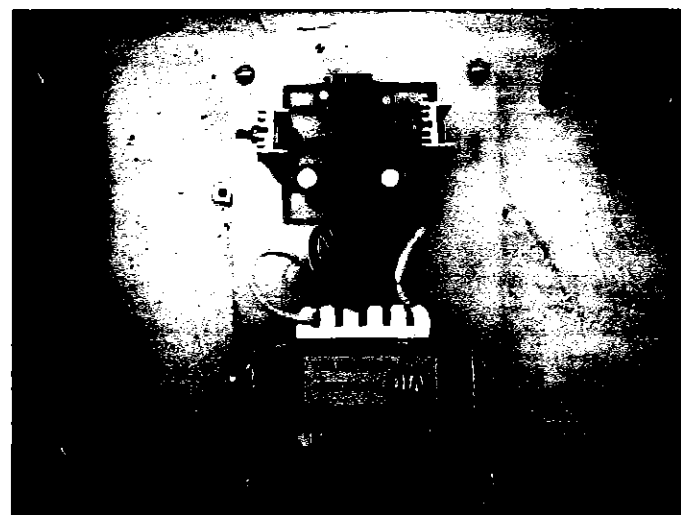
รูปที่ 4.12 ลายวงจร PCB วงจรไฟเลี้ยง Sensor และวงจร Control



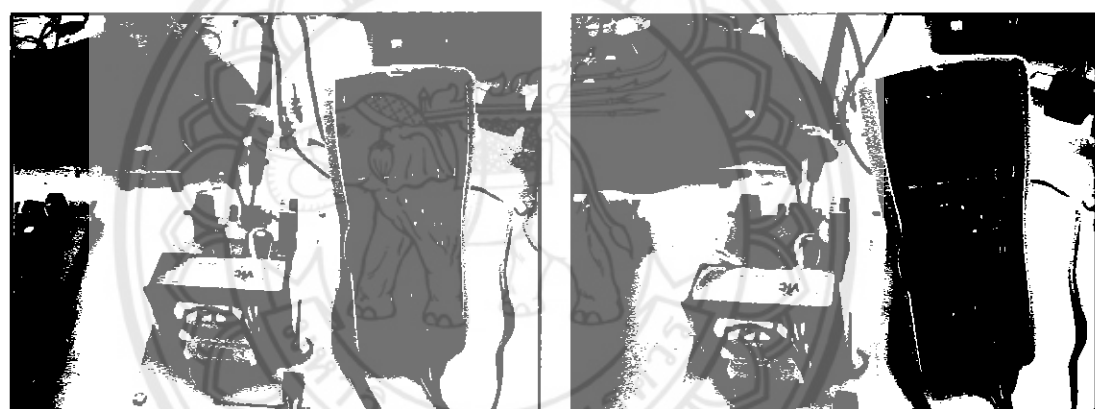
รูปที่ 4.13 การลงอุปกรณ์บนลายวงจร PCB วงจรไฟเลี้ยง วงจร Sensor และวงจร Control

#### ตารางที่ 4.3 อุปกรณ์ที่ใช้ในวงจรไฟเลี้ยง วงจร Sensor และวงจร Control

เบอร์อุปกรณ์บนวงจร PCB	รายการ	จำนวน
1	เทอร์มินัลขัน 2 ขา	1 ตัว
2	หม้อแปลงไฟฟ้าขนาด 15 Volt	1 ตัว
3	BRIDGE RECTIFIER 600V, 8A	1 ตัว
4	C 50 volt 470 $\mu$ F	2 ตัว
5	16 Volt 100 $\mu$ F	2 ตัว
6	IC regulator เบอร์ 7812A รักษาแรงดันเร่งดันที่ 12 Volt	1 ตัว
7	IC regulator เบอร์ 7805CV รักษาแรงดันเร่งดันที่ 5 Volt	1 ตัว
8	เทอร์มินัลขัน 3 ขา	4 ตัว
	ซิงค์ระบายความร้อน	2 ตัว
	Print circuit board	1 แผ่น

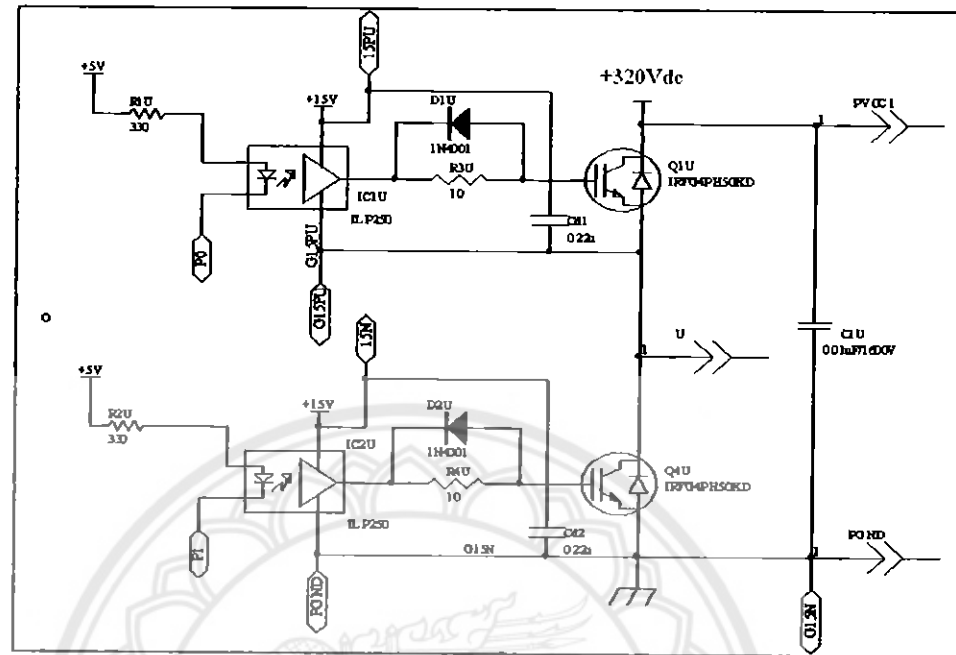


รูปที่ 4.14 ลายวงจรไฟเลี้ยง วงจร Sensor และวงจร Control ที่ลงอุปกรณ์เรียบร้อย

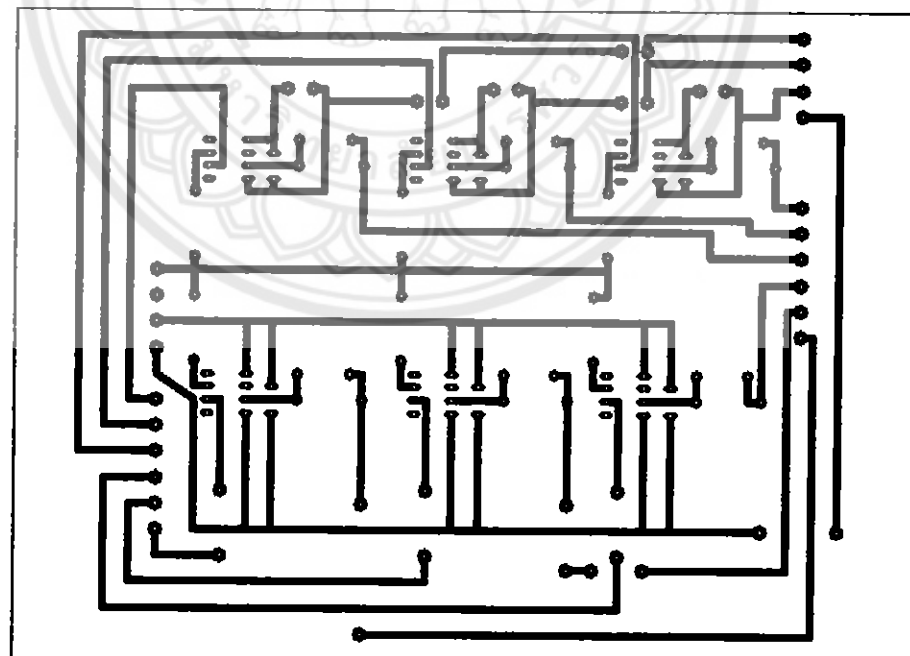


รูปที่ 4.15 ผลการทดลอง วงจรไฟเลี้ยงวงจร Sensor และวงจร Control 11.77 V, 4.995 V ตามลำดับ

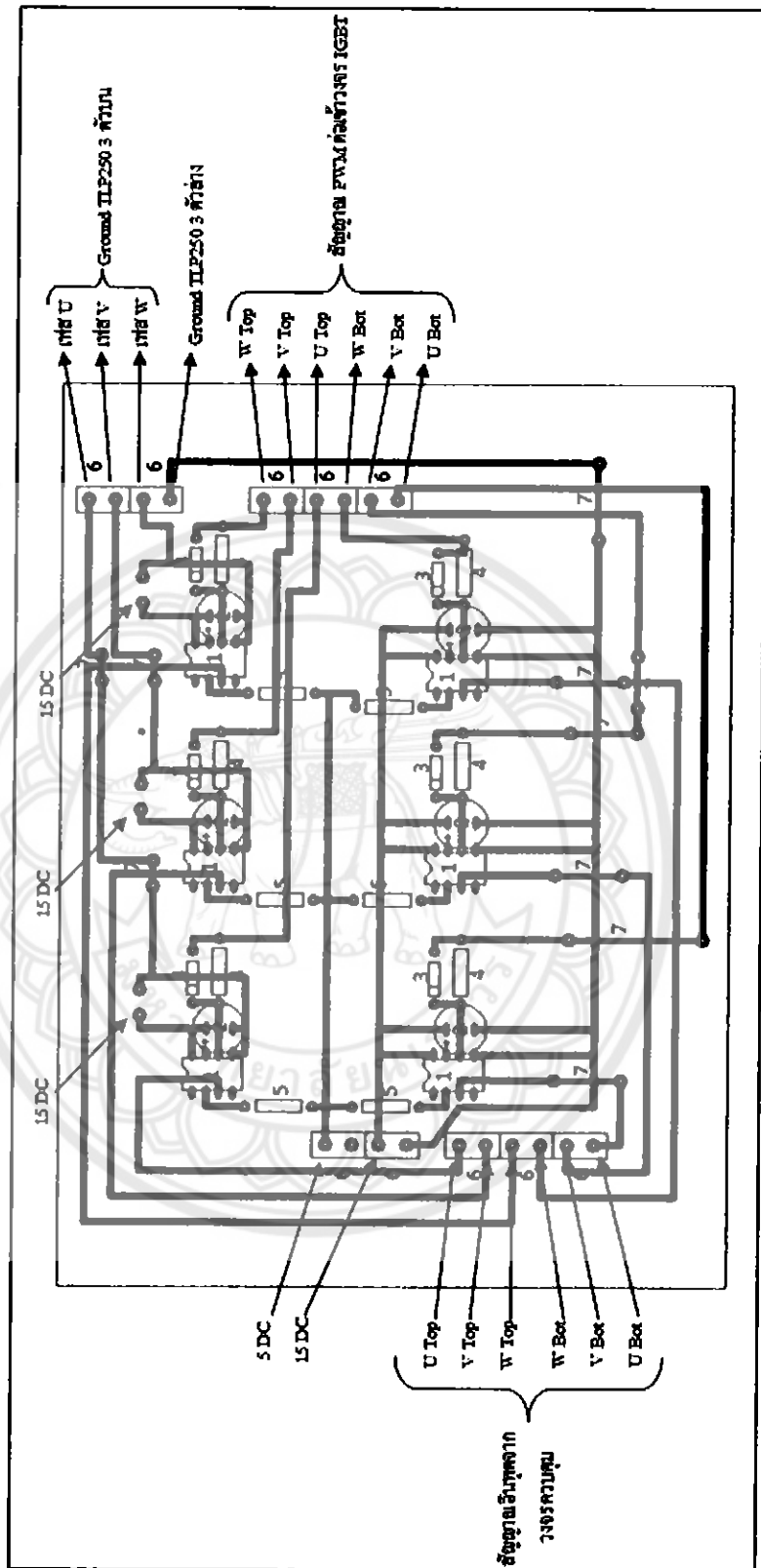
#### 4.2.4 วงจร Opto-Couple



รูปที่ 4.16 วงจร Opto-Couple เฟส U



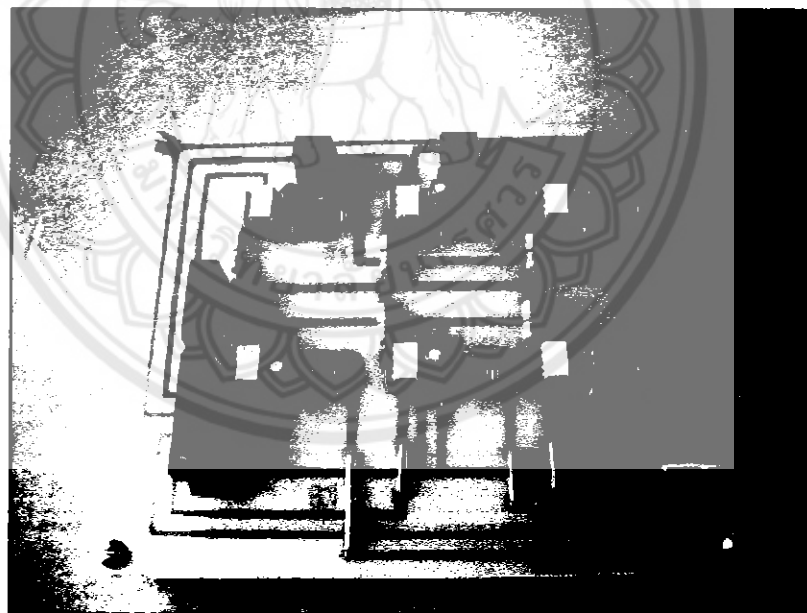
รูปที่ 4.17 ลากวงจร PCB วงจร Opto-Couple ทั้ง 3 เฟส



รูปที่ 4.18 การลงอุปกรณ์บนลากษณะ PCB ของ Opto-Couple ทั้ง 3 เฟส

#### ตารางที่ 4.4 อุปกรณ์ที่ใช้ในวงจร Opto-Couple

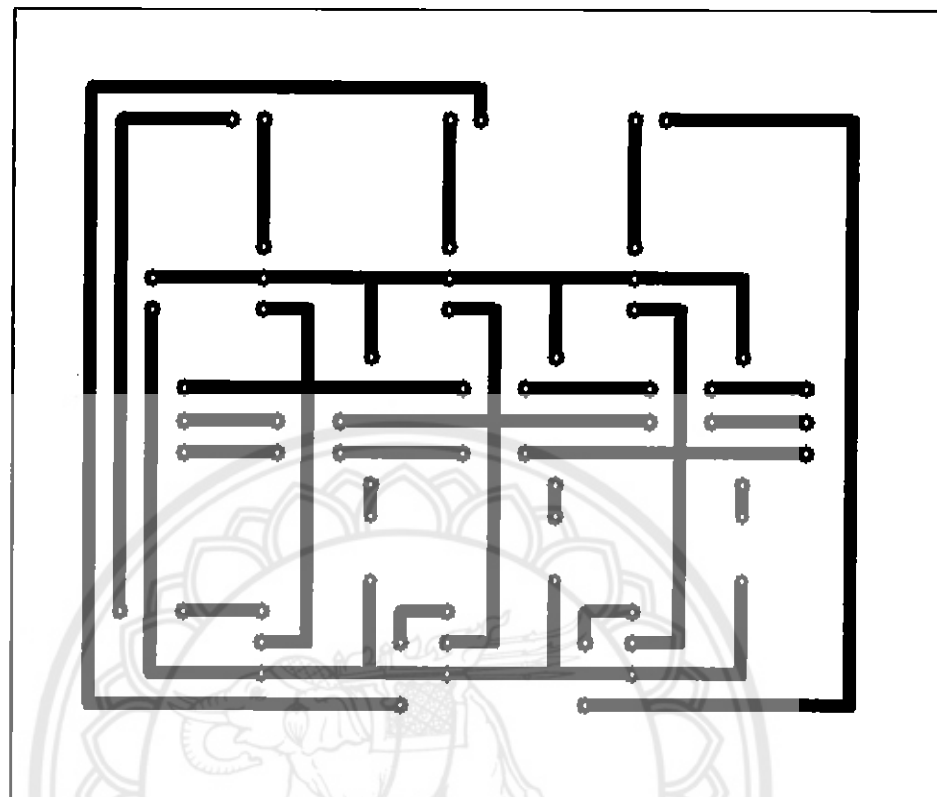
เบอร์อุปกรณ์บนวงจร PCB	รายการ	จำนวน
1	TLP250 (F)	6 ตัว
2	C 50 Volt 0.22 $\mu$ F	6 ตัว
3	ไคโอลิน in4001	6 ตัว
4	R 10 $\Omega$	6 ตัว
5	R 330 $\Omega$	2 ตัว
6	เทอร์มินัลขัน 2 ขา	13 ตัว
7	สายไฟ	9 เส้น
	SOCKET DIP SOLDER 08 PINS	8 ตัว
	Print circuit board	1 แผ่น



รูปที่ 4.19 วงจร Opto-Couple ที่ลงอุปกรณ์เรียบร้อยแล้ว

การทำงานของส่วนใน สวิตซ์ IGBT ของอินเวอร์เตอร์ จำเป็นต้องมีอุปกรณ์ในการแยก  
กราวด์ที่ใช้ในการทำงานนี้จะใช้ Opto-Couple TPL250 จำนวน 6 ตัว ทำหน้าที่แยกกราวด์สัญญาณ  
ทางไฟฟ้าระหว่างสัญญาณส่วนขยายกับส่วนควบคุม

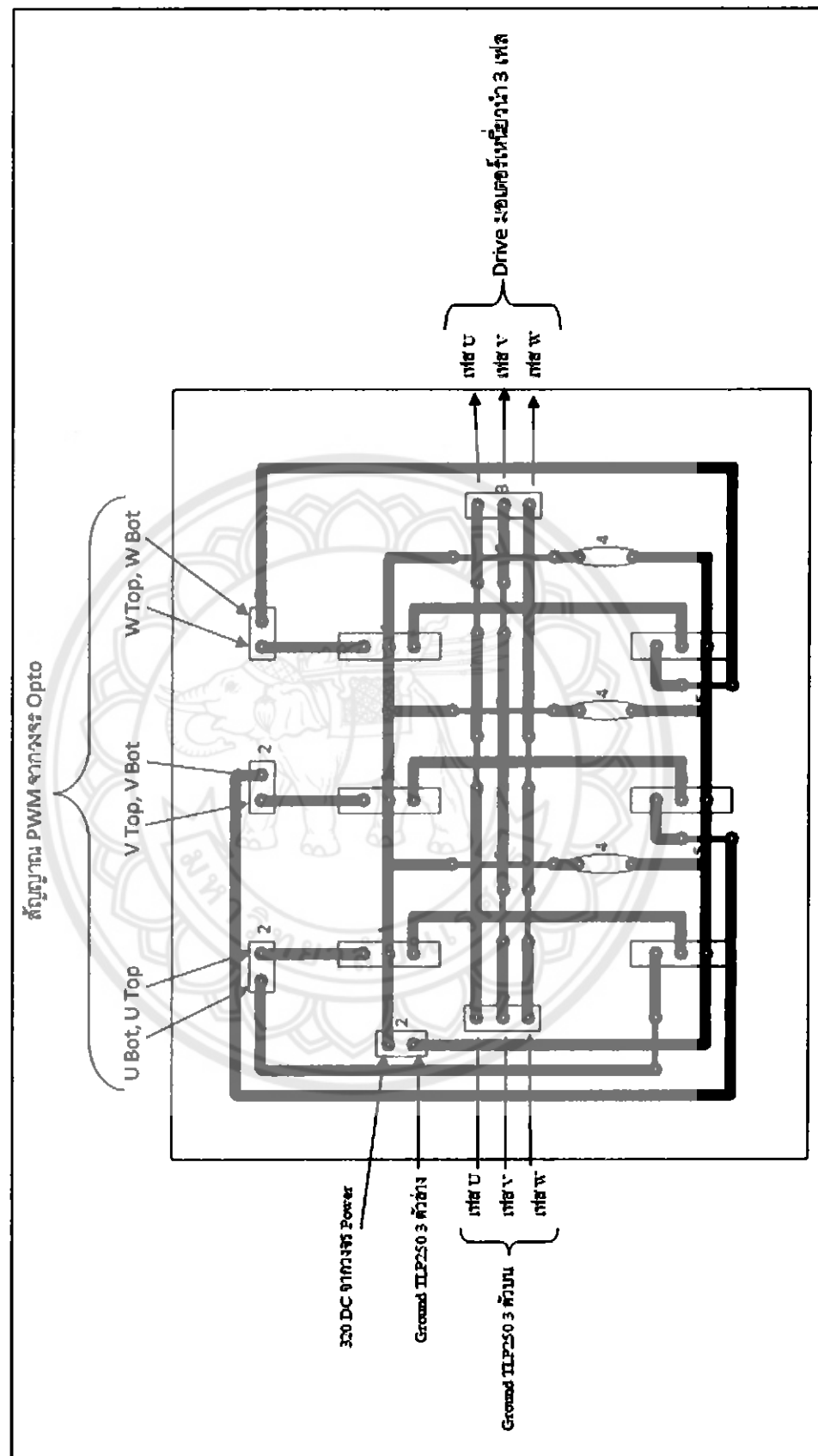
#### 4.2.5 วงจร สวิตช์ IGBT



รูปที่ 4.20 ลากวงจร PCB วงจร IGBT

ตารางที่ 4.5 อุปกรณ์ที่ใช้ในวงจร IGBT

เบอร์อุปกรณ์บนวงจร PCB	รายการ	จำนวน
1	IGBT เบอร์ GT60M303Q	6 ตัว
2	เทอร์มิเนลขัน 2 ขา	2 ตัว
3	เทอร์มิเนลขัน 3 ขา	1 ตัว
4	C เซรามิก 2KV	3 ตัว
	ซิงค์เรบวยความร้อน	6 ตัว
	Print circuit board	1 แผ่น



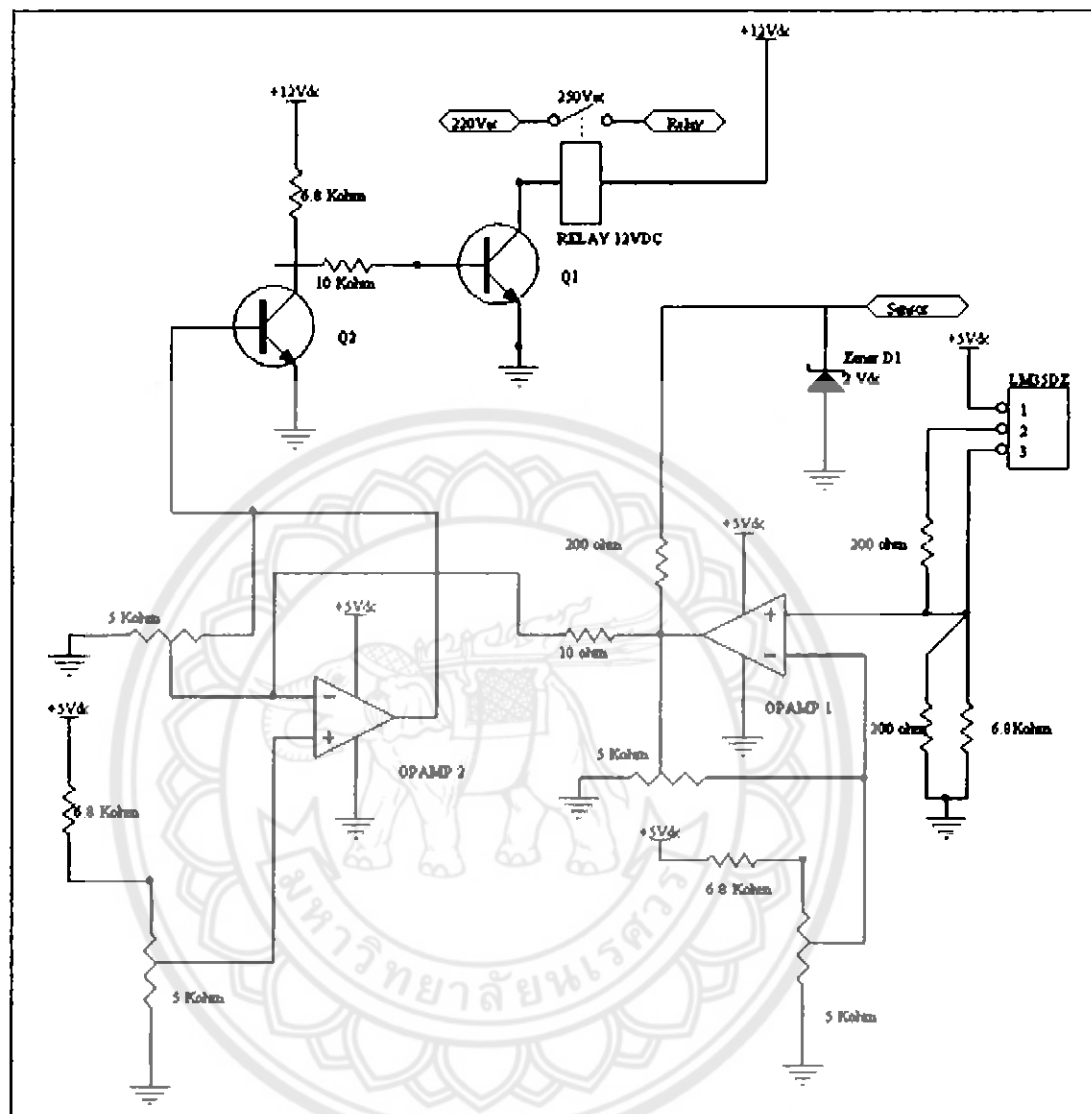
រូបភី 4.21 ការលែងចូលក្នុងរាង PCB ទូទៅរង IGBT



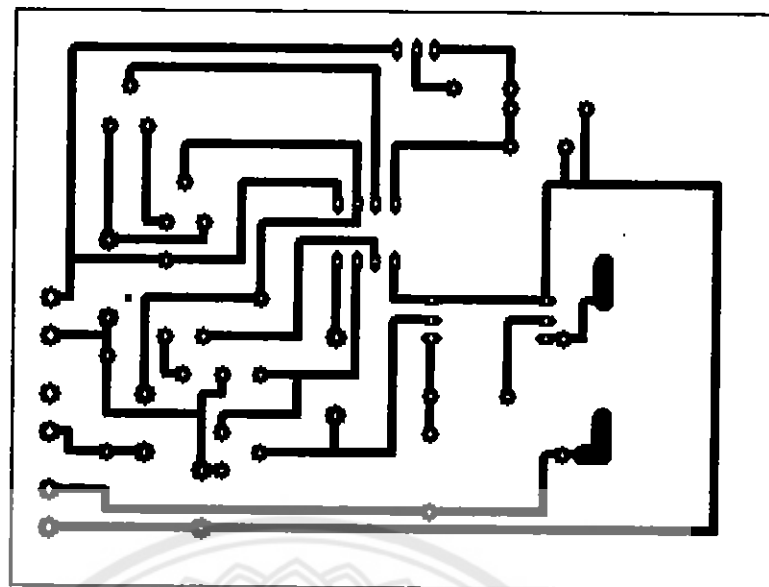
รูปที่ 4.22 วงจรสวิตซ์ IGBT ที่ลงอุปกรณ์เรียบร้อยแล้ว

ชุดวงจรสวิตซ์ IGBT ทำหน้าที่เป็นแหล่งจ่ายไฟฟ้ากระแสสลับ 3 เฟสให้กับมอเตอร์ เนี่ยขานำ 3 เฟสในการทำงานจะรับแรงดันไฟฟ้ากระแสตรงแล้วนำมาทำการแปลงเป็นไฟฟ้ากระแสสลับ 3 เฟสที่สามารถปรับเปลี่ยนความถี่ของแรงดันไฟฟ้า 3 เฟสได้โดยใช้อุปกรณ์ IGBT เมอร์ GT60M303Q จำนวน 6 ตัว เป็นชุดสวิตซิ่ง

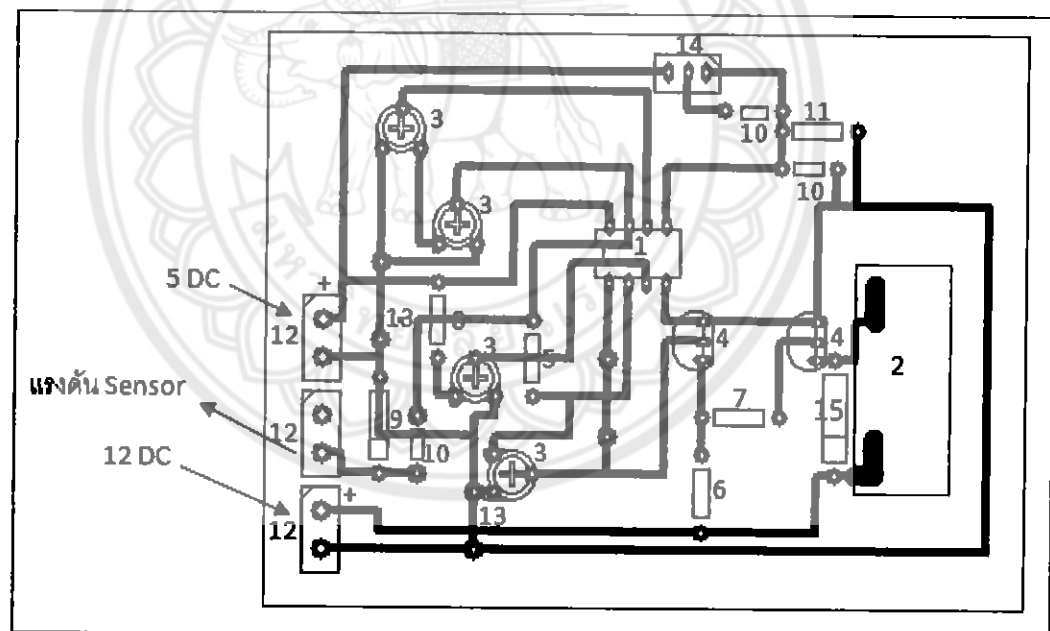
#### 4.2.6 วงจร Sensor



รูปที่ 4.23 วงจร Sensor



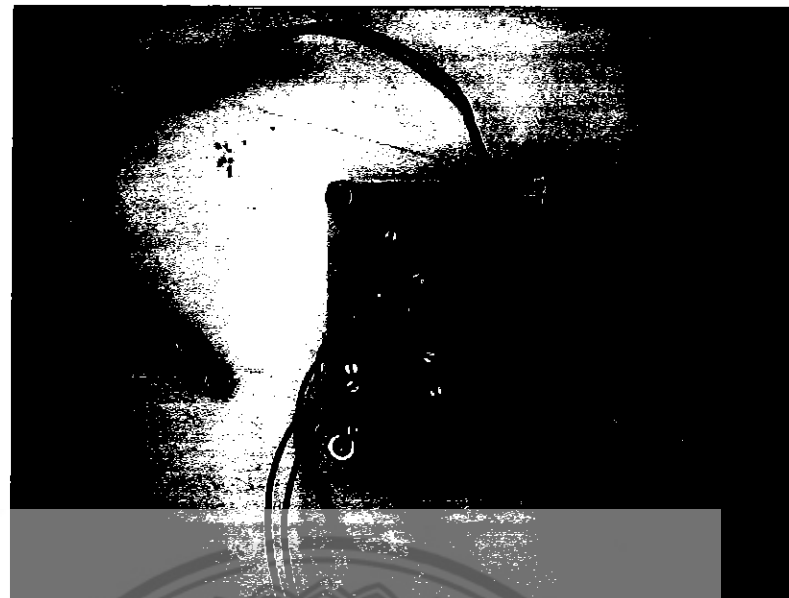
รูปที่ 4.24 ลายวงจร PCB ของ Sensor



รูปที่ 4.25 การลงอุปกรณ์บนลายวงจร PCB ของ Sensor

ตารางที่ 4.6 อุปกรณ์ที่ใช้ในวงจรไฟเลี้ยง วงจร Sensor

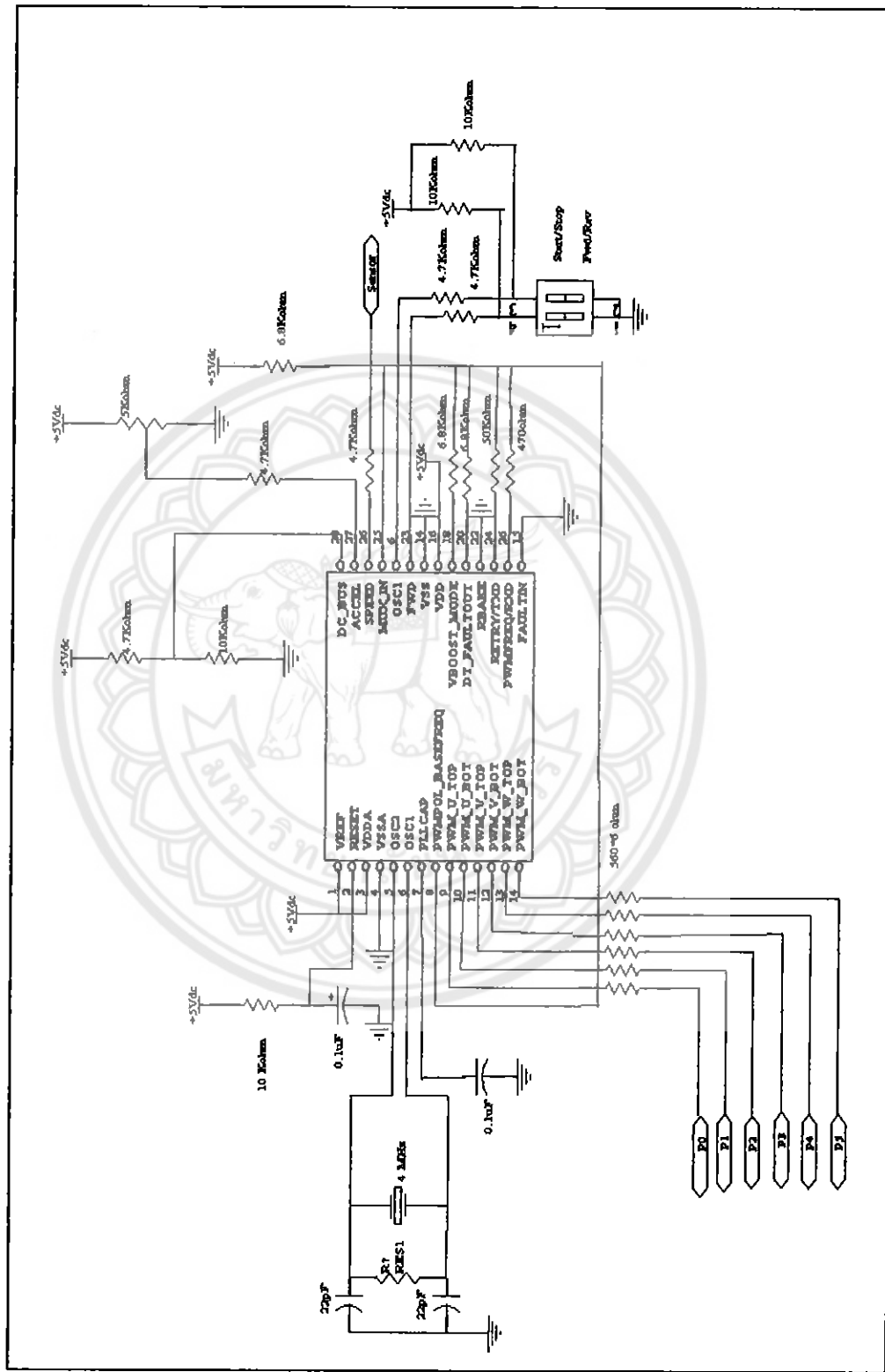
เบอร์อุปกรณ์บนวงจร PCB	รายการ	จำนวน
1	Op-Amp LM358	1 ตัว
2	RELAY 12V 20A	1 ตัว
3	R Trim Pot 5K $\Omega$	1 ตัว
4	ทรานซิสเตอร์	1 ตัว
5	R 10 $\Omega$	4 ตัว
6	R 10K $\Omega$	1 ตัว
7	R 6.8K $\Omega$	1 ตัว
8	R 200 $\Omega$	1 ตัว
9	ซีเนอยร์ไดโอด 2 V	1 ตัว
10	R error 1%	3 ตัว
11	R 150 $\Omega$	1 ตัว
12	เทอร์มินัลขัน 2 ขา	3 ตัว
13	สายไฟ	3 เส้น
14	เซ็นเซอร์ LM35DZ	1 ตัว
15	ไดโอด in4001	1 ตัว
	Print circuit board	1 แผ่น



รูปที่ 4.26 ว่าง Sensor ที่ลงอุปกรณ์เรียบร้อย

การปรับอัตรายาของวงจร Op-amp ตัวที่1จะขยายแรงดันที่รับจาก Sensor ที่ อุณหภูมิ50 องศาเซลเซียสแรงดันจาก Sensor มีค่า500mVจะต้องใช้ Op-amp ตัวที่1ขยายสัญญาณให้ได้ค่า 1.95Vเพื่อแรงดันไฟฟ้ามเฟสที่จ่ายให้กับมอเตอร์หนึ่งขวนำไฟฟามีค่าความถี่เท่ากับ 50Hz และการ ตั้งค่าแรงดันเปรียบเทียบที่ข้างบนของ Op-amp ตัวที่2จะตั้งค่าไว้ที่ 0.78V เพื่อให้เลด์ตัวคงกระถาง ที่20 องศาเซลเซียส

#### 4.2.6 ၃၉၀၃ Control



រូបទី 4.27 ၃၉၀၃ Control

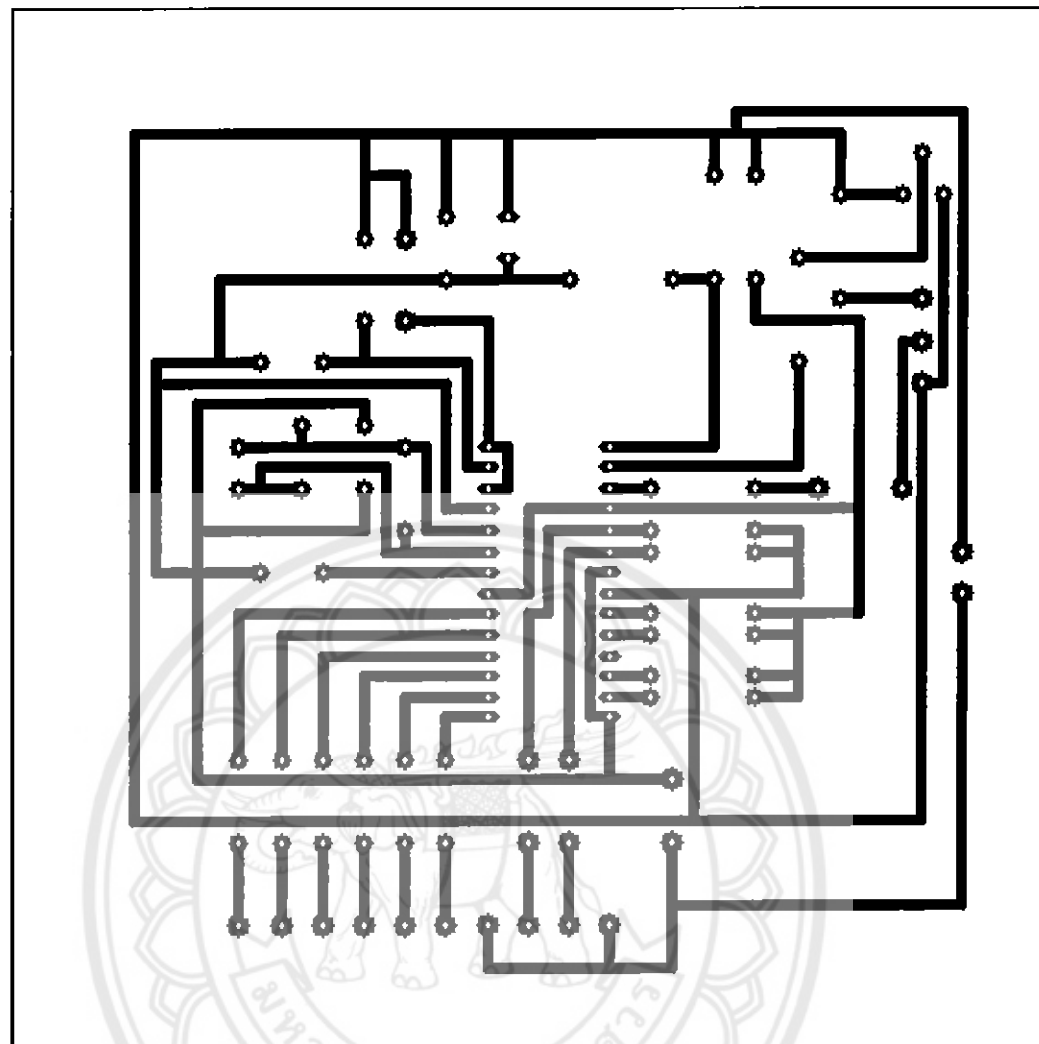
### อธิบายวงจร Control

ค่าของ DC\_BUS (ขา 28) ต้องใช้แรงดันที่ 3.85 V เนื่องจากการกำหนดจาก DATA SHEET การลดหรือเพิ่มความเร็วและความร่าง ใช้การปรับแรงดันที่ขา ACCEL (ขา 27) เพื่อปรับความเร็ว และขา SPEED (ขา 26) เพื่อการปรับความเร็ว โดยจะต้องต่อความต้านทาน อนุกรม ไว้ก่อนเข้าไอซี ด้วยเพื่อจำกัดกระแสที่จะเข้าไอซี ค่าของ MUX\_IN ใช้เลือกค่าความถี่ของ PWM ว่าต้องการความถี่เท่าใด ก็ให้กำหนดแรงดันเข้าที่ขา MUX\_IN (ขา 25)

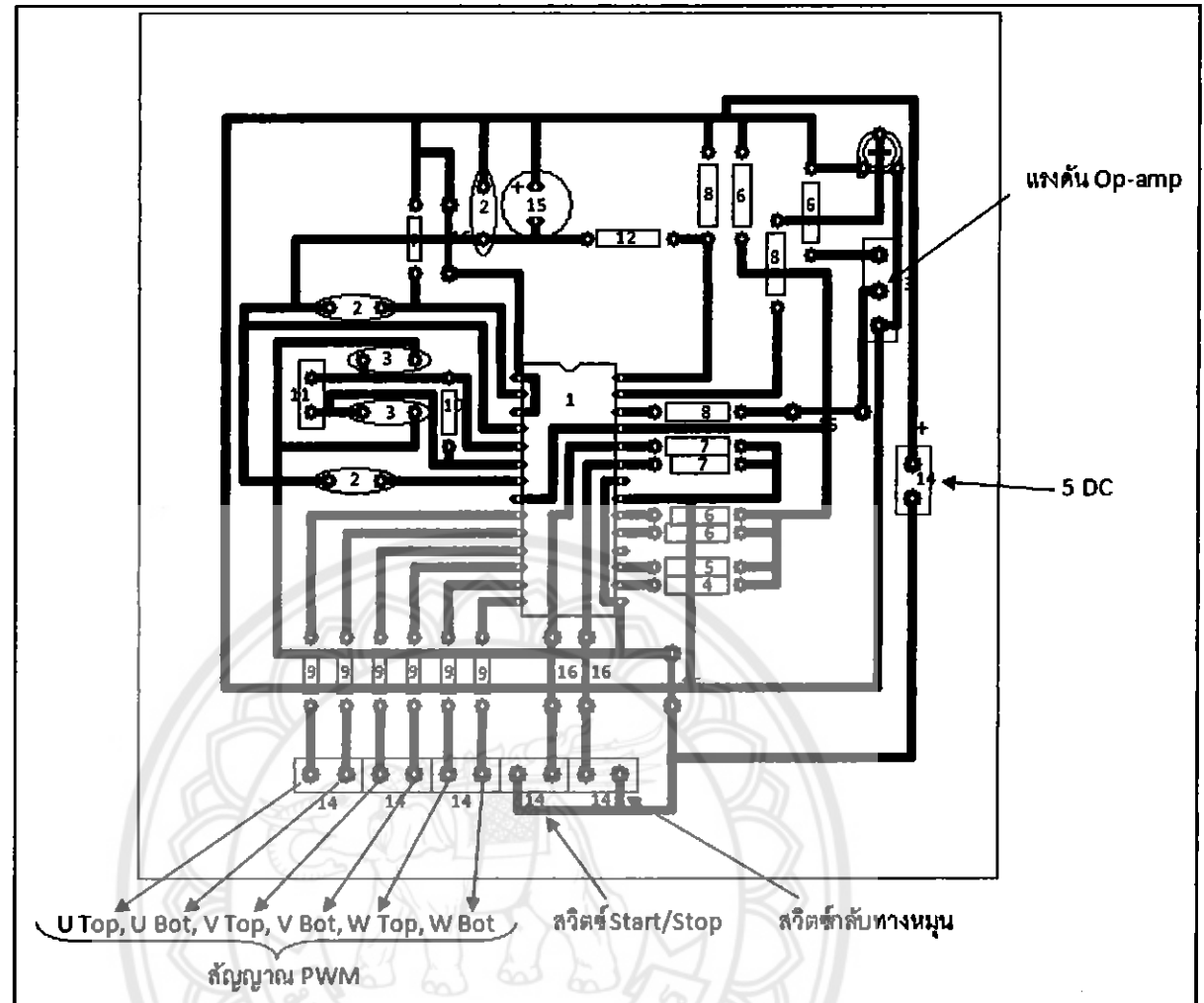
ขา START (ขา 24) และ FWD (ขา 23) เป็นขาที่ใช้ในการเปิดหรือปิด และหากควบคุม ทิศทางตามคำสั่ง โดยการทำงานจะทำงานเมื่อเป็น 0 V และในตอนเริ่มการใช้งานจะจะต้อง Off switch ก่อนทุกครั้งที่จะป้อนไฟเข้าวงจร เมื่อป้อนไฟเข้าวงจรแล้วจึงค่อยทำการ On switch ส่วนขา FWD ก็จะใช้ในการเลือกทิศทางของมอเตอร์ในกรณีที่ใช้ในการควบคุมมอเตอร์ 3 เฟส ว่าต้องการที่ จะให้มุนไปหน้าหรือมุนกลับหลัง การต่อวงจรก็จะใช้ความต้านทานปรับค่าได้ เพื่อทำการปรับ ความเร็วและความร่าง จากนั้นก็ใช้ความต้านทาน เพื่อจำกัดกระแสก่อนที่จะเข้าไอซี MC3PHAC

ขา VBOOT\_MODE (ขา 20) เป็นขาที่ใช้เลือกความถี่ในการเริ่มต้นขับมอเตอร์ในขณะที่ไม่มีแรงดันตกค้างอยู่ภายในมอเตอร์ หรือในตอนที่ START มอเตอร์ สามารถเลือกได้ 0 – 40 % โดย ใช้ค่าความต้านทานดังตารางที่ 3.3 ขา DT\_FAULTOUT (ขา 19) เป็นขาที่ใช้ในการเลือกค่า DATE TIME โดยใช้ค่าความต้านทานดังตารางที่ 3.4 ขา RETRY/TXD (ขา 18) ใช้ในการกำหนดเวลาใน การเริ่มต้นใหม่เมื่อเกิดข้อผิดพลาด หรือวงจรมีความขัดข้อง โดยใช้ค่าความต้านทานตามตารางที่ 3.5

ขา FAULTIN (ขา 15) เป็นขาที่ใช้รับสัญญาณการเตือนหรือข้อผิดพลาดจากวงจรอื่นเข้า แล้วจะไปทำการสั่งให้ขา BREAK ทำงาน แต่เนื่องจากวงจรที่ออกแบบนั้นไม่ได้ใช้ในส่วนนี้จึงต่อ ลง กราวด์ ไว้ ขา PWMPOL\_BASEFREQ เป็นขาที่ใช้กำหนดความถี่พื้นฐาน สามารถเลือกได้ 4 แบบ ดังตารางที่ 3.2 การใช้งานคือหากต้องการใช้ความถี่เท่าใดก็ให้ต่อขา PWMPOL\_BASEFREQ กับขาที่แสดงดังตาราง เช่นต้องการความถี่ 50 Hz ก็ให้ต่อขา PWMPOL\_BASEFREQ กับ MUX\_IN



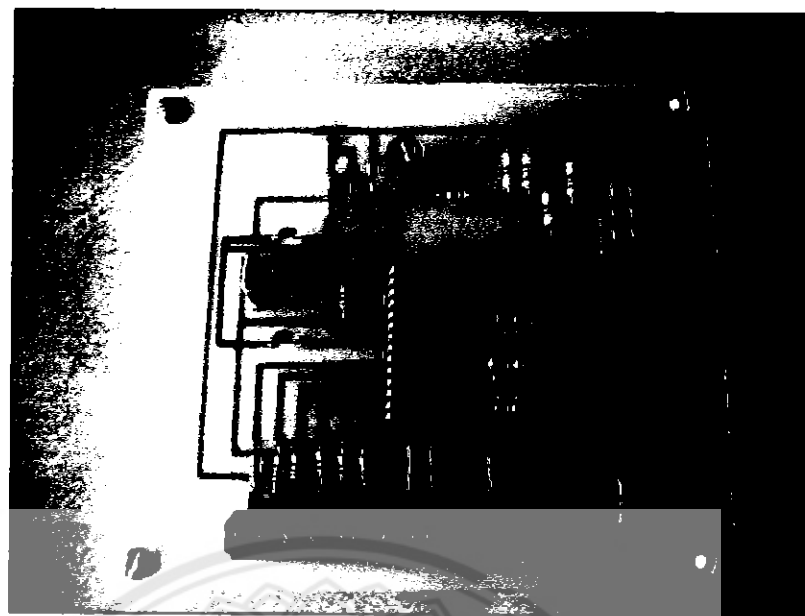
รูปที่ 4.28 ลายงาน PCB วงจร Control



รูปที่ 4.29 การลงอุปกรณ์บนลายวงจร PCB วงจร Control

**ตารางที่ 4.7 อุปกรณ์ที่ใช้ในวงจรไฟเดี่ยง วงจร Control**

เบอร์อุปกรณ์บนวงจร PCB	รายการ	จำนวน
1	IC-MC3PHAC	1 ตัว
2	C 0.1 $\mu$ F	3 ตัว
3	C 0.22 $\mu$ F	2 ตัว
4	R 470 $\Omega$	1 ตัว
5	R 50K $\Omega$	1 ตัว
6	R 6.8K $\Omega$	4 ตัว
7	R 10K $\Omega$	3 ตัว
8	R 4.7K $\Omega$	3 ตัว
9	R 560 $\Omega$	6 ตัว
10	R 10M $\Omega$	1 ตัว
11	คริสตอล 4 MHz	1 ตัว
12	R 150 $\Omega$	1 ตัว
13	เทอร์มินัล 3 ขา	1 ตัว
14	เทอร์มินัล 2 ขา	6 ตัว
15	C 100 $\mu$ F 16V Electrolyte	1 ตัว
16	สายไฟ	5 เส้น
17	R Trim pot 5K $\Omega$	1 ตัว
	Print circuit board	1 แผ่น

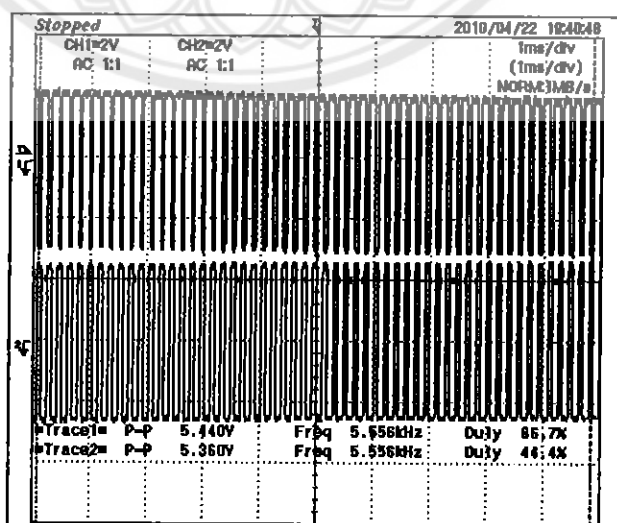


#### รูปที่ 4.29 วงจร Control ที่ลงอุปกรณ์เรียบร้อยแล้ว

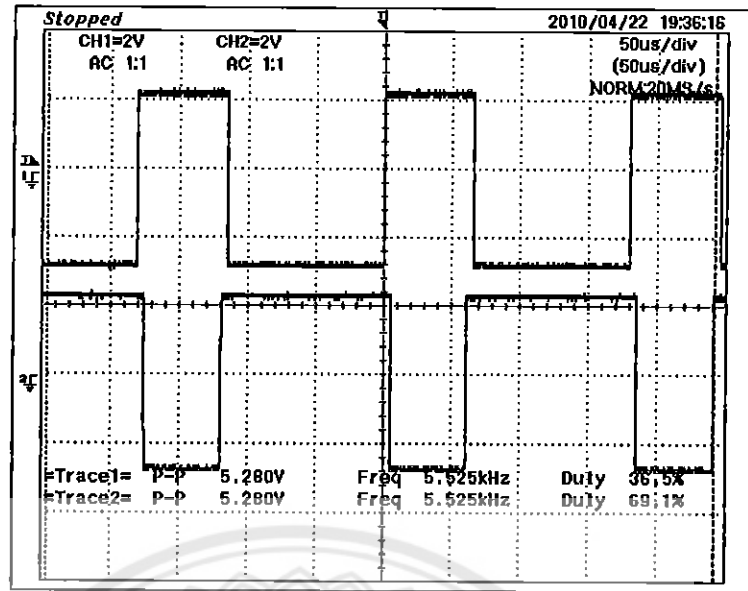
#### 4.3 မေတ္တနရရှိခြင်း

ตั้งค่า PWM Polarity เป็นลบ และ Base Frequency เท่ากับ 50 Hz ค่า Voltage Boost กำหนดที่ 20% ค่า Dead Time กำหนดที่ 5.2 $\mu$ s ค่า Retry Time กำหนดที่ 52 Sec และค่า PWM Frequency กำหนดที่ 5.556 KHz โดยใช้ความถี่ของคริสตอลที่ 4 MHz

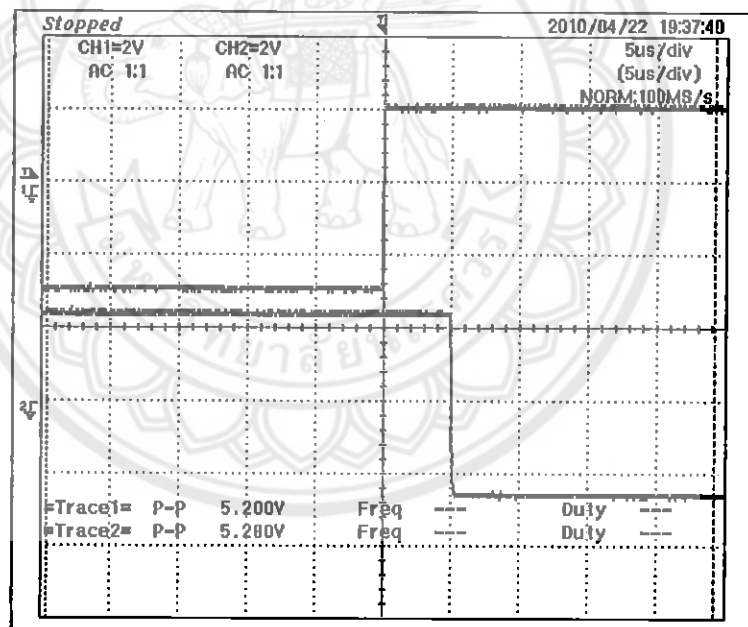
ຮູບສ້ວງງາມເພື່ອ U



รูปที่ 4.30 รูปสัญญาณ PWM ที่ U\_TOP และ U\_BOT

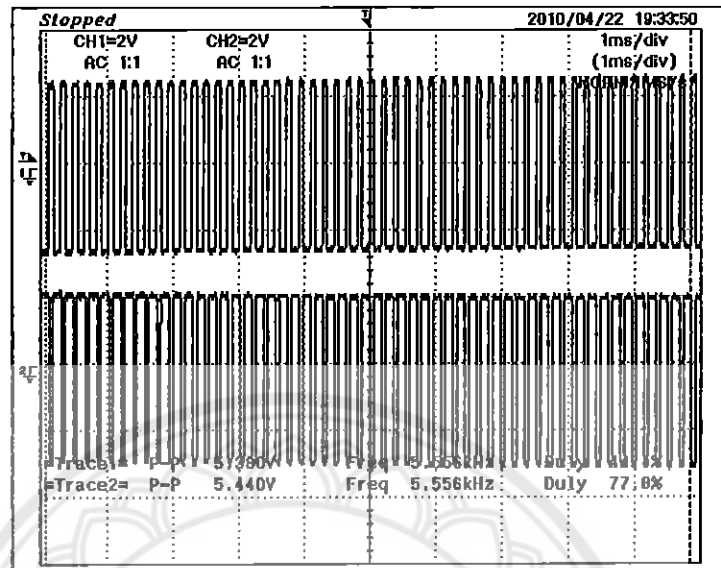


รูปที่ 4.31 แสดงความถี่การสวิตซ์สัญญาณ PWM ที่ U\_TOP และ U\_BOT

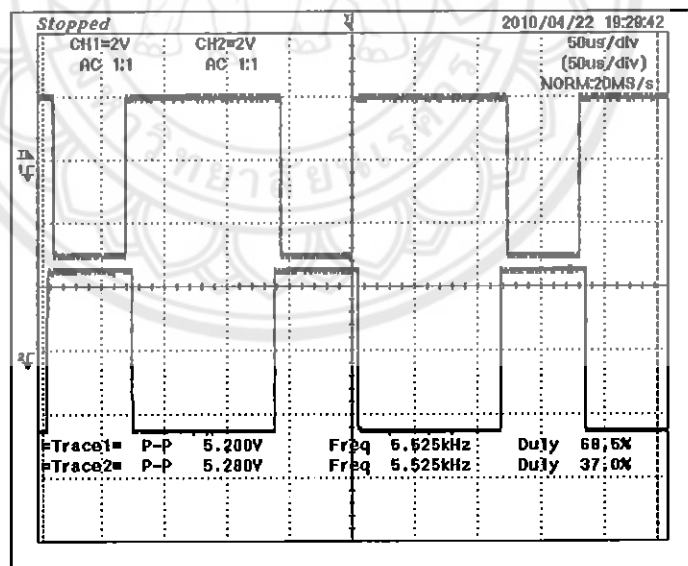


รูปที่ 4.32 รูปสัญญาณ PWM ที่ U\_TOP และ U\_BOT ค่า Dead Time กำหนดที่ 5.2μs

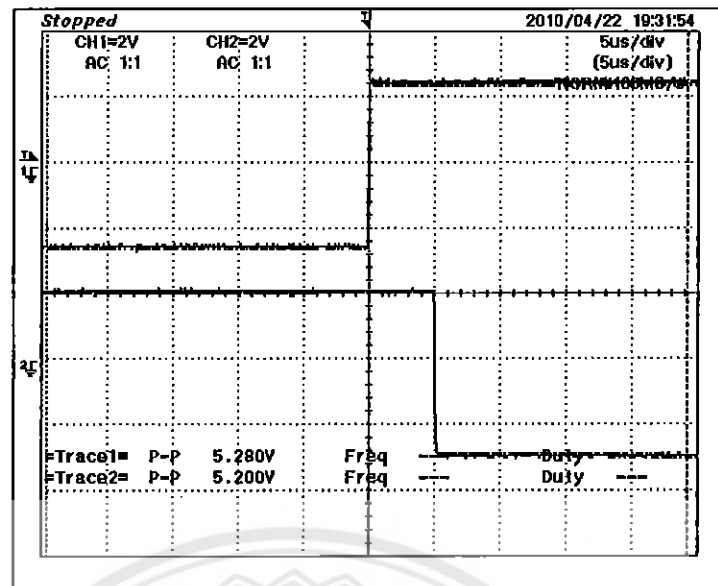
### รูปสัญญาณไฟส V



รูปที่ 4.33 รูปสัญญาณ PWM ที่ V\_TOP และ V\_BOT

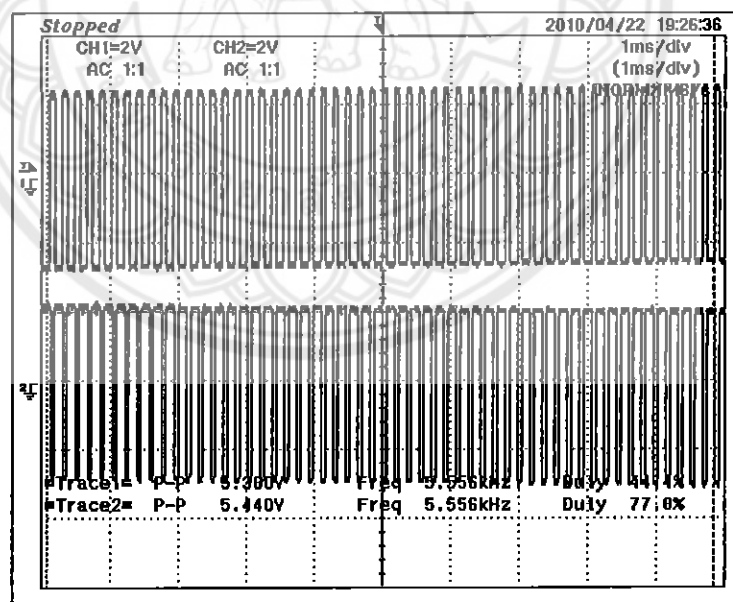


รูปที่ 4.34 แสดงความถี่การสวิตช์สัญญาณ PWM ที่ V\_TOP และ V\_BOT

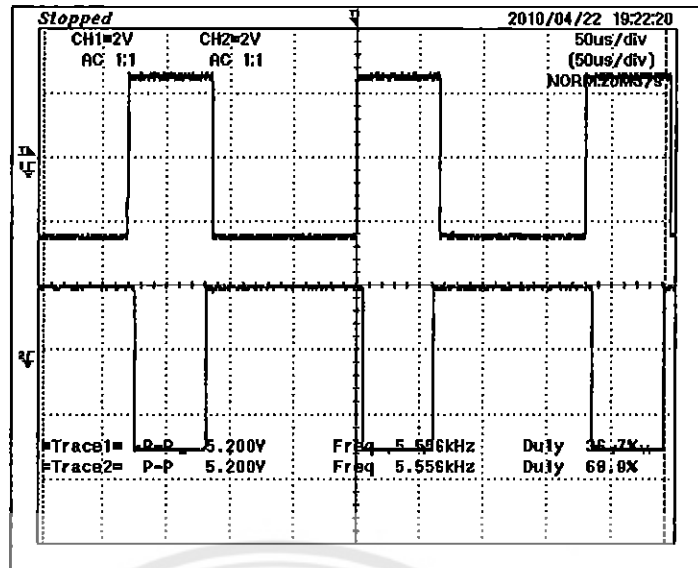


รูปที่ 4.35 รูปสัญญาณ PWM ที่ V\_TOP และ V\_BOT ค่า Dead Time กำหนดที่ 5.2μs

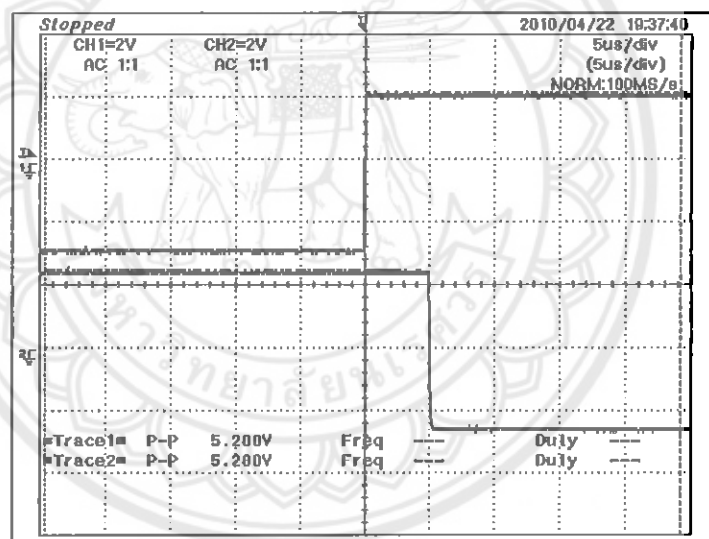
รูปสัญญาณเฟส W



รูปที่ 4.36 รูปสัญญาณ PWM ที่ W\_TOP และ W\_BOT

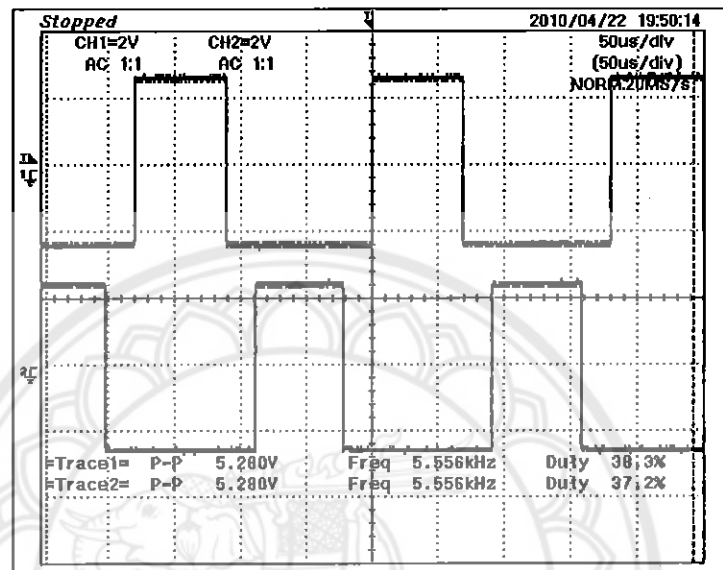


รูปที่ 4.37 แสดงความถี่การสวิตซ์สัญญาณ PWM ที่ W\_TOP และ W\_BOT

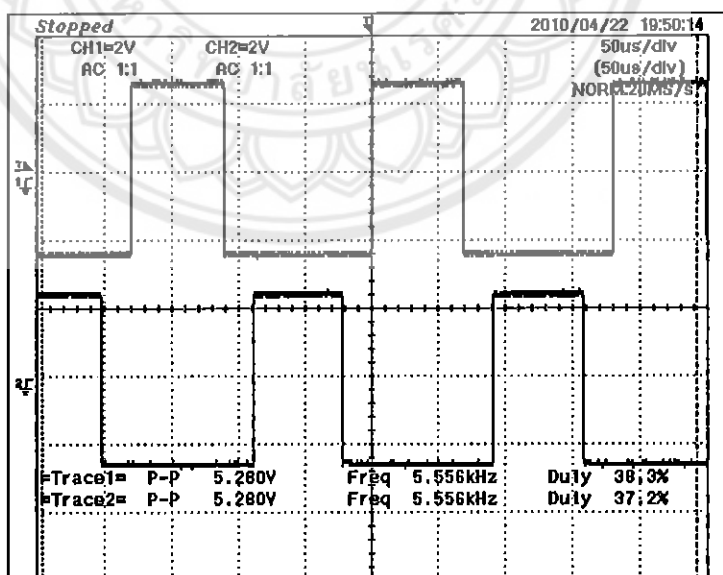


รูปที่ 4.38 รูปสัญญาณ PWM ที่ W\_TOP และ W\_BOT ค่า Dead Time กำหนดที่ 5.2μs

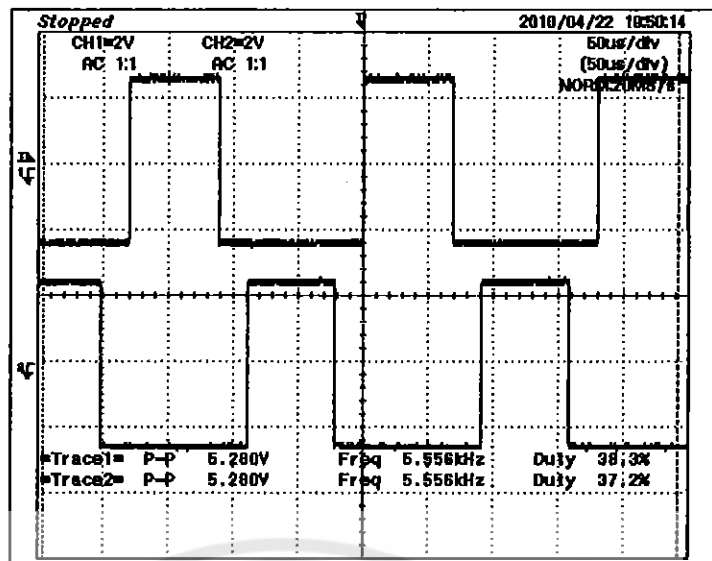
เมื่อเทียบสัญญาณแต่ละเฟสสัญญาณ PWM Polarity เป็นลบ และ Base Frequency เท่ากับ 50 Hz ค่า Voltage Boost กำหนดที่ 20% ค่า Dead Time กำหนดที่ 5.2 $\mu$ s ค่า Retry Time กำหนดที่ 52 Sec และค่า PWM Frequency กำหนดที่ 5.556 KHz โดยใช้ความถี่ของคริสตอลที่ 4 MHz



รูปที่ 4.39 เมื่อเทียบรูปสัญญาณ PWM ที่ U\_TOP และ V\_BOT

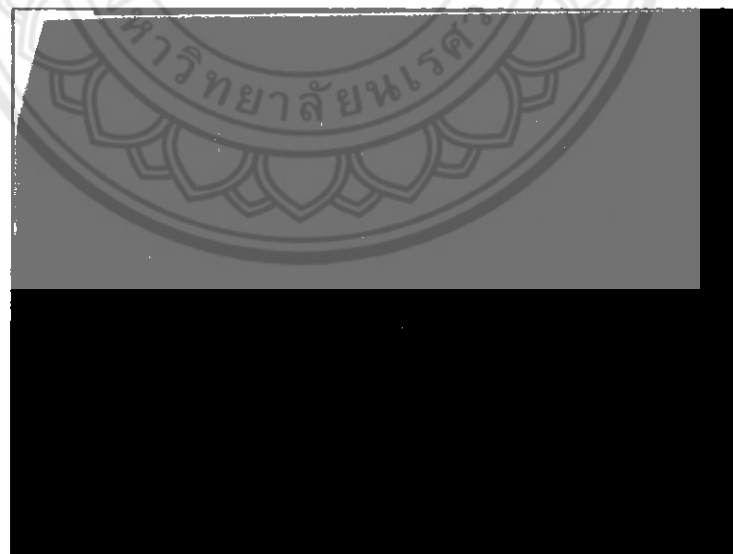


รูปที่ 4.40 เมื่อเทียบรูปสัญญาณ PWM ที่ U\_TOP และ W\_BOT



รูปที่ 4.41 เปรียบเทียบรูปสัญญาณ PWM ที่ V\_TOP และ W\_BOT

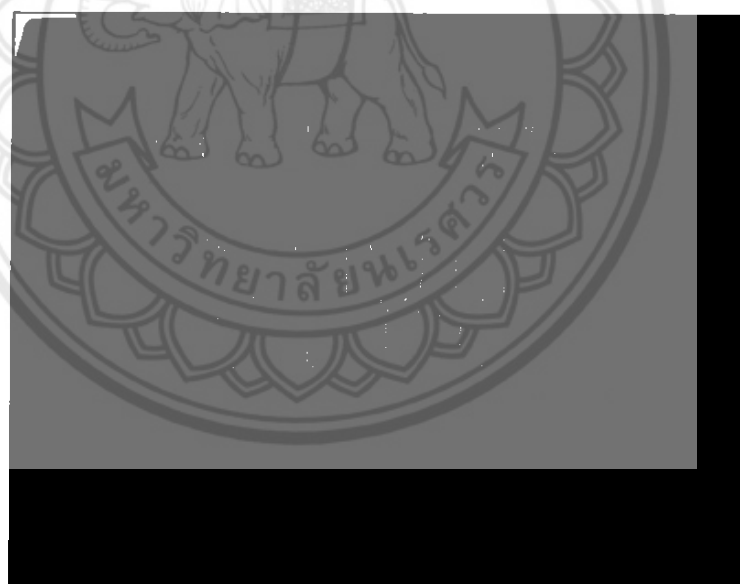
สัญญาณ Out put แรงดันสายที่ B และ X เมื่ออุณหภูมิเปลี่ยนแปลงความถี่ของสัญญาณ Out put จะเปลี่ยนแปลงตามอุณหภูมิโดยการเปลี่ยนแปลงของความถี่จะเป็นอัตราส่วนกันระหว่าง แรงดันกับความถี่เพื่อให้ค่า Torque มีค่าคงที่ ขณะต่อในล็อก ที่อุณหภูมิต่างๆความถี่มีค่าดังนี้ C  
 $20^{\circ}\text{C} = 20\text{Hz}$ ,  $30^{\circ}\text{C} = 30\text{Hz}$ ,  $40^{\circ}\text{C} = 40\text{Hz}$ ,  $50^{\circ}\text{C} = 50\text{Hz}$



รูปที่ 4.42 สัญญาณ Out put แรงดันสายที่เฟส U กับเฟส V ที่อุณหภูมิ  $20^{\circ}\text{C}$



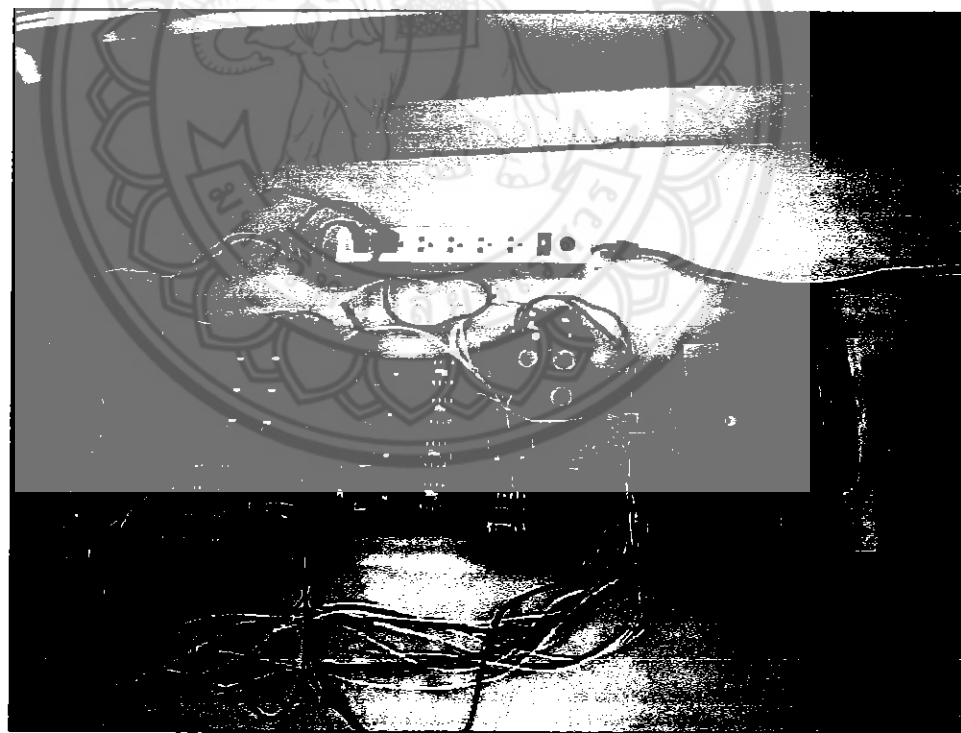
รูปที่ 4.43 สัญญาณ Out put แรงดันสาบที่ไฟส์ U กับไฟส์ V ที่อุณหภูมิ  $30^{\circ}\text{C}$



รูปที่ 4.44 สัญญาณ Out put แรงดันสาบที่ไฟส์ U กับไฟส์ V ที่อุณหภูมิ  $40^{\circ}\text{C}$



รูปที่ 4.45 สัญญาณ Out put แรงดันสาขาระบบไฟฟ้า B กับไฟฟ้า V ที่อุณหภูมิ 50 °C



รูปที่ 4.46 รูปต่อวงจรทั้งหมดเข้าด้วยกันเพื่อทำการทดลอง Drive motors และเก็บผลการทดลอง

หมายเหตุ มอเตอร์หนึ่งขวบนำ 3 เฟสที่ใช้ในการทดลองมีค่าดังนี้ 220/380 V, I 1.1 A, PF 0.76 Hp 0.37 KW ผลการทดลองได้ดังตาราง

ตารางที่ 4.8 แสดงค่าที่วัดได้จากมอเตอร์หนึ่งขวบนำ 3 เฟสชนิดต่ออินเวอร์เตอร์ ที่ No Load

T (°C)	Speed ( rpm)	Vrms (V)	Irms (A)	P (Kw)
20	683	132.4	0.382	0.066
25	737	138.7	0.387	0.072
30	881	152.8	0.391	0.078
35	1064	169.3	0.396	0.088
40	1185	186.7	0.402	0.098
45	1300	208.4	0.41	0.112
50	1490	221.1	0.423	0.121

ตารางที่ 4.9 แสดงค่าที่วัดได้จากมอเตอร์หนึ่งขวบนำ 3 เฟสชนิดต่อต่ออินเวอร์เตอร์ ที่ Load 20%, Tq 0.5 NM

T (°C)	Speed ( rpm)	Vrms (V)	Irms (A)	P (KW)
20	667	130.5	0.452	0.077
25	732	137.2	0.51	0.092
30	844	146.5	0.522	0.101
35	1042	166.3	0.538	0.117
40	1174	177.3	0.543	0.126
45	1226	196.4	0.548	0.141
50	1340	219.1	0.56	0.158

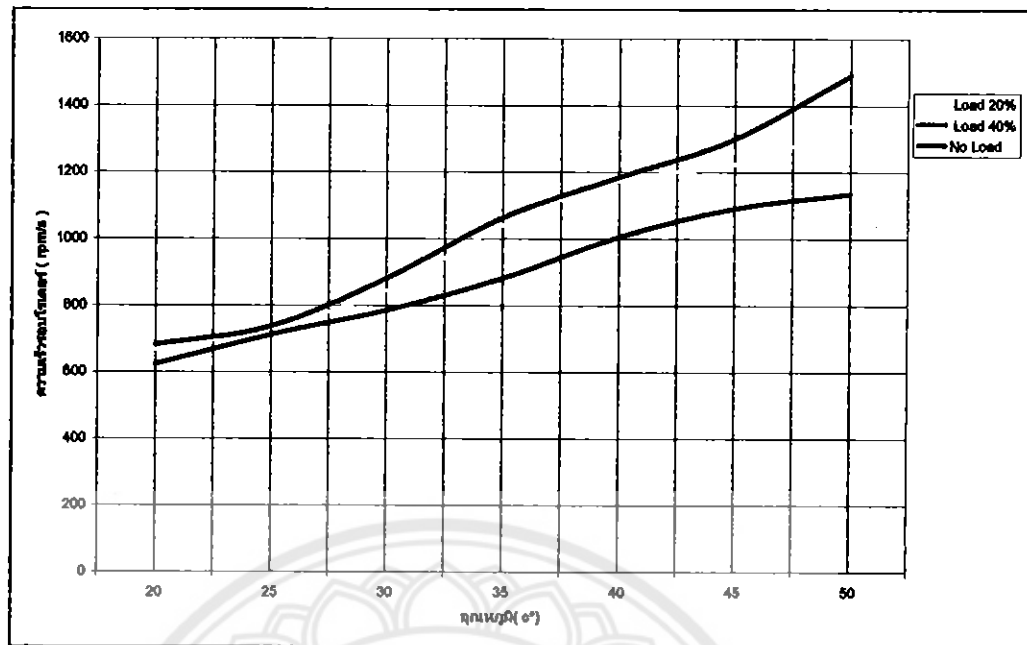
ตารางที่ 4.10 แสดงค่าที่วัดได้จากมอเตอร์เหนี่ยวนำ 3 เฟสขั้นตอนต่อต่ออินเวอร์เตอร์ที่ Load 40%,  
Tq 1 NM

T (°C)	Speed ( rpm)	Vrms (V)	Irms (A)	P (KW)
20	624	129.6	0.584	0.1
25	712	134.3	0.593	0.104
30	785	141.6	0.598	0.111
35	882	155.1	0.609	0.124
40	1006	168	0.616	0.136
45	1091	190	0.621	0.155
50	1135	217.5	0.63	0.174

ตารางที่ 4.11 ไม่ต่ออินเวอร์เตอร์ Tq 0.5 NM, Tq 1 NM

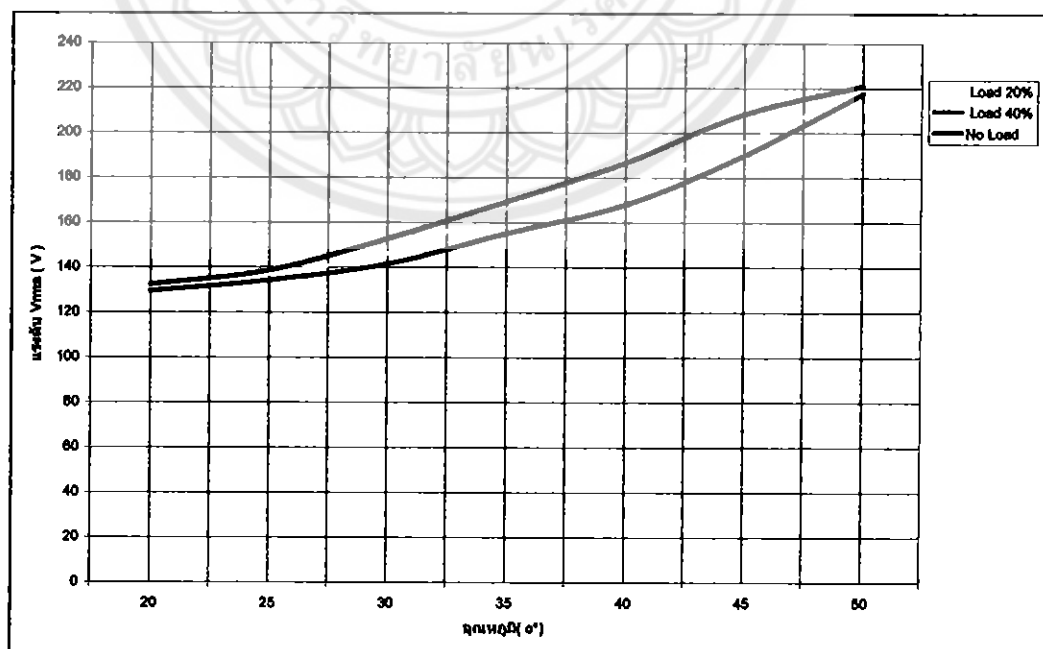
Load	Speed	Vrms	Irms	P(KW)
20%	1410	219	0.527	0.152
40%	1380	219	0.582	0.168

จากตารางผลการทดลองการควบคุมความเร็วของมอเตอร์เหนี่ยวนำ 3 เฟส สามารถพิสูจน์ว่า  
ความสัมพันธ์ได้ดังนี้



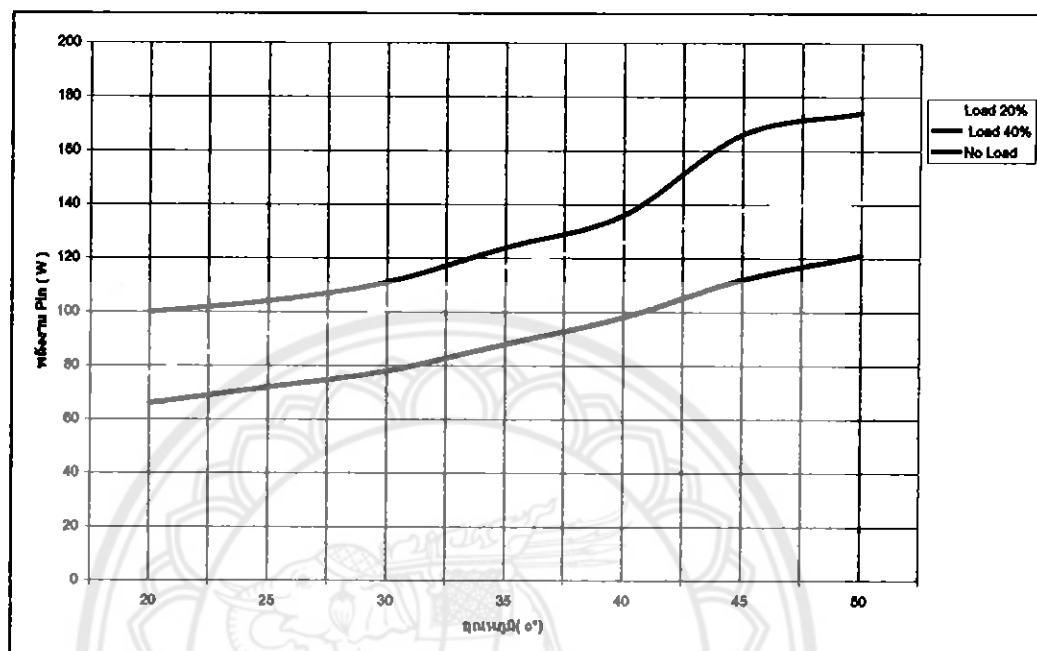
รูปที่ 4.47 ความสัมพันธ์ของความเร็วโรเตอร์กับอุณหภูมิ ที่เฟส B และเฟส V

จากรูป 4.39 จะเห็นได้ว่าความเร็วของโรเตอร์จะเพิ่มขึ้นเมื่ออุณหภูมิเพิ่มขึ้นและที่อุณหภูมิเท่ากันของค่าโหลดที่ต่างกันความเร็วของโรเตอร์ก็จะต่างกัน โดยที่ถ้าค่าโหลดเพิ่มขึ้นความเร็วของโรเตอร์จะลดลง



รูปที่ 4.48 ความสัมพันธ์ของแรงดันกับอุณหภูมิที่เฟส B และเฟส V

จากรูป 4.40 จะเห็นได้ว่าค่าของแรงดันที่จ่ายให้กับมอเตอร์เหนือขวนำ 3 เฟสจะเพิ่มขึ้นเมื่อ อุณหภูมิเพิ่มขึ้นและที่อุณหภูมิเท่ากันของค่าโหลดที่ต่างกันค่าของแรงดันที่จ่ายให้กับมอเตอร์ เหนือขวนำ 3 เฟสก็จะต่างกันโดยที่ถ้าค่าโหลดเพิ่มขึ้นค่าของแรงดันจะลดลง



รูปที่ 4.49 ความสัมพันธ์ของพลังงานที่จ่ายให้กับมอเตอร์กับอุณหภูมิที่เฟส B และเฟส V

จากรูป 4.41 จะเห็นได้ว่าพลังงานที่จ่ายให้กับมอเตอร์เหนือขวนำ 3 เฟสจะเพิ่มขึ้นเมื่อ อุณหภูมิเพิ่มขึ้นและที่อุณหภูมิเท่ากันพลังงานที่จ่ายให้กับมอเตอร์เหนือขวนำ 3 เฟสก็จะต่างกันโดยที่ ถ้าค่าโหลดเพิ่มขึ้นพลังงานที่จ่ายให้กับมอเตอร์เหนือขวนำ 3 เฟสก็จะเพิ่มขึ้น

## บทที่ 5

### บทสรุป

ในบทนี้จะเป็นการสรุปผลที่ได้จากการทดลองในโครงการนี้ พร้อมเสนอแนวทางในการนำโครงการนี้ไปพัฒนาให้มีประสิทธิภาพมากยิ่งขึ้นต่อไปในอนาคต

#### 5.1 สรุปผลการทดลอง

ในโครงการนี้ได้ออกแบบวงจรินิเวอร์เตอร์ขั้บมอเตอร์เห็นได้ชัดว่ากระแสสัมภาระ 3 เฟส ขนาด 370W โดยใช้แหล่งจ่ายไฟ 1 เฟส สามารถปรับความเร็วรอบได้ตามการเปลี่ยนแปลงอุณหภูมิโดยสามารถปรับความเร็วรอบได้ตั้งแต่ 624 - 1490 รอบต่อนาที ที่อุณหภูมิ 20-50 องศาเซลเซียส ใช้ชีบเซอร์เป็นตัวตรวจสอบอุณหภูมิสั่งให้ IC MC3PHAC จะสร้างสัญญาณ PWM จำนวน 6 สัญญาณ ควบคุมการปิดเปิดของ IGBT เพื่อสร้างสัญญาณ 3 เฟสสำหรับจ่ายให้มอเตอร์เห็นได้ชัด การปรับความเร็วรอบจะใช้ทฤษฎีการปรับอัตราส่วนแรงดันต่อความถี่สัญญาณ PWM มีความถี่ 5.556KHz ที่ความถี่ของคริสตอลที่ 4 MHz สัญญาณ PWM ทั้ง 6 สัญญาณจะถูกนำมาไปขับ IGBT จำนวน 6 ตัวเพื่อป้องกันการทำงานพร้อมกันในเฟสเดียวกัน (Shoot Through) Dead Time 5.2  $\mu$ s

#### ปัญหาในการทำงานและแนวทางการแก้ไข

##### 1. สัญญาณที่ออกจาก IC TLP250 ผิดเพี้ยน

สาเหตุ แยกสัญญาณที่ขับ IGBT ในแต่ละเฟส

ผล ทำให้เกิดการลัดวงจรที่วงจร IGBT

วิธีแก้ไข ต้องแยกแหล่งจ่ายไฟดังที่จ่ายให้กับวงจร TPL250

##### 2. IGBT เกิดการเสียหายบ่อย

สาเหตุ สัญญาณที่ใช้ขับ IGBT มีการผิดเพี้ยน

ผล ทำให้ IGBT บางตัวลัดวงจรและไม่สามารถใช้งานได้อีก

วิธีแก้ไข ทำการตรวจสอบสัญญาณก่อนต่อ กับ มอเตอร์

##### 3. เกิดการเสียหายของ IC TLP250

สาเหตุ เกิดการลัดวงจรที่ชุดสวิตซ์ IGBT

ผล IC TLP250 เกิดการเสียหายเนื่องจากกระแสไฟลัดเข้าที่ขา GND

วิธีแก้ไข ใช้ฟิล์มที่มีขนาดหนากระสนenos ของไฟฟ้าเพื่อให้ฟิล์มตัดวงจรได้เร็ว

## 5.2 ประเมินผล

จากการดำเนินโครงการเมื่อเทียบกับวัตถุประสงค์ในการทำโครงการ ได้ผลดังนี้

5.3.1 สามารถทราบถึงหลักการทำงานและโครงสร้างของมอเตอร์ 3 เฟส

5.3.2 สามารถสร้างวงจรอินเวอร์เตอร์ที่ใช้ควบคุมมอเตอร์ 3 เฟสให้ปรับความเร็วตามอุณหภูมิ

5.3.3 สามารถออกแบบวงจรกำลังและวงจรตัดต่อวงจรกำลังได้

5.3.4 การใช้พัดลมของมอเตอร์ 3 เฟสจะลดลง เมื่อความเร็วอบลดลง เมื่อใช้การควบคุมอัตราส่วนแรงคันให้คงที่เพื่อให้ได้ Torque คงที่

## 5.3 แนวทางสำหรับการพัฒนา

การพัฒนา ในการนำไปใช้งานในงานที่ต้องมีการปรับเปลี่ยนความเร็วอบทาขยาค่าเช่น ในระบบเครื่องปรับอากาศแบบอินเวอร์เตอร์ ซึ่งมอเตอร์ก็คือคอมเพรสเซอร์ของเครื่องปรับอากาศ ซึ่งสามารถทำงานได้โดยไม่จำเป็นต้องมีผู้ควบคุมระบบ หรือหากต้องการปรับความถี่ใช้งานให้สูง กว่าความถี่ไฟสลับที่ทำงานปกติก็สามารถทำได้โดยการเพิ่มชุดตรวจวัดความเร็วอบเพื่อวัด ความเร็วของมอเตอร์หนึ่งชิ้น ซึ่งมอเตอร์หนึ่งชิ้นที่ใช้มีความเร็วอบสูงสุดที่ 1500 รอบต่อนาทีที่ 50Hz แต่เราสามารถเพิ่มให้สูงกว่าได้โดยการปรับความถี่ไฟสลับจากชุดอินเวอร์เตอร์ และยัง สามารถนำไปใช้กับงานระบบ Cooling Tower ระบบแอร์น้ำเย็น (Chiller) เพื่อทำให้ระบบปรับ อากาศทำงานใช้อย่างมีประสิทธิภาพ

## เอกสารอ้างอิง

การไฟฟ้าฝ่ายผลิตแห่งประเทศไทย, วารสารเทคโนโลยีประยุกต์พัฒนา. Dynamic MotorLoad Control.

(March,21, 2010), from [http://www2.dede.go.th/bhrd/web\\_display/factory/factory\\_variable.html](http://www2.dede.go.th/bhrd/web_display/factory/factory_variable.html)

ใช้ยันต์ สุวรรณชีวะศิริ.(พฤศจิกายน, 2536).เทคโนโลยี IGBT : ลักษณะการสวิตช์. (March, 21, 2010),

from [http://electronics.se-ed.com/contents/134s129/134s129\\_p09.asp](http://electronics.se-ed.com/contents/134s129/134s129_p09.asp)

ปัญญา ขอด โยวาท,ดร. (2547). เครื่องกลไฟฟ้ากระแสสลับ. กรุงเทพมหานคร : ศูนย์สื่อเสริมกรุงเทพ

วีระเชษฐ์ ขันเงิน,รศ.ดร. และ วุฒิพล ธรรมธีรเศรษฐ์.(2550). อิเล็กทรอนิกส์กำลัง. กรุงเทพมหานคร : ห้าง

หุ่นส่วนจำกัด วีเจ พรินดิ้ง

สุวัตชัย กล้ากิจผล. (February, 4, 2009). หลักการควบคุมความเร็วของเตอร์เหนี่ยว. (March, 10, 2010)

from <http://jskmotor.igetweb.com/index.php?mo=14&newsid=72161>

Nattakit (Luechai) Powichai. (February, 02, 2008). ประเภทของการ starters.(March, 21, 2010)

from <http://www.lpc.rmutl.ac.th/elcen/elearning/motorcontrol/module9/startng.html>

PK kit Circuit. Regulator 5V,6V,9V,12V 1A By IC 7805,7806,7809,7812. (March, 5, 2010), from

<http://www.eleccircuit.com/regulator-5v6v9v12v-1a-by-ic-7805780678097812/>



---

**Freescale Semiconductor  
Data Sheet****MC3PHAC**  
Rev. 2, 7/2005

# MC3PHAC Monolithic Intelligent Motor Controller

---

**Overview**

The MC3PHAC is a high-performance monolithic intelligent motor controller designed specifically to meet the requirements for low-cost, variable-speed, 3-phase ac motor control systems. The device is adaptable and configurable, based on its environment. It contains all of the active functions required to implement the control portion of an open loop, 3-phase ac motor drive.

One of the unique aspects of this device is that although it is adaptable and configurable based on its environment, it does not require any software development. This makes the MC3PHAC a perfect fit for customer applications requiring ac motor control but with limited or no software resources available.

The device features are:

- Volts-per-Hertz speed control
- Digital signal processing (DSP) filtering to enhance speed stability
- 32-bit calculations for high-precision operation
- Internet enabled
- No user software development required for operation
- 6-output pulse-width modulator (PWM)
- 3-phase waveform generation
- 4-channel analog-to-digital converter (ADC)
- User configurable for standalone or hosted operation
- Dynamic bus ripple cancellation
- Selectable PWM polarity and frequency
- Selectable 50/60 Hz base frequency
- Phase-lock loop (PLL) based system oscillator
- Serial communications interface (SCI)
- Low-power supply voltage detection circuit

Included in the MC3PHAC are protective features consisting of dc bus voltage monitoring and a system fault input that will immediately disable the PWM module upon detection of a system fault.

### Overview

Some target applications for the MC3PHAC include:

- Low horsepower HVAC motors
- Home appliances
- Commercial laundry and dishwashers
- Process control
- Pumps and fans

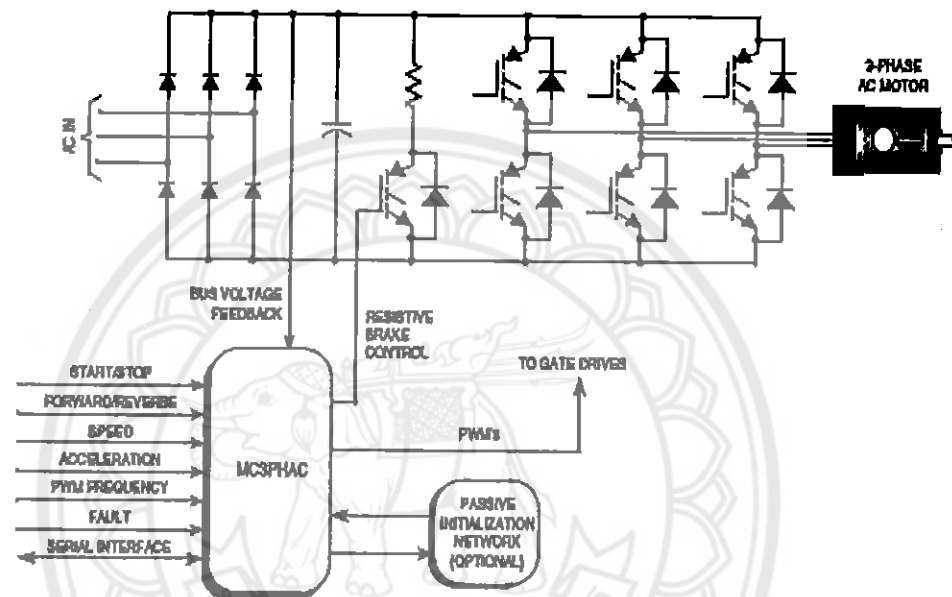


Figure 1. MC3PHAC-Based Motor Control System

As shown in Table 1, the MC3PHAC is offered in these packages:

- Plastic 28-pin dual in-line package (DIP)
- Plastic 28-pin small outline integrated circuit (SOIC)
- Plastic 32-pin quad flat pack (QFP)

Table 1. Ordering Information

Device	Operating Temperature Range	Package
MC3PHACVP	-40°C to +105°C	Plastic 28-pin DIP
MC3PHACVDW	-40°C to +105°C	Plastic 28-pin SOIC
MC3PHACVFA	-40°C to +105°C	Plastic 32-pin QFP

## Overview

See Figure 2 and Figure 3 for the pin connections.

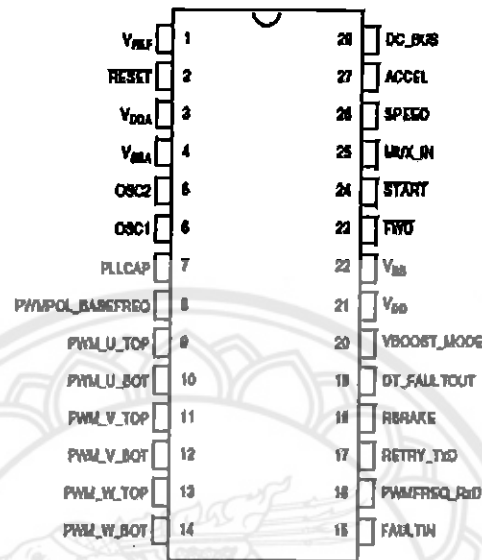


Figure 2. Pin Connections for PDIP and SOIC

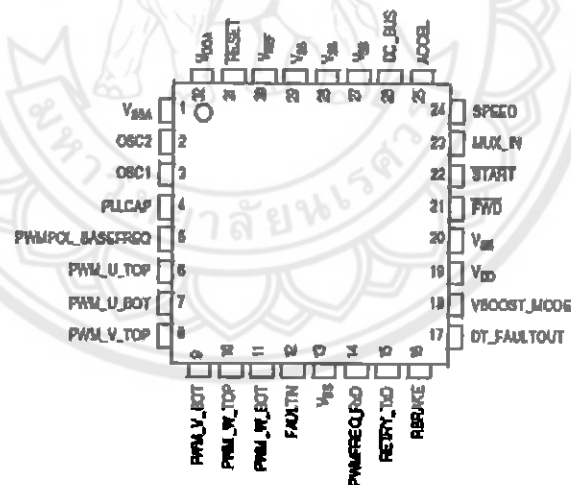


Figure 3. Pin Connections for QFP

## Electrical Characteristics

### Electrical Characteristics

#### Maximum Ratings

Characteristic <sup>(1)</sup>	Symbol	Value	Unit
Supply voltage	V <sub>DD</sub>	-0.3 to +6.0	V
Input voltage	V <sub>IN</sub>	-0.3 to V <sub>DD</sub> +0.3	V
Input high voltage	V <sub>H</sub>	V <sub>DD</sub> + 0.3	V
Maximum current per pin excluding V <sub>DD</sub> and V <sub>SS</sub>	I	± 25	mA
Storage temperature	T <sub>STG</sub>	-55 to +150	°C
Maximum current out of V <sub>SS</sub>	IMV <sub>SS</sub>	100	mA
Maximum current into V <sub>DD</sub>	IMV <sub>DD</sub>	100	mA

1. Voltages referenced to V<sub>SS</sub>

This device contains circuitry to protect the inputs against damage due to high static voltages or electric fields; however, it is advised that normal precautions be taken to avoid application of any voltage higher than maximum-rated voltages to this high-impedance circuit. For proper operation, it is recommended that V<sub>IN</sub> and V<sub>OUT</sub> be constrained to the range V<sub>SS</sub> ≤ (V<sub>IN</sub> or V<sub>OUT</sub>) ≤ V<sub>DD</sub>. Reliability of operation is enhanced if unused inputs are connected to an appropriate logic voltage level (for example, either V<sub>SS</sub> or V<sub>DD</sub>).

#### Functional Operating Range

Characteristic	Symbol	Value	Unit
Operating temperature range (see Table 1)	T <sub>A</sub>	-40°C to +105°C	°C
Operating voltage range	V <sub>DD</sub>	5.0 ± 10%	V

#### Control Timing

Characteristic	Symbol	Value	Unit
Oscillator frequency <sup>(1)</sup>	F <sub>OSC</sub>	4.00 ± 1%	MHz

1. Follow the crystal/resonator manufacturer's recommendations, as the crystal/resonator parameters determine the external component values required for maximum stability and reliable starting. The load capacitance values used in the oscillator circuit design should include all stray capacitances.

**Electrical Characteristics****DC Electrical Characteristics**

<b>Characteristic<sup>(1)</sup></b>	<b>Symbol</b>	<b>Min</b>	<b>Max</b>	<b>Unit</b>
Output high voltage ( $I_{load} = -2.0 \text{ mA}$ ) All I/O pins except RBRAKE	$V_{OH}$	$V_{DD} - 0.8$	—	V
Output high voltage RBRAKE ( $I_{RBRAKE} = -15.0 \text{ mA}$ )	$V_{OHB}$	$V_{DD} - 1.0$	—	V
Output low voltage ( $I_{load} = 1.6 \text{ mA}$ ) All I/O pins except FAULTOUT and RETRY/TxD	$V_{OL}$	—	0.4	V
Output low voltage ( $I_{load} = 15 \text{ mA}$ ) FAULTOUT and RETRY/TxD	$V_{OL1}$	—	1.0	V
Input high voltage All ports	$V_{HI}$	$0.7 \times V_{DD}$	$V_{DD}$	V
Input low voltage All ports	$V_{IL}$	$V_{SS}$	$0.3 \times V_{DD}$	V
$V_{DD}$ supply current	$I_{DD}$	—	60	mA
I/O ports high-impedance leakage current	$I_{IL}$	—	$\pm 5$	$\mu\text{A}$
Input current	$I_{IN}$	—	$\pm 1$	$\mu\text{A}$
Capacitance Ports (as input or output)	$C_{OUT}$ $C_{IN}$	—	12 8	pF
$V_{DD}$ low-voltage inhibit reset	$V_{LVR1}$	3.80	4.3	V
$V_{DD}$ low-voltage reset/recovery hysteresis	$V_{LVH1}$	50	150	mV
$V_{DD}$ power-on reset re-arm voltage	$V_{POR}$	3.85	4.45	V
$V_{DD}$ power-on reset rise time ramp rate	$R_{POA}$	0.035	—	V/ms
Serial communications Interface baud rate	$SCI_{BD}$	9504	9696	Bits/sec
Voltage Boost <sup>(2)</sup>	$V_{Boost}$	0	100	%
Dead time range <sup>(3)</sup>	$DT_{Range}$	0	31.875	$\mu\text{s}$
Retry time <sup>(4)</sup>	$RT_{Time}$	0	4.55	Hours
Acceleration rate	$AC_{Rate}$	0.5	128	Hz/sec
Speed control	SPEED	1	128	Hz
PWM Frequency	$PWM_{FREQ}$	5.291	21.164	kHz
High side power transistor drive pump-up time	$T_{Pump}$	99	101	ms

1.  $V_{DD} = 5.0 \text{ V}_{DD} \pm 10\%$
2. Limited in standalone mode to 0 to 35%
3. Limited in standalone mode to 0.5 to 8.0  $\mu\text{s}$
4. Limited in standalone mode to 0 to ~53 seconds

### Pin Descriptions

### Pin Descriptions

**Table 2** is a pin-by-pin functional description of the MC3PHAC. The pin numbers in the table refer to the 28-pin packages (see Figure 2).

**Table 2. MC3PHAC Pin Descriptions (Sheet 1 of 2)**

Pin Number	Pin Name	Pin Function
1	V <sub>REF</sub>	Reference voltage input for the on-chip ADC. For best signal-to-noise performance, this pin should be tied to V <sub>DPA</sub> (analog).
2	RESET	A logic 0 on this pin forces the MC3PHAC to its initial startup state. All PWM outputs are placed in a high-impedance mode. Reset is a bidirectional pin, allowing a reset of the entire system. It is driven low when an internal reset source is asserted (for example, loss of clock or low V <sub>DD</sub> ).
3	V <sub>DPA</sub>	Provides power for the analog portions of the MC3PHAC, which include the internal clock generation circuit (PLL) and the ADC.
4	V <sub>SSA</sub>	Returns power for the analog portions of the MC3PHAC, which include the internal clock generation circuit (PLL) and the ADC.
5	OSC2	Oscillator output used as part of a crystal or ceramic resonator clock circuit. <sup>(1)</sup>
6	OSC1	Oscillator input used as part of a crystal or ceramic resonator clock circuit. Can also accept a signal from an external canned oscillator. <sup>(1)</sup>
7	PLLCAP	A capacitor from this pin to ground affects the stability and reaction time of the PLL clock circuit. Smaller values result in faster tracking of the reference frequency. Larger values result in better stability. A value of 0.1 µF is typical.
8	PWMPOL_BASEFREQ	Input which is sampled at specific moments during initialization to determine the PWM polarity and the base frequency (50 or 60 Hz).
9	PWM_U_TOP	PWM output signal for the top transistor driving motor phase U.
10	PWM_U_BOT	PWM output signal for the bottom transistor driving motor phase U.
11	PWM_V_TOP	PWM output signal for the top transistor driving motor phase V.
12	PWM_V_BOT	PWM output signal for the bottom transistor driving motor phase V.
13	PWM_W_TOP	PWM output signal for the top transistor driving motor phase W.
14	PWM_W_BOT	PWM output signal for the bottom transistor driving motor phase W.
15	FAULTIN	A logic high on this input will immediately disable the PWM outputs. A retry timeout interval will be initiated once this pin returns to a logic low state.
16	PWMFREQ_FxD	In standalone mode, this pin is an output that drives low to indicate the parameter mux. Input pin is reading an analog voltage to specify the desired PWM frequency. In PC master software mode, this pin is an input which receives UART serial data.

## Pin Descriptions

Table 2. MC3PHAC Pin Descriptions (Sheet 2 of 2)

Pin Number	Pin Name	Pin Function
17	RETRY_TxD	In standalone mode, this pin is an output that drives low to indicate the parameter mux input pin is reading an analog voltage to specify the time to wait after a fault before re-enabling the PWM outputs. In PC master software mode, this pin is an output that transmits UART serial data.
18	RBRAKE	Output which is driven to a logic high whenever the voltage on the dc bus input pin exceeds a preset level, indicating a high bus voltage. This signal is intended to connect a resistor across the dc bus capacitor to prevent excess capacitor voltage.
19	DT_FAULTOUT	In standalone mode, this pin is an output which drives low to indicate the parameter mux input pin is reading an analog voltage to specify the dead-time between the on states of the top and bottom PWM signals for a given motor phase. In PC master software mode, this pin is an output which goes low whenever a fault condition occurs.
20	VBOOST_MODE	At startup, this input is sampled to determine whether to enter standalone mode (logic high) or PC master software mode (logic low). In standalone mode, this pin is also used as an output that drives low to indicate the parameter mux input pin is reading an analog voltage to specify the amount of voltage boost to apply to the motor.
21	V <sub>DD</sub>	+5-volt digital power supply to the MC3PHAC
22	V <sub>SS</sub>	Digital power supply ground return for the MC3PHAC
23	FWD	Input which is sampled to determine whether the motor should rotate in the forward or reverse direction
24	START	Input which is sampled to determine whether the motor should be running.
25	MUX_IN	In standalone mode, during initialization this pin is an output that is used to determine PWM polarity and base frequency. Otherwise, it is an analog input used to read several voltage levels that specify MC3PHAC operating parameters.
26	SPEED	In standalone mode, during initialization this pin is an output that is used to determine PWM polarity and base frequency. Otherwise, it is an analog input used to read a voltage level corresponding to the desired steady-state speed of the motor.
27	ACCEL	In standalone mode, during initialization this pin is an output that is used to determine PWM polarity and base frequency. Otherwise, it is an analog input used to read a voltage level corresponding to the desired acceleration of the motor.
28	DC_BUS	In standalone mode, during initialization this pin is an output that is used to determine PWM polarity and base frequency. Otherwise, it is an analog input used to read a voltage level proportional to the dc bus voltage.

1. Correct timing of the MC3PHAC is based on a 4.00 MHz crystal or ceramic resonator. Follow the crystal/resonator manufacturer's recommendations, as the crystal/resonator parameters determine the external component values required for maximum stability and reliable starting. The load capacitance values used in the oscillator circuit design should include all stray capacitances.

## Introduction

### Introduction

The MC3PHAC is a high-performance intelligent controller designed specifically to meet the requirements for low-cost, variable-speed, 3-phase ac motor control systems. The device is adaptable and configurable, based on its environment. Constructed with high-speed CMOS (complementary metal-oxide semiconductor) technology, the MC3PHAC offers a high degree of performance and ruggedness in the hostile environments often found in motor control systems.

The device consists of:

- 6-output pulse-width modulator (PWM)
- 4-channel analog-to-digital converter (ADC)
- Phase-lock loop (PLL) based system oscillator
- Low-power supply voltage detection circuit
- Serial communications interface (SCI)

The serial communications interface is used in a mode, called PC master software mode, whereby control of the MC3PHAC is from a host or master personal computer executing PC master software or a microcontroller emulating PC master software commands. In either case, control via the Internet is feasible.

Included in the MC3PHAC are protective features consisting of dc bus monitoring and a system fault input that will immediately disable the PWM module upon detection of a system fault.

Included motor control features include:

- Open loop volts/Hertz speed control
- Forward or reverse rotation
- Start/stop motion
- System fault input
- Low-speed voltage boost
- Internal power-on reset (POR)

## Features

**3-Phase Waveform Generation** — The MC3PHAC generates six PWM signals which have been modulated with variable voltage and variable frequency information in order to control a 3-phase ac motor. A third harmonic signal has been superimposed on top of the fundamental motor frequency to achieve full bus voltage utilization. This results in a 15 percent increase in maximum output amplitude compared to pure sine wave modulation.

The waveform is updated at a 5.3 kHz rate (except when the PWM frequency is 15.9 kHz), resulting in near continuous waveform quality. At 15.9 kHz, the waveform is updated at 4.0 kHz.

**DSP Filtering** — A 24-bit IIR digital filter is used on the SPEED input signal in standalone mode, resulting in enhanced speed stability in noisy environments. The sampling period of the filter is 3 ms (except when the PWM frequency is 15.9 kHz) and it mimics the response of a single pole analog filter having a pole at 0.4 Hz. At a PWM frequency of 15.9 kHz, the sampling period is 4 ms and the pole is located at 0.3 Hz.

**Features**

**High Precision Calculations** — Up to 32-bit variable resolution is employed for precision control and smooth performance. For example, the motor speed can be controlled with a resolution of 4 mHz.

**Smooth Voltage Transitions** — When the commanded speed of the motor passes through  $\pm 1$  Hz, the voltage is gently applied or removed depending on the direction of the speed change. This eliminates any pops or surges that may occur, especially under conditions of high-voltage boost at low frequencies.

**High-Side Bootstrapping** — Many motor drive topologies (especially high-voltage drives) use optocouplers to supply the PWM signal to the high-side transistors. Often, the high-side transistor drive circuitry contains a charge pump circuit to create a floating power supply for each high-side transistor that is dependent on low-side PWMs to develop power. When the motor has been off for a period of time, the charge on the high-side power supply capacitor is depleted and must be replenished before proper PWM operation can resume.

To accommodate such topologies, the MC3PHAC will always provide 100 ms of 50 percent PWM drive to only the low-side transistors each time the motor is turned on. Since the top transistors remain off during this time, it has the effect of applying zero volts to the motor, and no motion occurs. After this period, motor waveform modulation begins, with PWM drive also being applied to the high-side transistors.

**Fast Velocity Updating** — During periods when the motor speed is changing, the rate at which the velocity is updated is critical to smooth operation. If these updates occur too infrequently, a ratcheting effect will be exhibited on the motor, which inhibits smooth torque performance. However, velocity profiling is a very calculation intensive operation to perform, which runs contrary to the previous requirement.

In the MC3PHAC, a velocity pipelining technique is employed which allows linear interpolation of the velocity values, resulting in a new velocity value every 189  $\mu$ s (252  $\mu$ s for 15.9 kHz PWMs). The net result is ultra smooth velocity transitions, where each velocity step is not perceivable by the motor.

**Dynamic Bus Ripple Cancellation** — The dc bus voltage is sensed by the MC3PHAC, and any deviations from a predetermined norm (3.5 V on the dc bus input pin) result in corrections to the PWM values to counteract the effect of the bus voltage changes on the motor current. The frequency of this calculation is sufficiently high to permit compensation for line frequency ripple, as well as slower bus voltage changes resulting from regeneration or brown out conditions. See Figure 4.

**Selectable Base Frequency** — Alternating current (ac) motors are designed to accept rated voltage at either 50 or 60 Hz, depending on what region of the world they were designed to be used. The MC3PHAC can accommodate both types of motors by allowing the voltage profile to reach maximum value at either 50 or 60 Hz. This parameter can be specified at initialization in standalone mode, or it can be changed at any time in PC master software mode.

**Selectable PWM Polarity** — The polarity of the PWM outputs may be specified such that a logic high on a PWM output can either be the asserted or negated state of the signal. In standalone mode, this parameter is specified at initialization and applies to all six PWM outputs. In PC master software mode, the polarity of the top PWM signals can be specified separately from the polarity of the bottom PWM signals.

This specification can be done at any time, but once it is done, the polarities are locked and cannot be changed until a reset occurs. Also, any commands from PC master software that would have the effect of enabling PWMs are prevented by the MC3PHAC until the polarity has been specified.

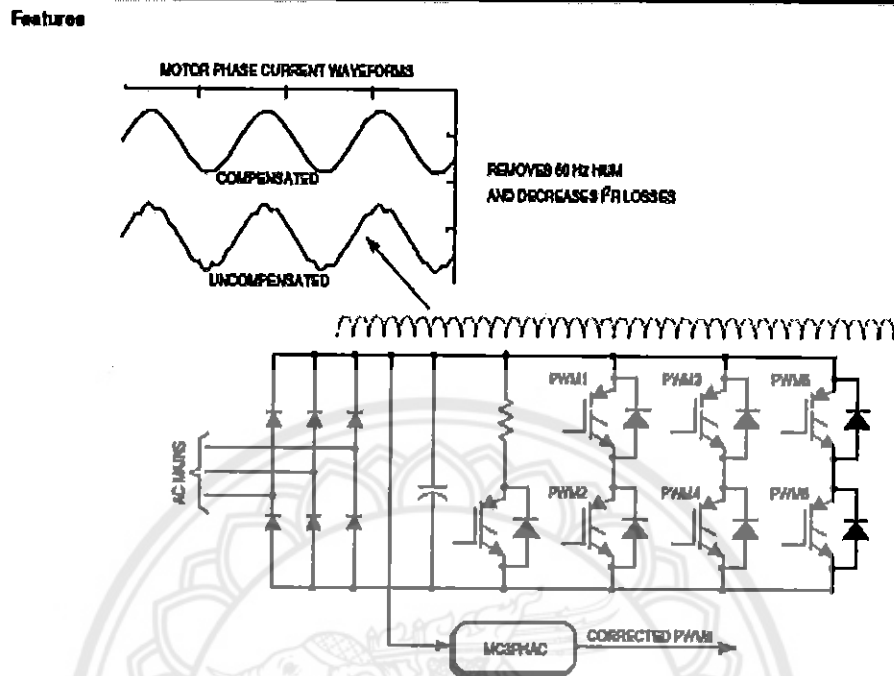


Figure 4. Dynamic Bus Ripple Cancellation

In standalone mode, the base frequency and PWM polarity are specified at the same time during Initialization by connecting either pin 25, 26, 27, or 28 exclusively to the PWMPOL\_BASEFREQ Input. During Initialization, pins 25, 26, 27, and 28 are cycled one at a time to determine which one has been connected to the PWMPOL\_BASEFREQ Input.

Table 3 shows the selected PWM polarity and base frequency as a function of which pin connection is made. Refer to the standalone mode schematic, Figure 8. Only one of these jumpers (JP1–JP4) can be connected at any one time.

#### NOTE

*It is not necessary to break this connection once the initialization phase has been completed. The MC3PHAC will function properly while this connection is in place.*

Table 3. PWM Polarity and Base Frequency Specification in Standalone Mode

Pin Connected to PWMPOL_BASEFREQ Pin	PWM Polarity	Base Frequency
MUX_IN (JP1)	Logic low = on	60 Hz
SPEED (JP2)	Logic high = on	60 Hz
ACCEL (JP3)	Logic low = on	60 Hz
DC_BUS (JP4)	Logic high = on	60 Hz

## Features

**Selectable PWM Frequency** — The MC3PHAC accommodates four discrete PWM frequencies and can be changed dynamically while the motor is running. This resistor can be a potentiometer or a fixed resistor in the range shown in Table 4. In standalone mode, the PWM frequency is specified by applying a voltage to the MUX\_IN pin while the PWMREQ\_RxD pin is being driven low. Table 4 shows the required voltage levels on the MUX\_IN pin and the associated PWM frequency for each voltage range.

**NOTE**

*The PWM frequencies are based on a 4.00 MHz frequency applied to the oscillator input.*

**Table 4. MUX\_IN Resistance Ranges and Corresponding PWM Frequencies**

Voltage Input	PWM Frequency
0 to 1 V	5.291 kHz
1.5 to 2.25 V	10.682 kHz
2.75 to 3.5 V	15.873 kHz
4 to 5 V	21.164 kHz

**Selectable PWM Dead Time** — Besides being able to specify the PWM frequency, the blanking time interval between the on states of the complementary PWM pairs can also be specified. Refer to the graph in Figure 9 for the resistance value versus dead time. Figure 9 assumes a 6.8 kΩ ±5% pullup resistor. In standalone mode, this is done by

supplying a voltage to the MUX\_IN pin while the DT\_FAULTOUT pin is being driven low. In this way, dead time can be specified with a scaling factor of 2.075 μs per volt, with a minimum value of 0.5 μs. In PC master software mode, this value can be selected to be anywhere between 0 and 32 μs.

In both standalone and PC master software modes, the dead time value can be written only once. Further updates of this parameter are locked out until a reset condition occurs.

**Speed Control** — The synchronous motor frequency can be specified in real time to be any value from 1 Hz to 128 Hz by the voltage applied to the SPEED pin. The scaling factor is 25.6 Hz per volt. This parameter can also be controlled directly from PC master software in real time.

The SPEED pin is processed by a 24-bit digital filter to enhance the speed stability in noisy environments. This filter is only activated in standalone mode.

**Acceleration Control** — Motor acceleration can be specified in real time to be in the range from 0.5 Hz/second, ranging to 128 Hz/second, by the voltage applied to the ACCEL pin. The scaling factor is 25.6 Hz/second per volt. This parameter can also be controlled directly from PC master software in real time.

**Voltage Profile Generation** — The MC3PHAC controls the motor voltage in proportion to the specified frequency, as indicated in Figure 5.

An ac motor is designed to draw a specified amount of magnetizing current when supplied with rated voltage at the base frequency. As the frequency decreases, assuming no stator losses, the voltage must decrease in exact proportion to maintain the required magnetizing current. In reality, as the frequency decreases, the voltage drop in the series stator resistance increases in proportion to the voltage across the magnetizing inductance. This has the effect of further reducing the voltage across the magnetizing inductor, and consequently, the magnetizing current. A schematic representation of this effect is

### Features

Illustrated in Figure 6. To compensate for this voltage loss, the voltage profile is boosted over the normal voltage curve in Figure 5, so that the magnetizing current remains constant over the speed range.

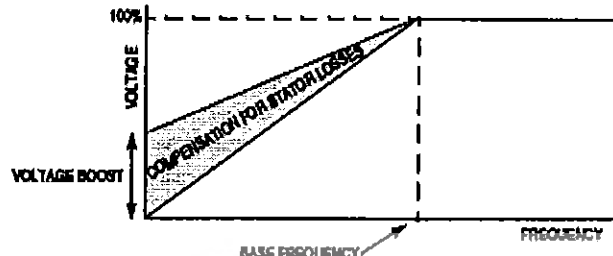


Figure 5. Voltage Profiling, Including Voltage Boost

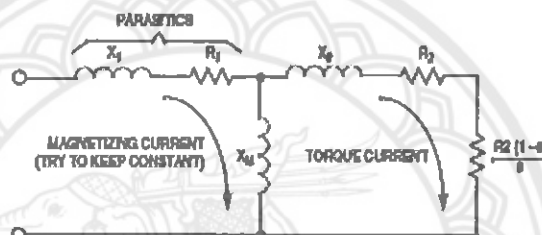


Figure 6. AC Motor Single Phase Model Showing Parasitic Stator Impedances

The MC3PHAC allows the voltage boost to be specified as a percentage of full voltage at 0 Hz, as shown in Figure 5. In standalone mode, voltage boost is specified during the initialization phase by supplying a voltage to the MUX\_IN pin while the VBOOST\_MODE pin is being driven low. Refer to the graph in Figure 11 for the resistance value versus voltage boost. Figure 11 assumes a 6.8 k $\Omega$  pullup resistor. In this way, voltage boost can be specified from 0 to 40 percent, with a scaling factor of 8 percent per volt. In PC master software mode, the voltage boost can be specified from 0 to 100 percent and can be changed at anytime.

By using the voltage boost value, and the specified base frequency, the MC3PHAC has all the information required to generate a voltage profile automatically based on the generated waveform frequency. An additional feature exists in PC master software mode whereby this voltage value can be overridden and controlled in real time. Specifying a voltage lower than the normal volts-per-hertz profile permits a softer torque response in certain ergonomic situations. It also allows for load power factor control and higher operating efficiencies with high inertia loads or other loads where instantaneous changes in torque demand are not permitted. Details of this feature are discussed in the PC Master Software Operation with the MC3PHAC.

**PLL Clock Generation** — The OSC1 pin signal is used as a reference clock for an internal PLL clocking circuit, which is used to drive the internal clocks of the MC3PHAC. This provides excellent protection against noise spikes that may occur on the OSC1 pin. In a clocking circuit that does not incorporate a PLL, a noise spike on the clock input can create a clock edge, which violates the setup times of the clocking

**Features**

logic, and can cause the device to malfunction. The same noise spike applied to the input of a PLL clock circuit is perceived by the PLL as a change in its reference frequency, and the PLL output frequency begins to change in an attempt to lock on to the new frequency. However, before any appreciable change can occur, the spike is gone, and the PLL settles back into the true reference frequency.

**Fault Protection** — The MC3PHAC supports an elaborate range of fault protection and prevention features. If a fault does occur, the MC3PHAC immediately disables the PWMs and waits until the fault condition is cleared before starting a timer to re-enable the PWMs. Refer to the graph in Figure 10 for the resistance value versus retry time. Figure 10 assumes a 6.8 k $\Omega$  pullup resistor. In standalone mode, this timeout interval is specified during the initialization phase by supplying a voltage to the MUX\_IN pin while the RETRY\_TxD pin is being driven low. In this way, the retry time can be specified from 1 to 60 seconds, with a scaling factor of 12 seconds per volt. In PC master software mode, the retry time can be specified from 0.25 second to over 4.5 hours and can be changed at any time.

The fault protection and prevention features are:

- **External Fault Monitoring** — The FAULTIN pin accepts a digital signal that indicates a fault has been detected via external monitoring circuitry. A high level on this input results in the PWMs being immediately disabled. Typical fault conditions might be a dc bus over voltage, bus over current, or over temperature. Once this input returns to a logic low level, the fault retry timer begins running, and PWMs are re-enabled after the programmed timeout value is reached.
- **Lost Clock Protection** — If the signal on the OSC1 pin is lost altogether, the MC3PHAC will immediately disable the PWM outputs to protect the motor and power electronics. This is a special fault condition in that it will also cause the MC3PHAC to be reset. Lost clock detection is an important safety consideration, as many safety regulatory agencies are now requiring a dead crystal test be performed as part of the certification process.
- **Low V<sub>DD</sub> Protection** — Whenever V<sub>DD</sub> falls below V<sub>LVR1</sub>, an on-board power supply monitor will reset the MC3PHAC. This allows the MC3PHAC to operate properly with 5 volt power supplies of either 5 or 10 percent tolerance.
- **Bus Voltage Integrity Monitoring** — The DC\_BUS pin is monitored at a 5.3 kHz frequency (4.0 kHz when the PWM frequency is set to 15.9 kHz), and any voltage reading outside of an acceptable window constitutes a fault condition. In standalone mode, the window thresholds are fixed at 4.47 volts (128 percent of nominal), and 1.75 volts (50 percent of nominal), where nominal is defined to be 3.5 volts. In PC master software mode, both top and bottom window thresholds can be set independently to any value between 0 volts (0 percent of nominal), and greater than 5 volts (143 percent of nominal), and can be changed at any time. Once the DC\_BUS signal level returns to a value within the acceptable window, the fault retry timer begins running, and PWMs are re-enabled after the programmed timeout value is reached.

During power-up, it is possible that V<sub>DD</sub> could reach operating voltage before the dc bus capacitor charges up to its nominal value. When the dc bus integrity is checked, an under voltage would be detected and treated as a fault, with its associated timeout period. To prevent this, the MC3PHAC monitors the dc bus voltage during power-up in standalone mode, and waits until it is higher than the under voltage threshold before continuing. During this time, all MC3PHAC functions are suspended. Once this threshold is reached, the MC3PHAC will continue normally, with any further under voltage conditions treated as a fault.

If dc bus voltage monitoring is not desired, a voltage of 3.5 volts  $\pm$  5 percent should be supplied to the DC\_BUS pin through an impedance of between 4.7 k $\Omega$  and 15 k $\Omega$ .

## Features

- **Regeneration Control** — Regeneration is a process by which stored mechanical energy in the motor and load is transferred back into the drive electronics, usually as a result of an aggressive deceleration operation. In special cases where this process occurs frequently (for example, elevator motor control systems), it is economical to incorporate special features in the motor drive to allow this energy to be supplied back to the ac mains. However, for most low cost ac drives, this energy is stored in the dc bus capacitor by increasing its voltage. If this process is left unchecked, the dc bus voltage can rise to dangerous levels, which can destroy the bus capacitor or the transistors in the power inverter.

The MC3PHAC incorporates two techniques to deal with regeneration before it becomes a problem:

- **Resistive Braking** — The DC\_BUS pin is monitored at a 5.3 kHz frequency (4.0 kHz when the PWM frequency is set to 15.9 kHz), and when the voltage reaches a certain threshold, the RBRAKE pin is driven high. This signal can be used to control a resistive brake placed across the dc bus capacitor, such that mechanical energy from the motor will be dissipated as heat in the resistor versus being stored as voltage on the capacitor. In standalone mode, the DC\_BUS threshold required to assert the RBRAKE signal is fixed at 3.85 volts (110 percent of nominal) where nominal is defined to be 3.5 volts. In PC master software mode, this threshold can be set to any value between 0 volts (0 percent of nominal) and greater than 5 volts (143 percent of nominal) and can be changed at any time.
- **Automatic Deceleration Control** — When decelerating the motor, the MC3PHAC attempts to use the specified acceleration value for deceleration as well. If the voltage on the DC\_BUS pin reaches a certain threshold, the MC3PHAC begins to moderate the deceleration as a function of this voltage, as shown in Figure 7. The voltage range on the DC\_BUS pin from when the deceleration begins to decrease, to when it reaches 0, is 0.62 volts. In standalone mode, the DC\_BUS voltage where deceleration begins to decrease is fixed at 3.85 volts (110 percent of nominal) where nominal is defined to be 3.5 volts. In PC master software mode, this threshold can be set to any value between 0 volts (0 percent of nominal) and greater than 5 volts (143 percent of nominal) and can be changed at any time.

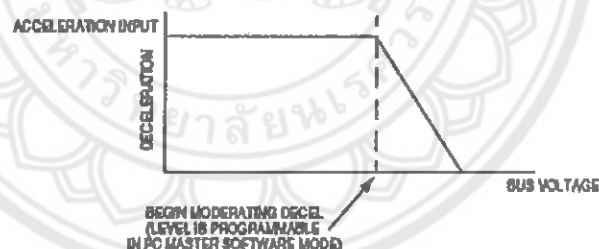


Figure 7. Deceleration as a Function of Bus Voltage

---

### Digital Power Supply Bypassing

#### Digital Power Supply Bypassing

**V<sub>DD</sub>** and **V<sub>SS</sub>** are the digital power supply and ground pins for the MC3PHAC.

Fast signal transitions connected internally on these pins place high, short-duration current demands on the power supply. To prevent noise problems, take special care to provide power supply bypassing at the **V<sub>DD</sub>** and **V<sub>SS</sub>** pins. Place the bypass capacitors as close as possible to the MC3PHAC. Use a high-frequency-response ceramic capacitor, such as a 0.1  $\mu$ F, paralleled with a bulk capacitor in the range of 1  $\mu$ F to 10  $\mu$ F for bypassing the digital power supply.

---

#### Analog Power Supply Bypassing

**V<sub>DDA</sub>** and **V<sub>SSA</sub>** are the power supply pins for the analog portion of the clock generator and analog-to-digital converter (ADC). On the schematics in this document, analog ground is labeled with an A and other grounds are digital grounds. Analog power is labeled as +5 A. It is good practice to isolate the analog and digital +5 volt power supplies by using a small inductor or a low value resistor less than 5 ohms in series with the digital power supply, to create the +5 A supply. ADC **V<sub>REF</sub>** is the power supply pin used for setting the ADC's voltage reference.

Decoupling of these pins should be per the digital power supply bypassing, described previously. ADC **V<sub>REF</sub>** (pin 1) and **V<sub>DDA</sub>** (pin 3) shall be connected together and connected to the same potential as **V<sub>DD</sub>**.

---

#### Grounding Considerations

Printed circuit board layout is an important design consideration. In particular, ground planes and how grounds are tied together influence noise immunity. To maximize noise immunity, it is important to get a good ground plane under the MC3PHAC. It is also important to separate analog and digital grounds. That is why, shown on the schematics, there are two ground designations, analog ground is marked with an A and other grounds are digital grounds. GND is the digital ground plane and power supply return. GNDA is the analog circuit ground. They are both the same reference voltage, but are routed separately, and tie together at only one point.

---

#### Power-Up/Power-Down

When power is applied or removed, it is important that the inverter's top and bottom output transistors in the same phase are not turned on simultaneously. Since logic states are not always defined during power-up, it is important to ensure that all power transistors remain off when the controller's supply voltage is below its normal operating level. The MC3PHAC's PWM module outputs make this easy by switching to a high impedance configuration whenever the 5-volt supply is below its specified minimum.

The user should use pullup or pulldown resistors on the output of the MC3PHAC's PWM outputs to ensure during power-up and power-down, that the inverter's drive inputs are at a known, turned off, state.

## Operation

### Operation

The MC3PHAC motor controller will operate in two modes. The first is standalone operation, whereby the MC3PHAC can be used without any intervention from an external personal computer. In standalone mode, the MC3PHAC is initialized by passive devices connected to the MC3PHAC and input to the system at power-up/reset time. In standalone mode, some parameters continue to be input to the system as it operates. Speed, PWM frequency, bus voltage, and acceleration parameters are input to the system on a real-time basis.

The second mode of operation is called PC master software mode. That operational mode requires the use of a personal computer and PC master software executing on the personal computer, communicating with the MC3PHAC, or a microcontroller emulating PC master software commands. All command and setup information is input to the MC3PHAC via the PC host.

#### Standalone Operation

If the VBOOST\_MODE pin is high when the MC3PHAC is powered up, or after a reset, the MC3PHAC enters standalone mode. In this mode of operation, the functionality of many of the MC3PHAC pins change so that the device can control a motor without requiring setup information from an external master. When operated in standalone mode, the MC3PHAC will drive certain pins corresponding to parameters which must be specified, while simultaneously monitoring the response on other pins.

In many cases, the parameter to be specified is represented as an analog voltage presented to the MUX\_IN pin, while certain other pins are driven low. In so doing, the MC3PHAC can accommodate an external analog mux which will switch various signals on the MUX\_IN pin when the signal select line goes low. All signals must be in a range between 0 V and V<sub>REF</sub>. As an economical alternative, an external passive network can be connected to each of the parameter select output pins and the MUX\_IN pin, as shown in Figure 8.

The Thevenin equivalent impedance of this passive network as seen by the MUX\_IN pin is very important and should be in the range of 5 kΩ to 10 kΩ. If the resistance is too high, leakage current from the input/output (I/O) pins will cause an offset voltage that will affect the accuracy of the reading. If the resistance is too low, the parameter select pins will not be able to sink the required current for an accurate reading. Using a pullup resistor value of 6.8 kΩ (as indicated in Figure 8), the resulting value for each parameter as a function of the corresponding pulldown resistor value is shown in Figure 9, Figure 10, Figure 11, and Table 4.

The START input pin is debounced internally and a switch can be directly accommodated on this pin. The input is level sensitive, but a logic 1 level must exist on the pin before a logic 0 level will be processed as a start signal. This will prevent an accidental motor startup in the event of the MC3PHAC being powered up, where the switch was left in the start position.

The FWD input pin is debounced internally and can directly accommodate a switch connection. The input is also level sensitive.

Figure 8 shows the jumper arrangement connected to the PWMPOL\_BASEFREQ input pin. For proper operation, one and only one jumper connection can be made at any given time. Table 3 shows the polarity and base frequency selections as a function of the jumper connection.

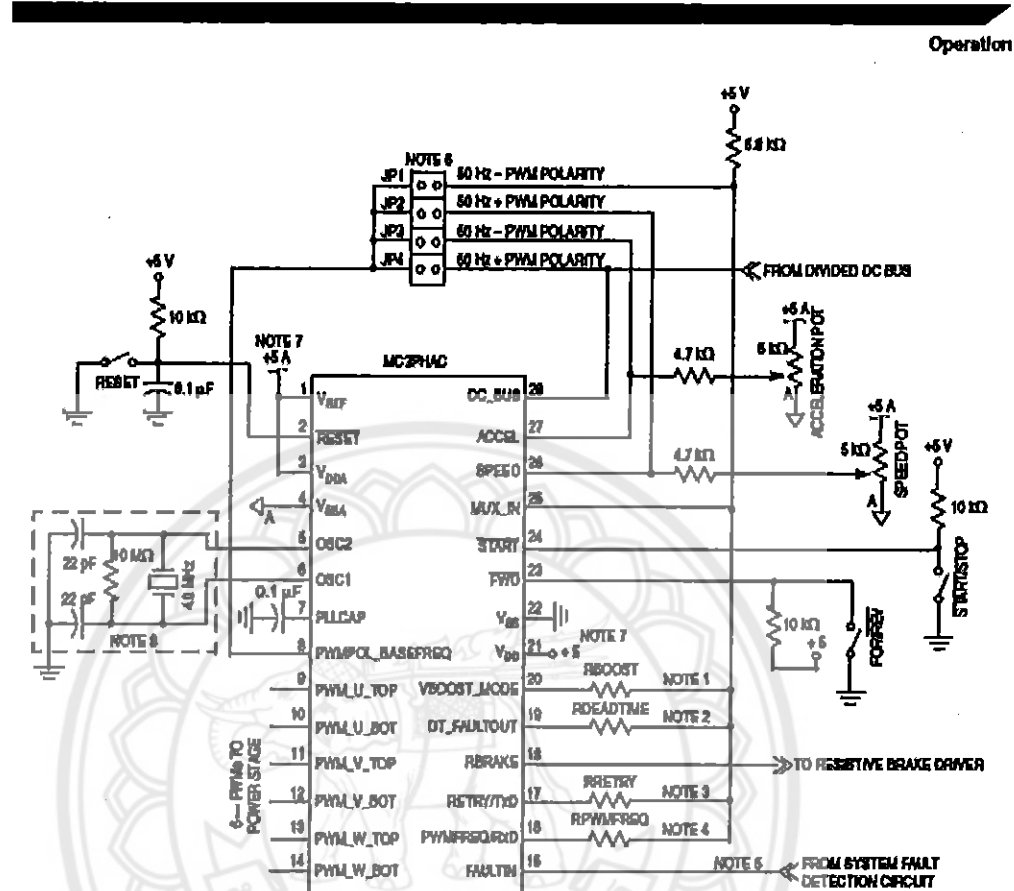


Figure 6. Standalone MC3PHAC Configuration

MC3PHAO Monolithic Intelligent Motor Controller, Rev. 2

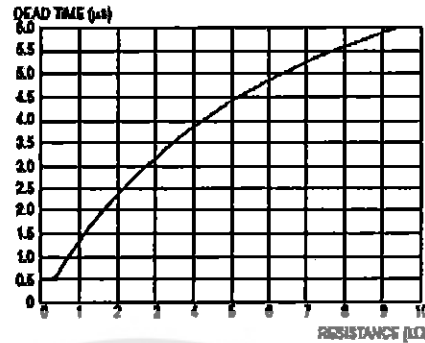
**Operation**

Figure 9. Dead Time as a Function of the RDEADTIME Resistor

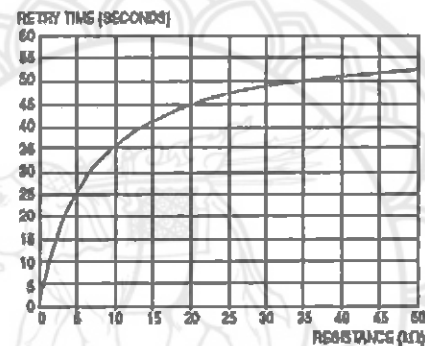


Figure 10. Fault Retry Time as a Function of the RRETRY Resistor

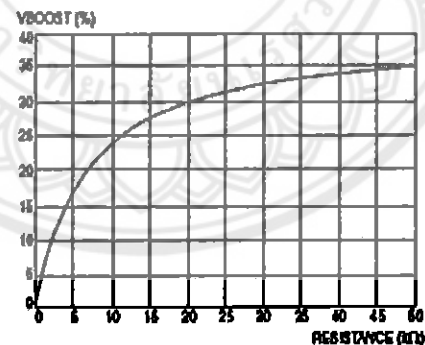


Figure 11. Voltage Boost as a Function of the RBOOST Resistor

**Operation****Standalone Application Example**

**Figure 12 shows an application example of the MC3PHAC, configured in standalone mode. Resistor values and jumpers have been selected to provide the following performance:**

1. **Base frequency of 60 Hz and positive PWM polarity (from Table 3)**
2. **PWM frequency resistor = 3.9 kΩ, which implies 10.582 kHz from Table 4).  $(5V/(3.9k + 6.8k)) * 3.9k = 1.82$  volts**
3. **Dead-time resistor = 5.1 kΩ, which implies 4.5 μs (from Figure 9)**
4. **Fault retry time resistor = 8.2 kΩ, which implies 32.8 seconds (from Figure 10).**
5. **Voltage boost resistor = 12 kΩ, which implies 25.6 percent (from Figure 11).**
6. **The wiper of the acceleration potentiometer is set at 2.5 V = 64 Hz/second acceleration rate (from the Acceleration Control description on page 11.) The potentiometer, in this case, could have been a resistor divider. If a resistor divider is used in place of the acceleration potentiometer, keep the total resistance of the two resistors less than 10 kΩ. Always use 4.7 kΩ in series with the center of the acceleration voltage divider resistors, connected to the ACCEL (pin 27) as shown in the application example, Figure 12.**
7. **Crystal/resonator capacitor values are typical values from the manufacturer. Refer to the manufacturers data for actual values.**

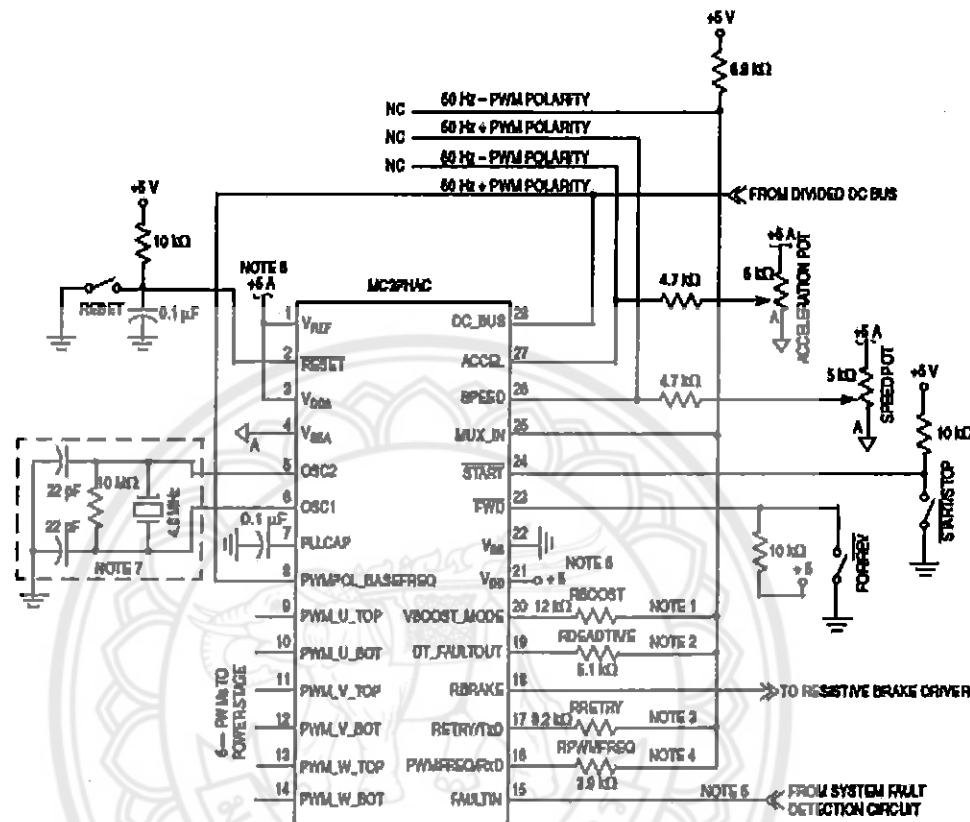
**PC Master Software Operation****Introduction to PC Master Host Software**

The MC3PHAC is compatible with Motorola's PC master host software serial interface protocol. Communication occurs over an on-chip UART, on the MC3PHAC at 9600 baud to an external master device, which may be a microcontroller that also has an integrated UART or a personal computer via a COM port. With PC master software, an external controller can monitor and control all aspects of the MC3PHAC operation.

When the MC3PHAC is placed in PC master software mode, all control of the system is provided through the integrated UART, resident on the MC3PHAC. Inputs such as START, FWD, SPEED, ACCEL, MUX\_IN, and PWMPOL\_BASEFREQ have no controlling influence over operation of the system. Even though the SPEED, START, and FWD inputs are disabled while the system is in PC master software mode, through PC master software, it is possible to monitor the state of those inputs.

The most popular master implementation is a PC, where a graphical user interface (GUI) has been layered on top of the PC master software command protocol, complete with a graphical data display, and an ActiveX interface. Figure 13 shows the MC3PHAC configured in PC master software mode. It is beyond the scope of this document to describe the PC master software protocol or its implementation on a personal computer. For further information on these topics, refer to other Motorola documents relating to the PC master software protocol and availability of PC master host software.

## Operation



## Notes:

1. See Figure 11.
2. See Figure 9.
3. See Figure 10.
4. See Table 4.
5. If no external fault circuit is provided, connect to V<sub>BB</sub>.
6. Use bypass capacitors placed close to the MC3PHAC.
7. Consult crystal/resonator manufacturer for component values.

Figure 12. MC3PHAC Application Example in Standalone Mode

## Operation

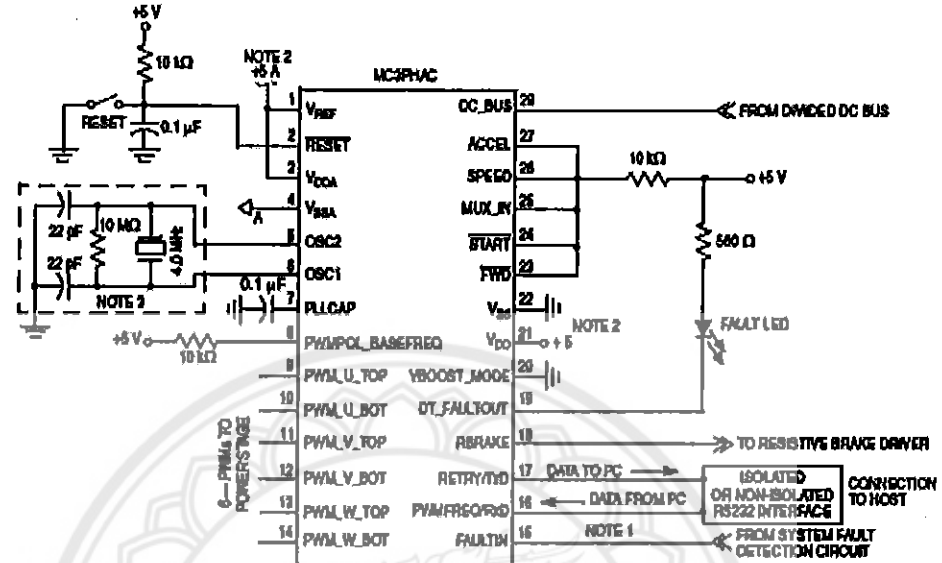


Figure 13. MC3PHAC Configuration for Using a PC as a Master

*PC Master Software Operation with the MC3PHAC*

When power is first applied to the MC3PHAC, or if a logic low level is applied to the **RESET** pin, the MC3PHAC enters PC master software mode if the **VBOOST\_MODE** pin is low during the Initialization phase. The MC3PHAC recognizes a subset of the PC master software command set, which is listed in Table 5.

Table 5. Recognized PC Host Software Commands

Command	Description
<b>GETINFOBRIEF</b>	MC3PHAC responds with brief summary of hardware setup and link configuration information
<b>READVAR8</b>	MC3PHAC reads an 8-bit variable at a specified address and responds with its value
<b>READVAR16</b>	MC3PHAC reads a 16-bit variable at a specified address and responds with its value
<b>READVAR32</b>	MC3PHAC reads a 32-bit variable at a specified address and responds with its value
<b>WRITEVAR8</b>	MC3PHAC writes an 8-bit variable at a specified address
<b>WRITEVAR16</b>	MC3PHAC writes a 16-bit variable at a specified address

With the **READVARx** commands, the addresses are checked for validity, and the command is executed only if the address is within proper limits. In general, a read command with an address value below \$0060 or above \$EE03 will not execute properly, but instead will return an Invalid operation response. An

**Operation**

exception to this rule is that PC master software allows reading locations \$0001, \$0036 and \$FE01, which are PORTB data register, Dead Time register and SIM Reset Status registers respectively. The addresses for the WRITEVARx commands are checked for validity, and the data field is also limited to a valid range for each variable. See Table 6 for a list of valid data values and valid write addresses.

User interface variables and their associated PC master software addresses within the MC3PHAC are listed in Table 6.

**Table 6. User Interface Variables for Use with PC Master Software**

Name	Address	Read/ Write	Size (Bytes)	Description	Valid Data
Commanded direction	\$1000	W	1	Determines whether the motor should go forward, reverse, or stop	Forward — \$10 Reverse — \$11 Stop — \$20
Command reset	\$1000	W	1	Forces the MC3PHAC to perform an immediate reset	\$30
Commanded PWM frequency <sup>(1)</sup>	\$1000	W	1	Specifies the frequency of the MC3PHAC PWM frequency	5.3 kHz — \$41 10.6 kHz — \$42 15.9 kHz — \$44 21.1 kHz — \$48
Measured PWM period	\$00A8	R	2	The modulus value supplied to the PWM generator used by the MC3PHAC — value is multiplied by 250 ns to obtain PWM period	\$008D-\$05E8
Commanded PWM polarity <sup>(2), (3), (4)</sup>	\$1000	W	1	Specifies the polarity of the MC3PHAC PWM outputs. This is a write once parameter after reset. Example: \$50 = Bottom and top PWM outputs are positive polarity.	B + T + \$50 B + T - \$54 B - T + \$58 B - T - \$5C
Dead time <sup>(2), (3), (4)</sup>	\$0036	R/W	1	Specifies the dead time used by the PWM generator. Dead time = Value * 125 ns. This is a write-once parameter.	\$00-\$FF
Base frequency <sup>(3)</sup>	\$1000	W	1	Specifies the motor frequency at which full voltage is applied	60 Hz — \$00 50 Hz — \$01
Acceleration <sup>(3)</sup>	\$0060	R/W	2	Acceleration in Hz/sec (7.9 format) <sup>(3)</sup>	\$0000-\$7FFF
Commanded motor frequency <sup>(3)</sup>	\$0082	R/W	2	Commanded frequency in Hz. (9.8 format) <sup>(3)</sup>	\$0000-\$7FFF
Actual frequency	\$0085	R	2	Actual frequency in Hz. (9.8 format) <sup>(3)</sup>	\$0000-\$7FFF
Status <sup>(7)</sup>	\$00C8	R	1	Status byte	\$00-\$FF
Voltage boost	\$008C	R/W	1	0 Hz voltage. %Voltage boost = Value/\$FF	\$00-\$FF
Modulation Index	\$0091	R	1	Voltage level (motor waveform amplitude percent assuming no bus ripple compensation) Modulation Index = value/\$FF	\$00-\$FF

## Operation

**Table 6. User Interface Variables for Use with PC Master Software (Continued)**

Name	Address	Read/ Write	Size (Bytes)	Description	Valid Data
Maximum voltage	\$0075	R/W	1	Maximum allowable modulation index value %Maximum voltage = value/\$FF	\$00-\$FF
V <sub>BUS</sub> voltage <sup>(5)</sup> (10)	\$0079	R	2	DC bus voltage reading	\$000-\$3FF
Fault timeout	\$006A	R/W	2	Specifies the delay time after a fault condition before re-enabling the motor. Fault timeout = value * 0.262 sec	\$0000-\$FFFF
Fault timer	\$006D	R	2	Real-time display of the fault timer Elapsed fault time = value * 0.262 sec	\$0000-\$FFFF
V <sub>BUS</sub> decel value <sup>(10)</sup>	\$00C9	R/W	2	V <sub>BUS</sub> readings above this value result in reduced deceleration.	\$0000-\$03FF
V <sub>BUS</sub> RBRAKE value <sup>(10)</sup>	\$0064	R/W	2	V <sub>BUS</sub> readings above this value result in the RBRAKE pin being asserted.	\$0000-\$03FF
V <sub>BUS</sub> brownout value <sup>(10)</sup>	\$0066	R/W	2	V <sub>BUS</sub> readings below this value result in an under voltage fault.	\$0000-\$03FF
V <sub>BUS</sub> over voltage value <sup>(10)</sup>	\$0068	R/W	2	V <sub>BUS</sub> readings above this value result in an over voltage fault.	\$0000-\$03FF
Speed in ADC value <sup>(6)</sup>	\$0095	R	2	Left justified 10-bit ADC reading of the SPEED input pin.	\$0000-\$FFC0
Setup <sup>(7)</sup>	\$00AE	R	1	Bit field indicating which setup parameters have been initialized before motion is permitted	\$E0-\$FF
Switch in <sup>(7)</sup>	\$0001	R	1	Bit field indicating the current state of the start/stop and forward/reverse switches	\$00-\$FF
Reset status <sup>(8), (9)</sup>	\$FE01	R	1	Indicates cause of the last reset	\$00-\$FF
Version	\$EE00	R	4	MC3PHAC version	ASCII field

1. The commanded PWM frequency cannot be written until the PWM outputs exit the high-impedance state. The default PWM frequency is 15.873 kHz.
2. The PWM output pins remain in a high-impedance state until this parameter is specified.
3. This parameter must be specified before motor motion can be initiated by the MC3PHAC.
4. This is a write-once parameter. The first write to this address will execute normally. Further attempts at writing this parameter will result in an illegal operation response from the MC3PHAC.
5. The value of this parameter is not valid until the PWM outputs exit the high-impedance state.
6. The data in this field is only valid for one read. Further reads will return a value of \$00.
7. See register bit descriptions following this table.
8. Acceleration is an unsigned value with the upper seven bits range of \$00 to \$7F = acceleration value of 0 to 127 Hertz/second. The lower nine bits constitute the fractional portion of the acceleration parameter. Its range is \$000 to \$1FF which equals 0 to -1. Therefore, the range of acceleration is 0 to 127.99 Hertz/second.
9. Commanded motor frequency and actual frequency are signed values with the upper byte range of \$00 to \$7F = frequency of 0 to 127 Hz. The lower byte is the fractional portion of the frequency. Its range is \$00 to \$FF which equals 0 to -1.
10. V<sub>BUS</sub> is the voltage value applied to the DC\_BUS analog input pin. The analog-to-digital converter is a 10-bit converter with a 5 volt full scale input. The value is equal to the voltage applied to the DC\_BUS input pin/V<sub>REF</sub> \* \$03FF.

### Operation

Each bit variable listed in Table 6 is defined in Figure 14, Figure 15, Figure 16, and Figure 17.

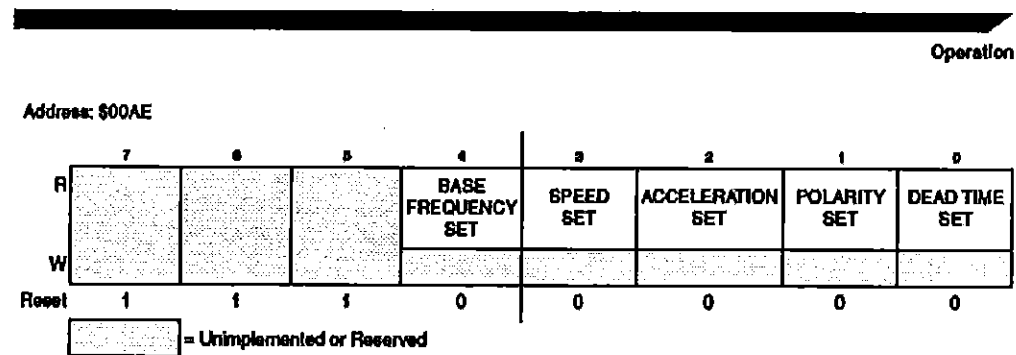
Address: \$00C8

R	7	6	5	4	3	2	1	0
W	SPEED CHANGING	FORWARD MOTION	MOTOR ENERGIZED	RESISTIVE BRAKE	EXTERNAL FAULT TRIP	OVER VOLTAGE TRIP	UNDER VOLTAGE TRIP	
Reset	U	0	1	0	0	U	0	0
	■ = Unimplemented or Reserved				■ = Unaffected			

Figure 14. Status Register

Table 7. Status Register Field Descriptions

Field	Description
6 SPEED CHANGING	<b>SPEED CHANGING Bit</b> — This read-only bit indicates if the motor is at a steady speed or if it is accelerating or decelerating. 0 Motor is at a steady speed. 1 Motor is accelerating or decelerating.
5 FORWARD MOTION	<b>FORWARD MOTION Bit</b> — This read-only bit indicates the direction of the motor. It also indicates if the motor is stopped. 0 Motor is rotating in the reverse direction. 1 Motor is rotating in the forward direction. If this bit is a logic 1 and the actual frequency (location \$0085 and \$0086) is 0, the motor is stopped.
4 MOTOR ENERGIZED	<b>MOTOR ENERGIZED Bit</b> — This read-only bit indicates PWM output activity 0 The PWM outputs are inactive or the bottom PWM outputs are in the pre-charge cycle. 1 All PWM outputs are active.
3 RESISTIVE BRAKE	<b>RESISTIVE BRAKE Bit</b> — This read-only bit indicates the state of the RBRAKE output pin 0 The RBRAKE output pin is inactive and no braking is in progress. 1 The RBRAKE output pin is active. Braking is in progress.
2 EXTERNAL FAULT TRIP	<b>EXTERNAL FAULT TRIP Bit</b> — This read-only bit indicates a FAULT has occurred resulting from a logic 1 applied to the FAULTIN pin. 0 A logic 0 is applied to the FAULTIN pin and no FAULT timeout is in progress. 1 A logic 1 was applied to the FAULTIN pin and a FAULT timeout is still in progress.
1 OVER VOLTAGE TRIP	<b>OVER-VOLTAGE TRIP Bit</b> — This read-only bit indicates if the voltage at the DC_BUS pin exceeds the preset value of $V_{BUS}$ over voltage located at address \$0068 and \$0069. 0 The voltage applied to the DC_BUS pin is less than the preset value of $V_{BUS}$ over voltage and a FAULT timeout is not in progress. 1 The voltage applied to the DC_BUS pin has exceeded the preset value of $V_{BUS}$ over voltage and a FAULT timeout is still in progress.
0 UNDER VOLTAGE TRIP	<b>UNDER-VOLTAGE Bit</b> — This read-only bit indicates if the voltage at the DC_BUS pin is less than the present value of $V_{BUS}$ brownout located at address \$0066 and \$0067. 0 The voltage applied to the DC-BUS pin is greater than the present value of $V_{BUS}$ under voltage and a FAULT timeout is not in progress. 1 The voltage applied to the DC_BUS pin is less than the present value of $V_{BUS}$ under voltage and a FAULT timeout is still in progress.

**Figure 16. Setup Register****Table 8. Setup Register Field Descriptions**

Field	Description
4 BASE FREQUENCY SET	BASE FREQUENCY SET BIT — This read-only bit indicates if the base frequency parameter has been set. 0 Base frequency parameter has not been set. 1 Base frequency parameter has been set.
3 SPEED SET	SPEED SET BIT — This read-only bit indicates if the speed parameter has been set. 0 Speed parameter has not been set. 1 Speed parameter has been set.
2 ACCELERA- TION SET	ACCELERATION SET BIT — This read-only bit indicates if the acceleration rate parameter has been set. 0 Acceleration rate parameter has not been set. 1 Acceleration rate parameter has been set.
1 POLARITY SET	POLARITY SET Bit — This read-only bit indicates if the PWM polarity parameters has been set. 0 PWM polarity parameters has not been set. 1 PWM polarity parameters has been set.
0 DEAD TIME SET	DEAD TIME SET Bit — This read-only bit indicates if the dead time parameter has been set. 0 Dead time parameter has not been set. 1 Dead time parameter has been set.

**Operation****Address: \$0001**

R	7	6	5	4	3	2	1	0
W	START/STOP	FWD/REVERSE			FAULT OUT	RESISTOR BRAKE		
Reset	U	U	U	U	U	0	U	U
	U = Unimplemented or Reserved				U = Unaffected			

**Figure 16. Switch In Register****Table 9. Switch In Register Field Descriptions**

Field	Description
6 START/ STOP	<b>START/STOP Bit</b> — This read-only bit indicates the state of the START input pin. 0 The START input pin is at a logic 0. 1 The START input pin is at a logic 1.
5 FWD/ REVERSE	<b>FWD/REVERSE Bit</b> — This read-only bit indicates the state of the FWD input pin. 0 The FWD input pin is at a logic 0 1 The FWD input pin is at a logic 1
3 FAULT OUT	<b>FAULT OUT Bit</b> — This read-only bit indicates the state of the DT_FAULTOUT output pin. 0 The DT_FAULTOUT output pin is indicating a fault condition. 1 The DT_FAULTOUT output pin is indicating no fault condition.
2 RESISTOR BRAKE	<b>RESISTIVE BRAKE Bit</b> — This read-only bit indicates the state of resistive brake pin (RBRAKE). 0 The RBRAKE output pin is inactive and no braking is in progress. 1 The RBRAKE output pin is active. Braking is in progress.

									Operation
									Address: \$FE01
	R	7 POWER UP	6 RESET PIN	5 MC3PHAC FUNCTIONAL FAULT	4 MC3PHAC FUNCTIONAL FAULT	3 PCMASTER SOFTWARE RESET COMMAND	2	1	0
	W								
Reset		1	0	0	0	0	0	0	0
■ Unimplemented or Reserved									

Figure 17. Reset Status Register

Table 10. Reset Status Register Field Descriptions

Field	Description
7 POWER UP	<b>POWER UP Bit</b> — This read-only bit indicates the last system reset was caused by the power-up reset detection circuit. 0 Power-up reset was not the source of the reset or a read of the reset status register after the first read. 1 The last reset was caused by an initial power-up of the MC3PHAC.
6 RESET PIN	<b>RESET PIN Bit</b> — This read-only bit indicates the last system reset was caused from the RESET input pin. 0 The RESET pin was not the source of the reset or a read of the reset status register after the first read. 1 Last reset was caused by an external reset applied to the RESET input pin.
5–4 MC3PHAC FUNCTIONAL FAULT BITS	<b>MC3PHAC FUNCTIONAL FAULT Bits</b> — This read-only bit indicates if the last system reset was the result of an internal system error. 0 The FUNCTIONAL FAULT was not the source of the reset or a read of the reset status register after the first read. 1 MC3PHAC Internal system error
PC MASTER SOFTWARE RESET COMMAND	<b>PC MASTER SOFTWARE RESET COMMAND Bit</b> — This read-only bit indicates the last system reset was the result of a PC master software reset command. 0 The PC master software RESET COMMAND was not the source of the reset or a read of the reset status register after the first read. 1 The MC3PHAC was reset by the PC master software command reset as the result of a write of \$30 to location \$1000
1 LOW V <sub>DD</sub> VOLTAGE	<b>LOW V<sub>DD</sub> VOLTAGE Bit</b> — This read-only bit indicates if the last reset was the result of low V <sub>DD</sub> applied to the MC3PHAC. 0 The LOW V <sub>DD</sub> was not the source of the reset or a read of the reset status register after the first read. 1 The last reset was caused by the low power supply detection circuit.

## Operation

### **Command State Machine**

When using the PC master software mode of operation, the command state machine governs behavior of the device depending upon its current state, system parameters, any new commands received via the communications link, and the prevailing conditions of the system. The command state diagram is in Figure 18. It illustrates the sequence of commands which are necessary to bring the device from the reset condition to running the motor in a steady state and depicts the permissible state transitions. The device will remain within a given state unless the conditions shown for a transition are met.

Some commands only cause a temporary state change to occur. While they are being executed, the state machine will automatically return to the state which existed prior to the command being received. For example, the motor speed may be changed from within any state by using the WRITEVAR16 command to write to the "Speed In" variable. This will cause the "Set Speed" state to be momentarily entered, the "Speed In" variable will be updated and then the original state will be re-entered. This allows the motor speed, acceleration or base frequency to be modified whether the motor is already accelerating, decelerating, or in a steady state.

Each state is described here in more detail.

- **Reset** — This state is entered when a device power-on reset (POR), pin reset, loss of crystal, internally detected error, or reset command occurs from within any state. In this state, the device is initialized and the PWM outputs are configured to high impedance. This state is then automatically exited.
- **PWMHighZ** — This state is entered from the reset state. This state is also re-entered after one and only one of the PWM dead-time or polarity parameters have been initialized. In this state the PWM outputs are configured to a high-impedance state as the device waits for both the PWM dead time and polarity to be initialized.
- **SetDeadTime (write once)** — This state is entered from the PWMHighZ state the first time that a write to the PWM dead-time variable occurs. In this state, the PWM dead time is initialized and the state is then automatically exited. This state cannot be re-entered, and hence the dead time cannot be modified, unless the reset state is first re-entered.
- **SetPolarity (write once)** — This state is entered from the PWMHighZ state the first time that the PWM polarity command is received. In this state, the PWM polarity is initialized and the state is then automatically exited. This state cannot be re-entered, and hence the polarity cannot be modified, unless the reset state is first re-entered.
- **PWMOFF** — This state is entered from the PWMHighZ state if both the PWM dead time and polarity have been configured. In this state, the PWM is activated and all the PWM outputs are driven off for the chosen polarity. The device then waits for the PWM base frequency, motor speed, and acceleration to be initialized.
- **PWM0RPM** — This state is entered from the PWMOFF state when the PWM base frequency, motor speed, and acceleration have been initialized. This state can also be entered from the FwdDecel or RevDecel states if a CmdStop command has been received, and the actual motor speed has decelerated to 0 r.p.m. In this state, the PWM pins are driven to the off state for the chosen polarity. The only exit of this state is to the PWM\_Pump state, which occurs when a CmdFwd or CmdRev command is received.

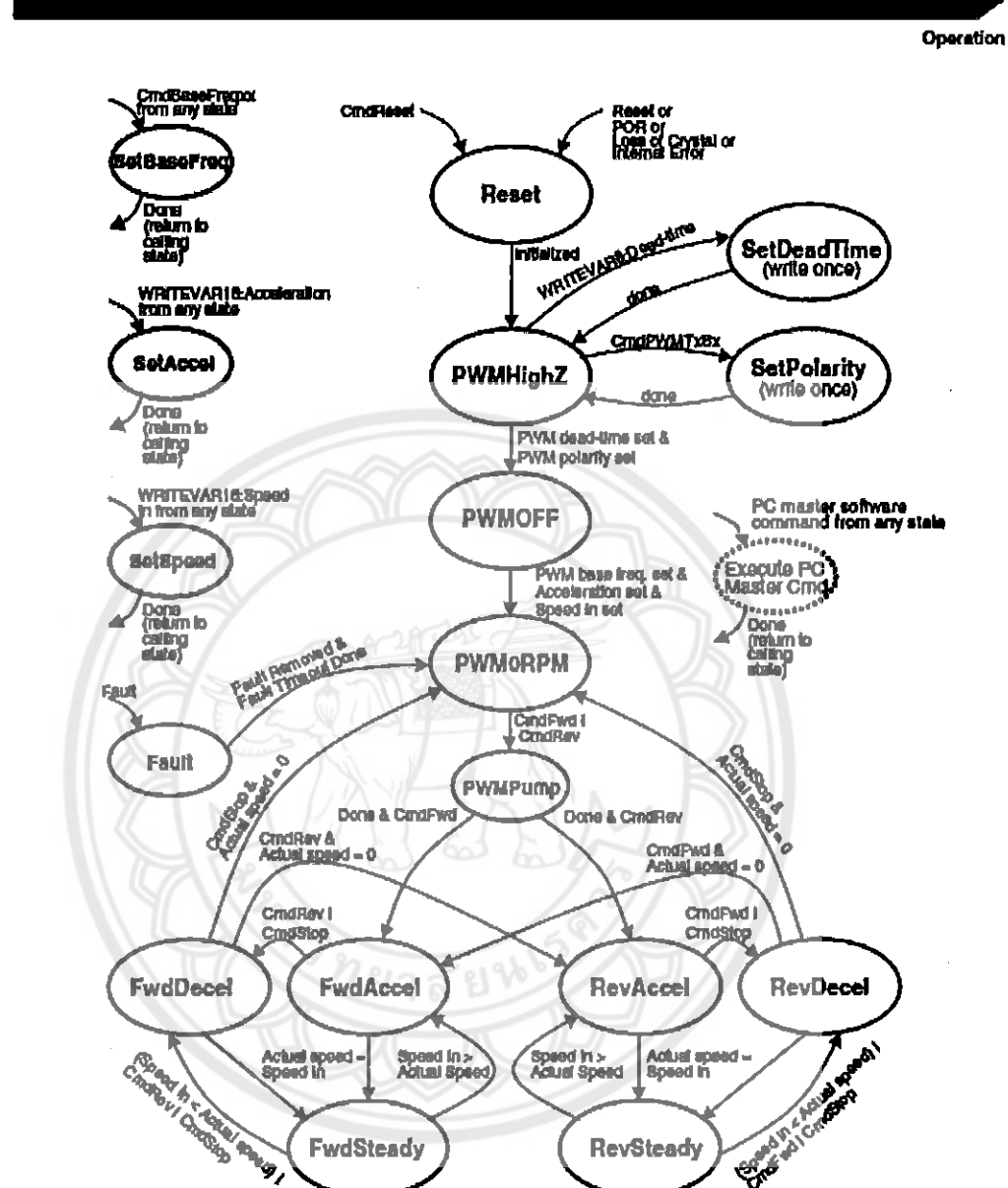


Figure 18. PC Host Software Command State Diagram

### **Operation**

- **PWMPump** — This state is entered from the PWM0RPM state when a CmdFwd or CmdRev command is received. In this state the top PWM outputs are driven off while the bottom PWM outputs are driven with a 50 percent duty cycle. This allows high side transistor gate drive circuits which require charge pumping from the lower transistors to be charged up prior to applying full PWMs to energize the motor. This state is automatically exited after the defined amount of time tPump (see Electrical Characteristics).
- **FwdAccel** — This state is entered from the PWMPump state after a CmdFwd command is received and the timeout interval from the PWMPump state is completed. This state can also be entered from the FwdSteady state if the Speed In variable is increased above the actual current speed and the RevDecel state if the actual motor speed equals 0 r.p.m. when a CmdFwd command has been received. In this state the motor is accelerated forward according to the chosen parameters.
- **FwdSteady** — This state is entered from the FwdAccel state after the actual motor speed has reached the requested speed defined by the Speed In variable. In this state, the motor is held at a constant forward speed.
- **FwdDecel** — This state is entered from the FwdAccel or FwdSteady states whenever a CmdStop or CmdRev command is received. This state can also be entered from the FwdSteady state if the Speed In variable is decreased below the actual current speed. In this state, the motor is decelerated forward according to the chosen parameters.
- **RevAccel** — This state is entered from the PWMPump state. After a CmdRev command is received and the timeout interval from the PWMPump state is completed. This state can also be entered from the RevSteady state if the Speed In variable is increased above the actual current speed and the FwdDecel state if the actual motor speed equals 0 r.p.m. when a CmdRev command has been received. In this state, the motor is accelerated in reverse according to the chosen parameters.
- **RevSteady** — This state is entered from the RevAccel state after the actual motor speed has reached the requested speed defined by the Speed In variable. In this state, the motor is held at a constant reverse speed.
- **RevDecel** — This state is entered from the RevAccel or RevSteady states whenever a CmdStop or CmdFwd command is received. This state can also be entered from the RevSteady state if the Speed In variable is decreased below the actual current speed. In this state, the motor is decelerated in reverse according to the chosen parameters.
- **SetBaseFreq** — This state is entered from any state whenever a CmdBaseFreqxx command is received. In this state, the motor frequency at which full voltage is applied is configured and the state is then automatically exited and the original state is re-entered.
- **SetAccel** — This state is entered from any state whenever a write to the Acceleration variable occurs. In this state, the motor acceleration is configured and the state is then automatically exited and the original state is re-entered.
- **SetSpeed** — This state is entered from any state whenever a write to the Speed In variable occurs. In this state, the requested motor speed is configured and the state is then automatically exited and the original state is re-entered.
- **Fault** — This state is entered from any state whenever a fault condition occurs (see Fault Protection on page 13). In this state, the PWM outputs are driven off (unless the fault state was entered from the PWMHighZ state, in which case, the PWM outputs remain in the High Z state). When the problem causing the fault condition is removed, a timer is started which will wait a specified amount of time (which is user programmable) before exiting this state. Under normal

### Optoisolated RS232 Interface Application Example

operating conditions, this timeout will cause the Fault state to be automatically exited to the PWM0RPM state, where motion will once again be initiated if a CmdFwd or CmdRev has been received. The exceptions to this rule are the cases when the Fault state was entered from the PWMHighZ or PWMOFF states, in which case, exiting from the Fault state will return back to these states.

### Optoisolated RS232 Interface Application Example

Some motor control systems have the control electronics operating at the same potential as the high voltage bus. Connecting a PC to that system could present safety issues, due to the high voltage potential between the motor control system and the PC. Figure 19 is an example of a simple circuit that can be used with the MC3PHAC to isolate the serial port of the PC from the motor control system.

The circuit in Figure 19 is the schematic of a half-duplex optoisolated RS232 Interface. This isolated terminal interface provides a margin of safety between the motor control system and a personal computer. The EIA RS232 specification states the signal levels can range from  $\pm 3$  to  $\pm 25$  volts. A Mark is defined by the EIA RS232 specification as a signal that ranges from  $-3$  to  $-25$  volts. A Space is defined as a signal that ranges from  $+3$  to  $+25$  volts. Therefore, to meet the RS232 specification, signals to and from a terminal must transition through 0 volts as it changes from a Mark to a Space. Breaking the circuit down into an Input and output section simplifies the explanation of the circuit.

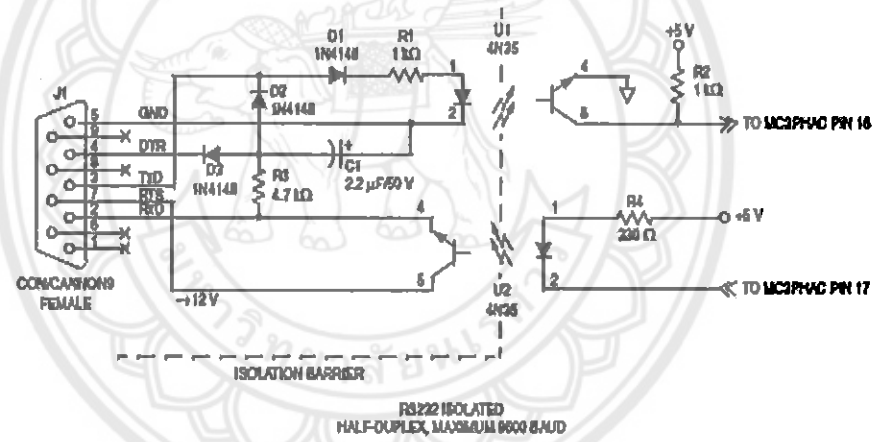


Figure 19. Optoisolated RS232 Circuit

To send data from a PC to the MC3PHAC, it is necessary to satisfy the serial input of the MC3PHAC. In the idle condition, the serial input of the MC3PHAC must be at a logic 1. To accomplish that, the transistor in U1 must be turned off. The idle state of the transmit data line (TxO) from the PC serial port is a Mark ( $-3$  to  $-25$  volts). Therefore, the diode in U1 is off and the transistor in U1 is off, yielding a logic 1 to the MC3PHAC's serial input. When the start bit is sent to the MC3PHAC from the PC's serial port, the PC's TxD transitions from a Mark to a Space ( $+3$  to  $+25$  volts), thus forward biasing the diode in U1. Forward biasing the diode turns on the transistor in U1, providing a logic 0 to the serial input of the MC3PHAC. Simply stated, the input half of the circuit provides input isolation, signal inversion, and level

**Optoisolated RS232 Interface Application Example**

shifting from the PC to the MC3PHAC's serial port. An RS-232 line receiver, such as an MC1489, serves the same purpose without the optoisolation function.

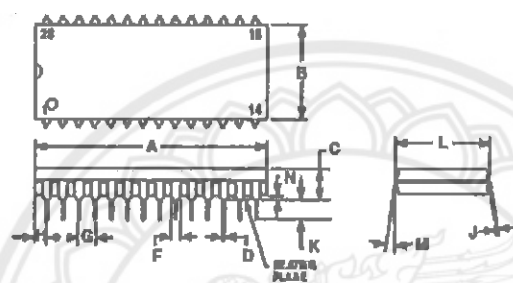
To send data from the MC3PHAC to the PC's serial port input, it is necessary to satisfy the PC's receive data (RxD) input requirements. In an idle condition, the RxD input to the PC must be at Mark (-3 to -25 volts). The data terminal ready output (DTR) on the PC outputs a Mark when the port is initialized. The request to send (RTS) output is set to a Space (+3 to +25 volts) when the PC's serial port is initialized. Because the interface is half-duplex, the PC's TxD output is also at a Mark, as it is idle. The idle state of the MC3PHAC's serial port output is a logic 1. The logic 1 out of the MC3PHAC's serial port output port forces the diode in U2 to be turned off. With the diode in U2 turned off, the transistor in U2 is also turned off. The junction of D2 and D3 are at a Mark (-3 to -25 volts). With the transistor in U2 turned off, the input is pulled to a Mark through current limiting resistor R3, satisfying the PC's serial input in an idle condition. When a start bit is sent from the MC3PHAC's serial port, it transitions to a logic 0. That logic 0 turns on the diode in U2, thus turning on the transistor in U2. The conducting transistor in U2 passes the voltage output from the PC's RTS output, that is now at a Space (+3 to +25 volts), to the PC's receive data (RxD) input. Capacitor C1 is a bypass capacitor used to stiffen the Mark signal. The output half of the circuit provides output isolation, signal inversion, and level shifting from the MC3PHAC's serial output port to the PC's serial port. An RS-232 line driver, such as a MC1488, serves the same purpose without the optoisolation function.



**Mechanical Data****Mechanical Data**

This subsection provides case outline drawings for:

- Plastic 28-pin DIP, Figure 20
- Plastic 28-pin SOIC, Figure 21
- Plastic 32-pin QFP, Figure 22

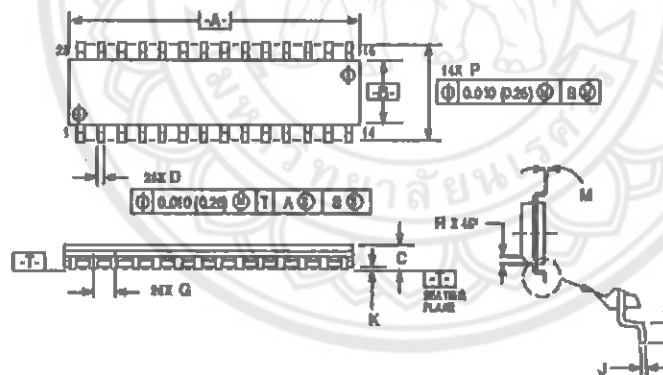


**NOTES**

1. FOR HEIGHT TOLERANCE OF LEADS (S),  
SMALLER NUMBER DENOTES PLUS AT  
MAXIMUM MATERIAL CONDITION, IN  
RELATION TO HEATING PLATE AND  
EACH OTHER.
2. DIMENSION C IS TO CENTER OF LEAD  
WHICH IS POURED PARALLEL.
3. DIMENSION S DOES NOT INCLUDE  
MOLD FLASH.

OR	INCHES	MM	INCHES	MM
A	.0640	1.627	.1450	3.683
B	.1572	4.000	.0450	1.143
C	.355	8.98	.0160	0.25
D	.030	0.76	.0070	0.175
E	.162	4.11	.0050	0.125
F	.120	3.05	.0100	0.25
G	.162	4.11	.0050	0.125
H	.020	0.51	.0050	0.125
I	.200	5.08	.0050	0.125
K	.162	4.11	.0050	0.125
L	.1572	4.000	.0050	0.125
M	.030	0.76	.0050	0.125
N	.030	0.76	.0050	0.125
O	.030	0.76	.0050	0.125
P	.030	0.76	.0050	0.125

Figure 20. Plastic 28-Pin DIP (Case 710)



**NOTES**

1. DIMENSION H AND TOLERANCES FOR  
ARE TYPICAL, NOT ESSENTIAL.
2. CONTROLLED BY PLATE-MACHINE MIMICRITER.
3. PINHOLE ON LEAD G DO NOT INCIDE MOLD  
PROTRUSION.
4. MAX SWELL IN OLD PROTOTYPING DATA  
IS .005 PER SIDE.
5. DIMENSION O DOES NOT INCLUDE  
SWELL IN OLD PROTOTYPING OR ALLOWING  
SWELL IN NEW FLUXLESS SOLDER & IS  
NOT TOTAL ENCLAVE OF CPO  
COPROCESS AT MAXIMUM MOLDURE  
CONDITION.

OR	INCHES	MM	INCHES	MM
A	.1725	4.38	.075	1.91
B	.745	19.4	.150	3.81
C	.200	5.08	.060	1.52
D	.020	0.51	.0050	0.125
E	.020	0.51	.0050	0.125
F	.020	0.51	.0050	0.125
G	.1725	4.38	.075	1.91
H	.020	0.51	.0050	0.125
I	.1725	4.38	.075	1.91
K	.1725	4.38	.075	1.91
L	.1725	4.38	.075	1.91
M	.020	0.51	.0050	0.125
N	.020	0.51	.0050	0.125
O	.020	0.51	.0050	0.125
P	.020	0.51	.0050	0.125

Figure 21. Plastic 28-Pin SOIC (Case 751F)

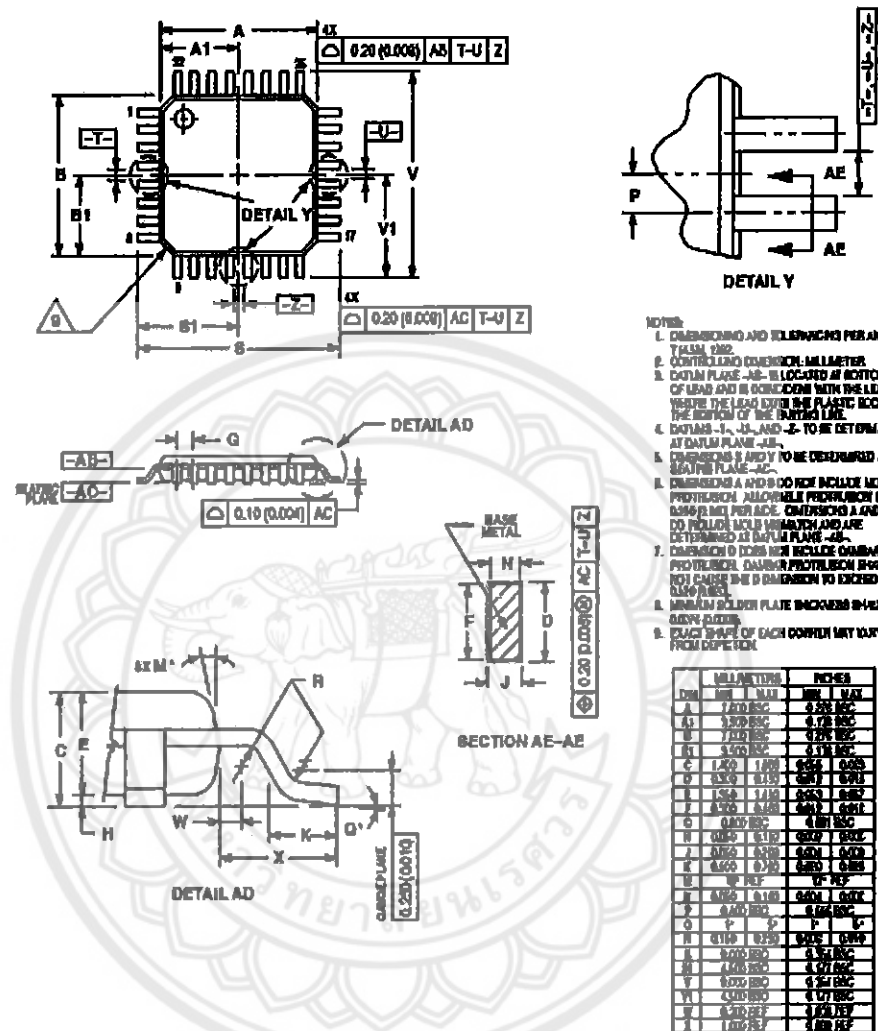
**Mechanical Data**

Figure 22. Plastic 32-Pin QFP (Case 873A)

### **How to Reach Us:**

**USA/Europe/Locations not listed:**  
**Freescale Semiconductor Literature Distribution**  
**P.O. Box 5406, Denver, Colorado 80217**  
**1-800-621-6274 or 400-789-2130**

**Japan:**  
**Freescale Semiconductor Japan Ltd.**  
**8F, Technical Information Center**  
**2-20-1, Minami-Azabu**  
**Minato-ku**  
**Tokyo 106-0073, Japan**  
**03-3440-3569**

**Asia/Pacific:**  
**Freescale Semiconductor H.K. Ltd.**  
**2 Dai King Street**  
**TM Po Industrial Estate**  
**TM Po, N.T. Hong Kong**  
**932-26660324**

**Learn More:**  
**For more information about Freescale**  
**Semiconductor products, please visit**  
[\*\*http://www.freescale.com\*\*](http://www.freescale.com)

**MCMP-HAC**  
**Rev. 2, 7/2005**

RoHS-compliant and/or Pb-free versions of Freescale products have the functionality and electrical characteristics of their non-RoHS-compliant and/or non-Pb-free counterparts. For further information, see <http://www.freescale.com> or contact your Freescale sales representative.

For information on Freescale's Environmental Products program, go to <http://www.freescale.com/epc>.

Information in this document is provided solely to enable system and software implementers to use Freescale Semiconductor products. There are no express or implied copyright licenses granted hereinunder to design or fabricate any integrated circuits or integrated circuits based on the information in this document.

Freescale Semiconductor reserves the right to make changes without further notice to any products herein. Freescale Semiconductor makes no warranty, representation or guarantee regarding the suitability of its products for any particular purpose, nor does Freescale Semiconductor assume any liability arising out of the application or use of any product or circuit, and specifically disclaims any and all liability, including without limitation consequential or incidental damages. "Typical" parameters which may be provided in Freescale Semiconductor data sheets and/or specifications can and do vary in different applications, and actual performance may vary over time. All operating parameters, including "Typicals" must be validated for each customer application by customer's technical experts. Freescale Semiconductor does not convey any license under its patent rights nor the rights of others. Freescale Semiconductor products are not designed, intended, or authorized for use as components in systems intended for surgical implant into the body, or other applications intended to support or sustain life, or for any other application in which the failure of the Freescale Semiconductor product could create a situation where personal injury or death may occur. Should Buyer purchase or use Freescale Semiconductor products for any such unintended or unauthorized application, Buyer shall indemnify and hold Freescale Semiconductor and its officers, employees, subsidiaries, affiliates, and distributors harmless against all claims, costs, damages, and expenses, and reasonable attorney fees arising out of, directly or indirectly, any claim of personal injury or death associated with such unintended or unauthorized use, even if such claim alleges that Freescale Semiconductor was negligent regarding the design or manufacture of the part.

Freescale™ and the Freescale logo are trademarks of Freescale Semiconductor, Inc. All other product or service names are the property of their respective owners.  
 © Freescale Semiconductor, Inc. 2004.

